

# Définition



# Importance

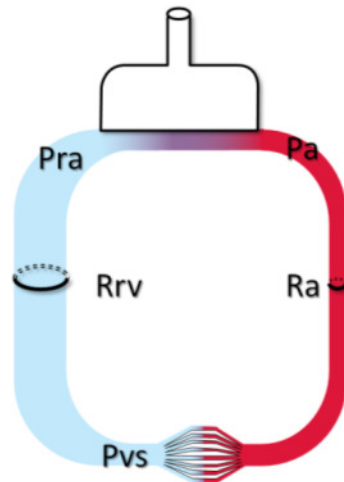
The NEW ENGLAND  
JOURNAL of MEDICINE

ESTABLISHED IN 1812      MAY 29, 2008      VOL. 358 NO. 22

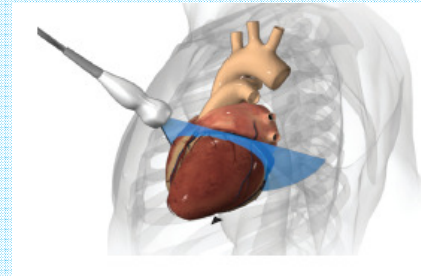
## A Comparison of Aprotinin and Lysine Analogues in High-Risk Cardiac Surgery

Dean A. Fergusson, M.H.A., Ph.D., Paul C. Hébert, M.D., M.H.Sc., C. David Mazer, M.D., Stephen Frenes, M.D., Charles MacAdams, M.D., John M. Murkin, M.D., Kevin Teoh, M.D., M.Sc., Peter C. Duke, M.D., Ramiro Avellano, M.D., M.Sc., Morris A. Blajchman, M.D., Joan S. Bussières, M.D., Dany Côté, M.D., Jacek Karcki, M.D., Raymond Martineau, M.D., James A. Robblee, M.D., M.B.A., Marc Rodger, M.D., M.Sc., George Wells, Ph.D., Jennifer Clinch, M.A., and Roanda Pretorius, M.Sc., for the BART Investigators†

# Mécanisme



# Approche



# Évaluation de la fonction cardiaque et instabilité hémodynamique: Partie III

André Denault MD PhD

Université   
de Montréal

Montréal, le 20 octobre 2010

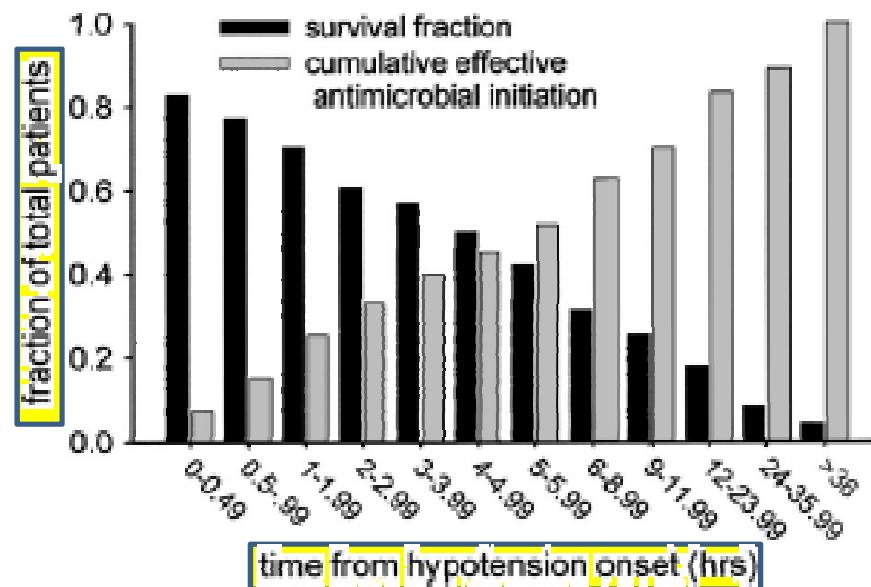


INSTITUT DE  
CARDIOLOGIE  
DE MONTRÉAL



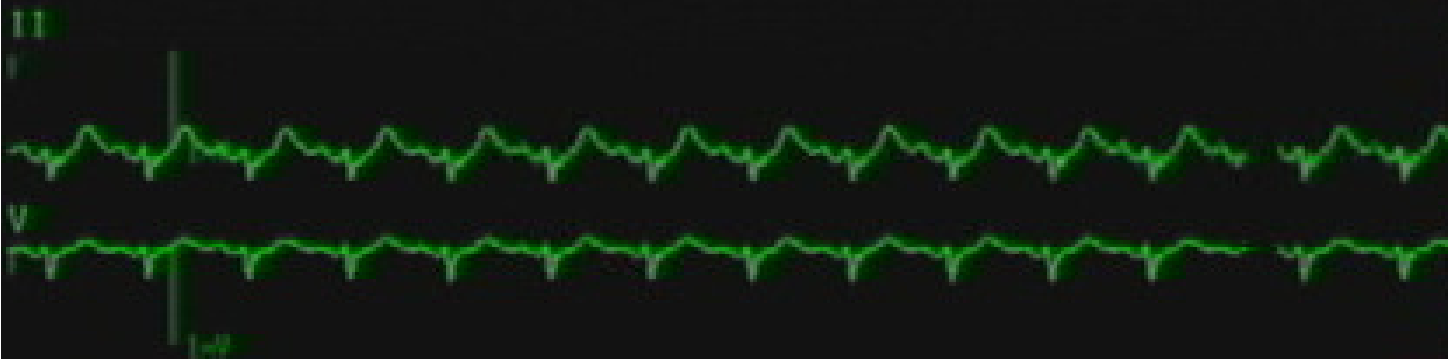
# Duration of hypotension before initiation of effective antimicrobial therapy is the critical determinant of survival in human septic shock\*

Anand Kumar, MD; Daniel Roberts, MD; Kenneth E. Wood, DO; Bruce Light, MD; Joseph E. Parrillo, MD; Satendra Sharma, MD; Robert Suppes, BSc; Daniel Feinstein, MD; Sergio Zanotti, MD; Leo Taiberg, MD; David Gurka, MD; Aseem Kumar, PhD; Mary Cheang, MSc



(Crit Care Med 2006; 34:1589–1596)

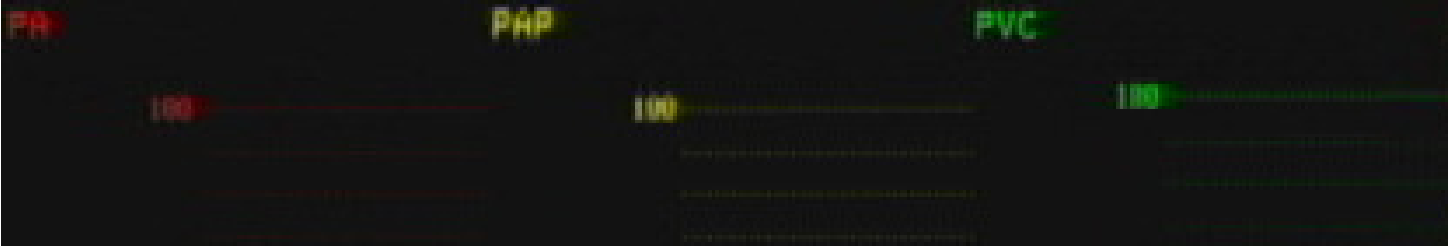
ALARMES DE



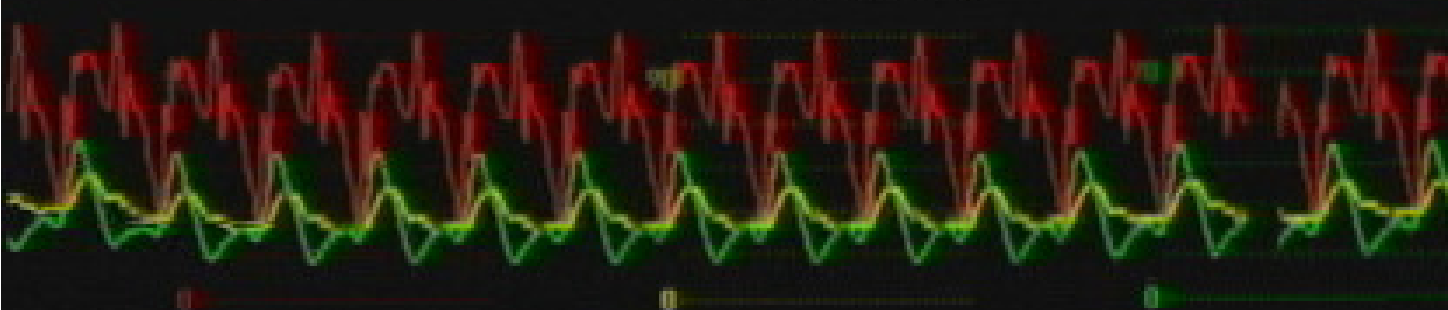
FC: ~~AL~~ 107

ST-II ~~AL~~ -0.2

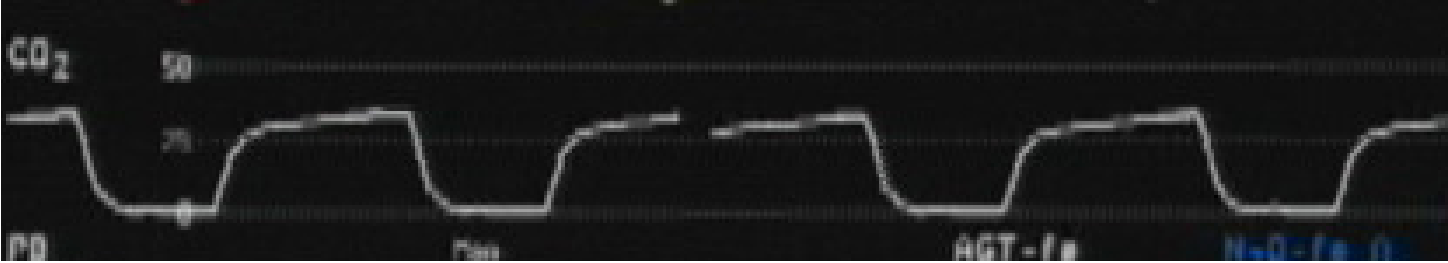
ST-V ~~AL~~ 0.1



PAP: ~~AL~~ 104/37

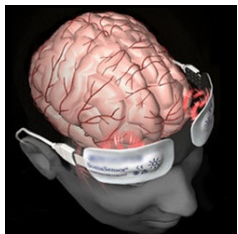


PVC: ~~AL~~ 57/16 (31)

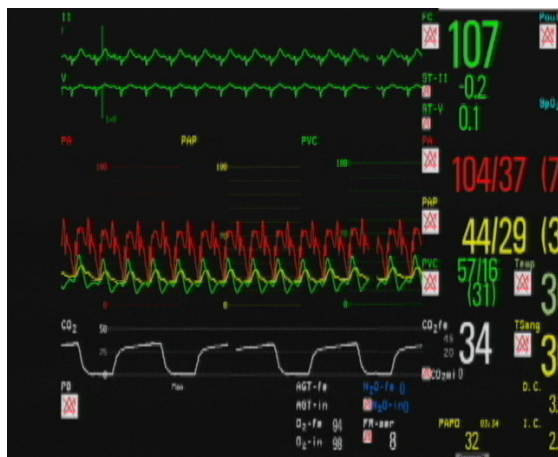


CO2fe 46 20 34  
CO2pmi 0  
TSant ~~AL~~

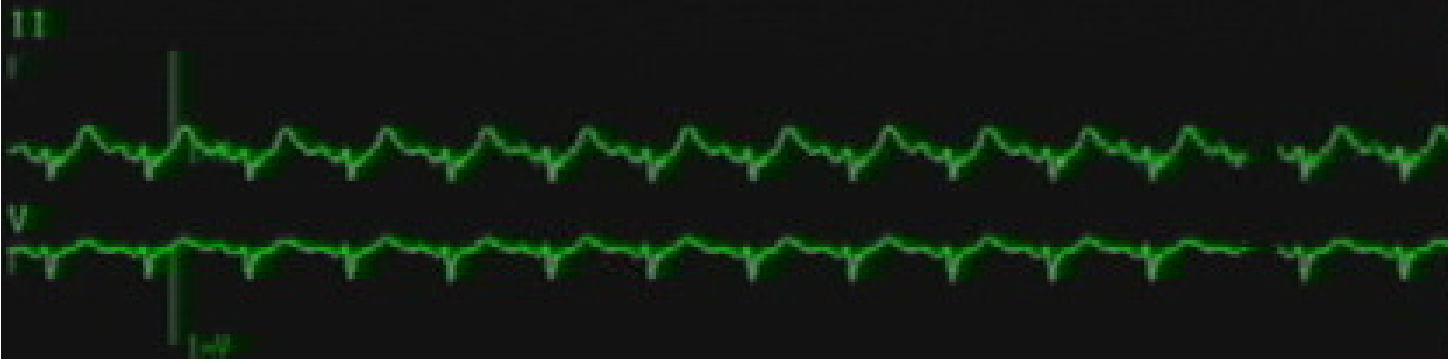




At the same time



ALARMES DE



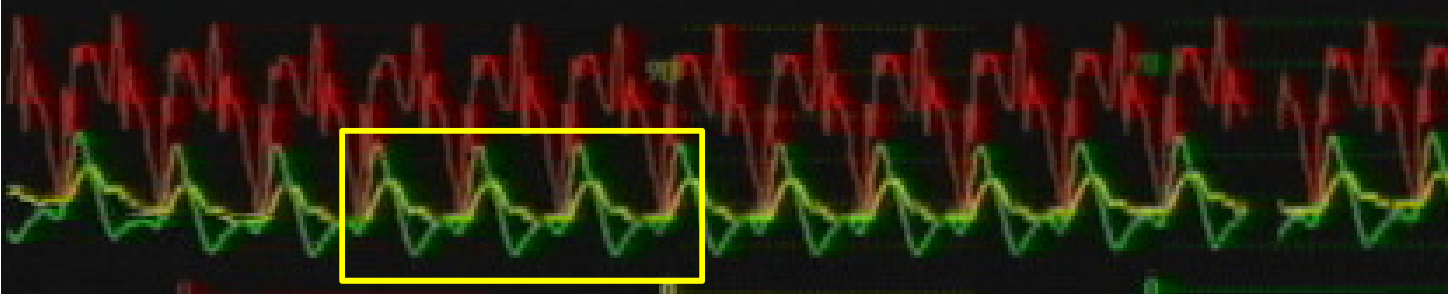
FC: 107

ST-II: -0.2

ST-V: 0.1



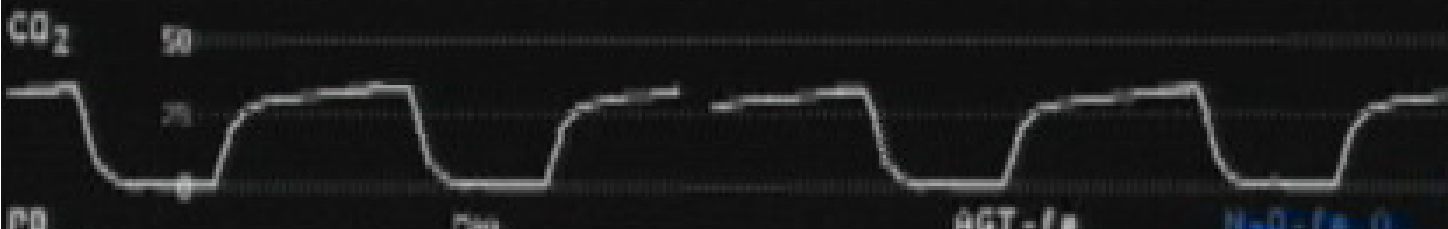
PA: 104/37



PAP: 44/29

PVC: 57/16 (31)

Temp: [alarm icon]



CO<sub>2</sub>f<sub>e</sub>: 34

TSant: [alarm icon]

CO<sub>2</sub>pmi: 0

AGT-f<sub>a</sub> N<sub>2</sub>O-f<sub>a</sub> 0



# Our role



Oxygen transport



Oxygen demand

Relation depends on



Oxygen arterial content

X



Cardiac output

# Our role

Oxygen transport

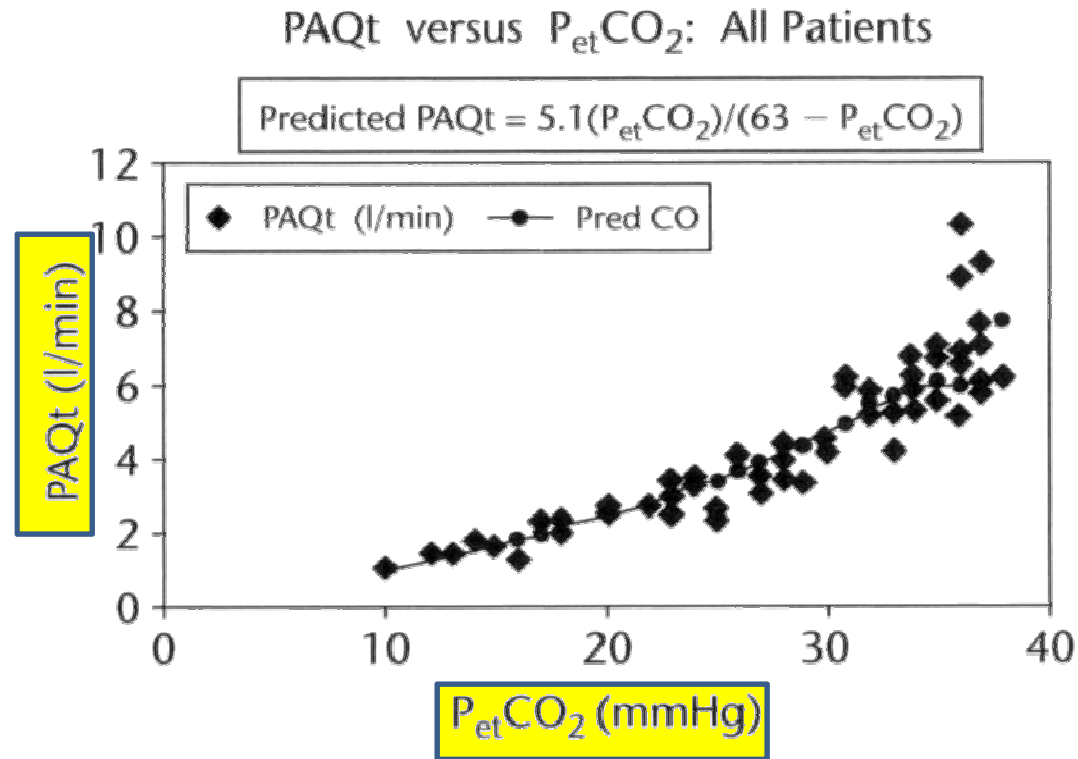
Oxygen demand

Relation depends on

Oxygen arterial content



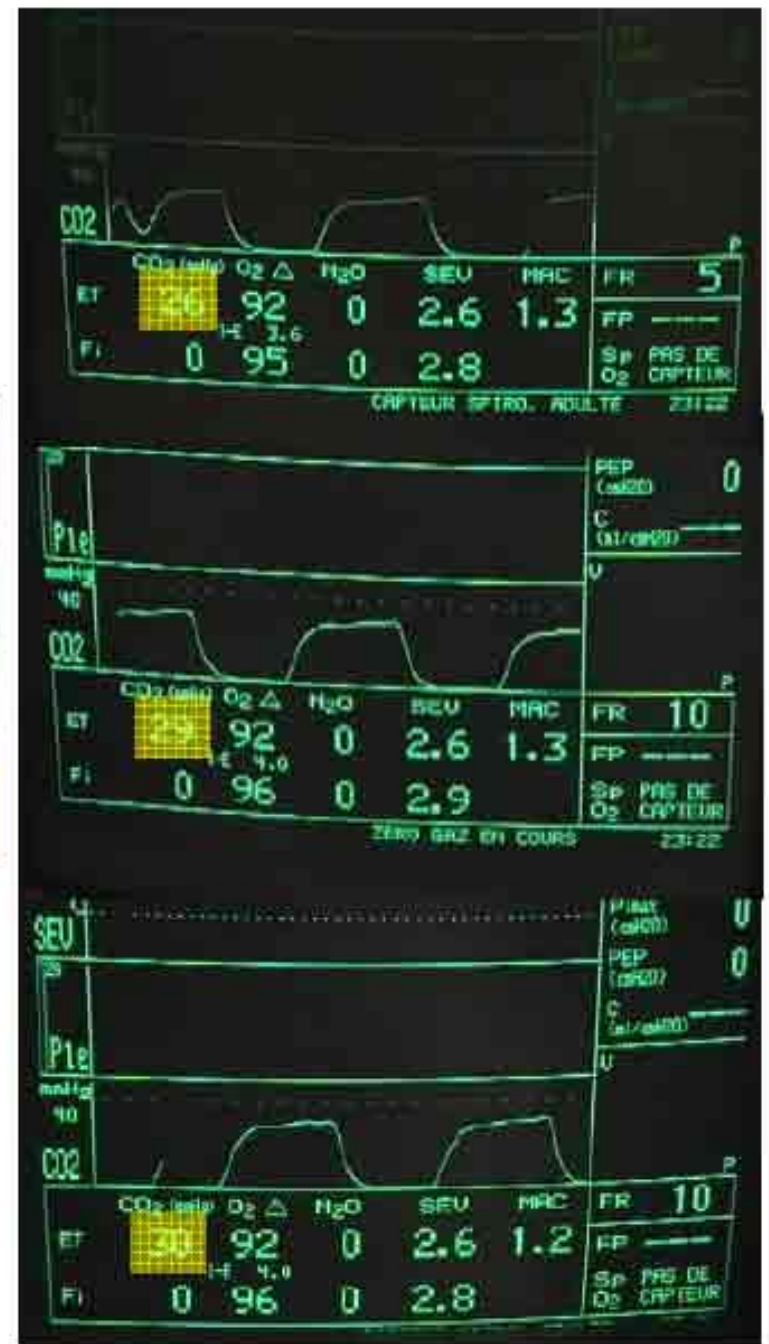
# Cardiac output monitor: capnography

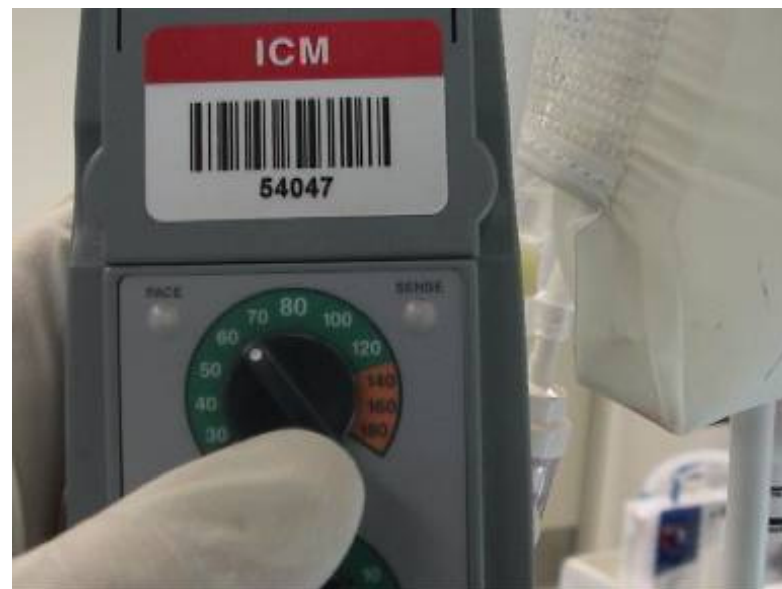
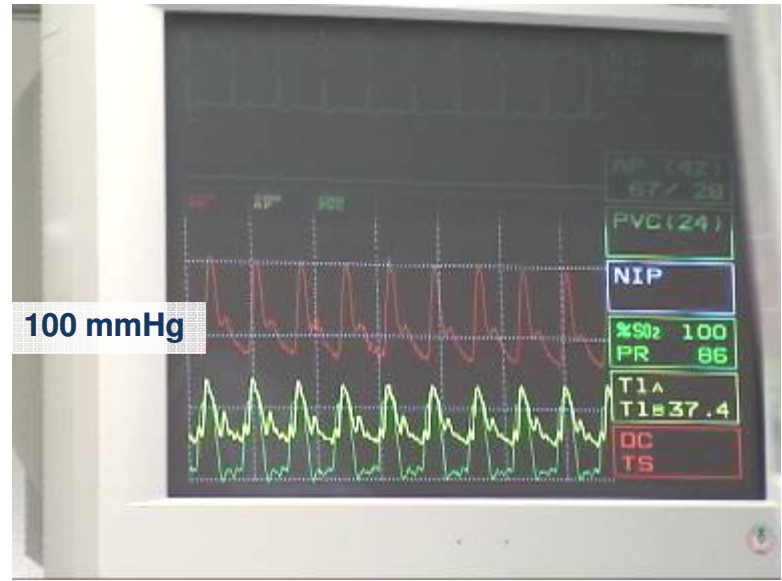


# Heart rate optimisation









Noradrenalin 4µg/min

Noradrenaline 0.5 µg/min



# Hemodynamic instability

Short history and physical exam

Simultaneous rapid diagnosis and treatment

# Hemodynamic instability

Short history and physical exam

Simultaneous rapid diagnosis and treatment

Signs of shock

A: airway + antibiotics if sepsis suspected  
B: ventilation + volume (15ml/kg)  
C: vasoactive drugs (noradrenaline)

# Hemodynamic instability

Short history and physical exam

Simultaneous rapid diagnosis and treatment

True hypotension

BP measurement in  
all four extremities

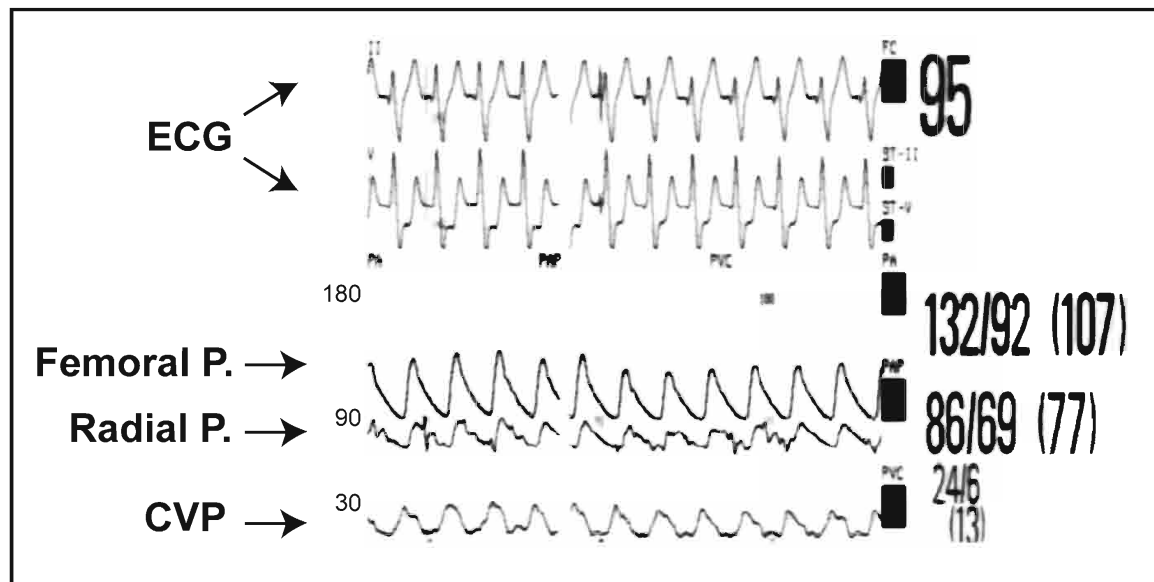
Signs of shock

A: airway + antibiotics if sepsis suspected  
B: ventilation + volume (15ml/kg)  
C: vasoactive drugs (noradrenaline)

PERIOPERATIVE CARDIOVASCULAR ROUNDS

## Abnormal aortic-to-radial arterial pressure gradients resulting in misdiagnosis of hemodynamic instability

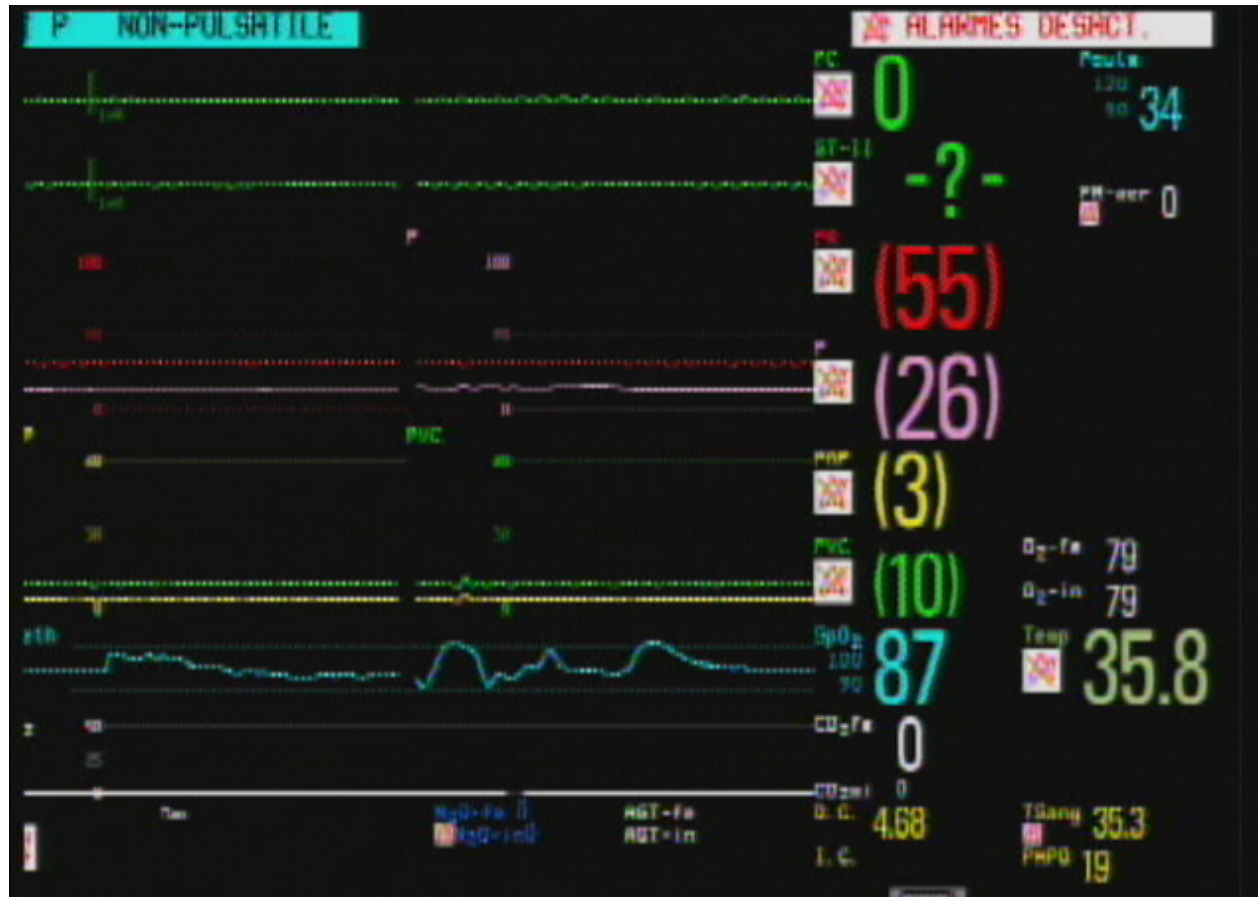
André Denault, MD · Alain Deschamps, MD, PhD



# Quand suspecter une pseudo-hypotension?

- Discordance entre la pression artérielle et l'état clinique
- Patient de petite taille ou petite radiale
- Dosage élevé d'amines

# Per-CEC ♂ de 64 ans





Per-CEC



# Gradient fémoral-radial en chirurgie cardiaque

31 mai 2007

Antonio Juan Su

Résident en anesthésiologie,  
Université de Montréal

Directeur de recherche      Dr André Denault

Co-chercheurs                Dr Giuseppe Fuda

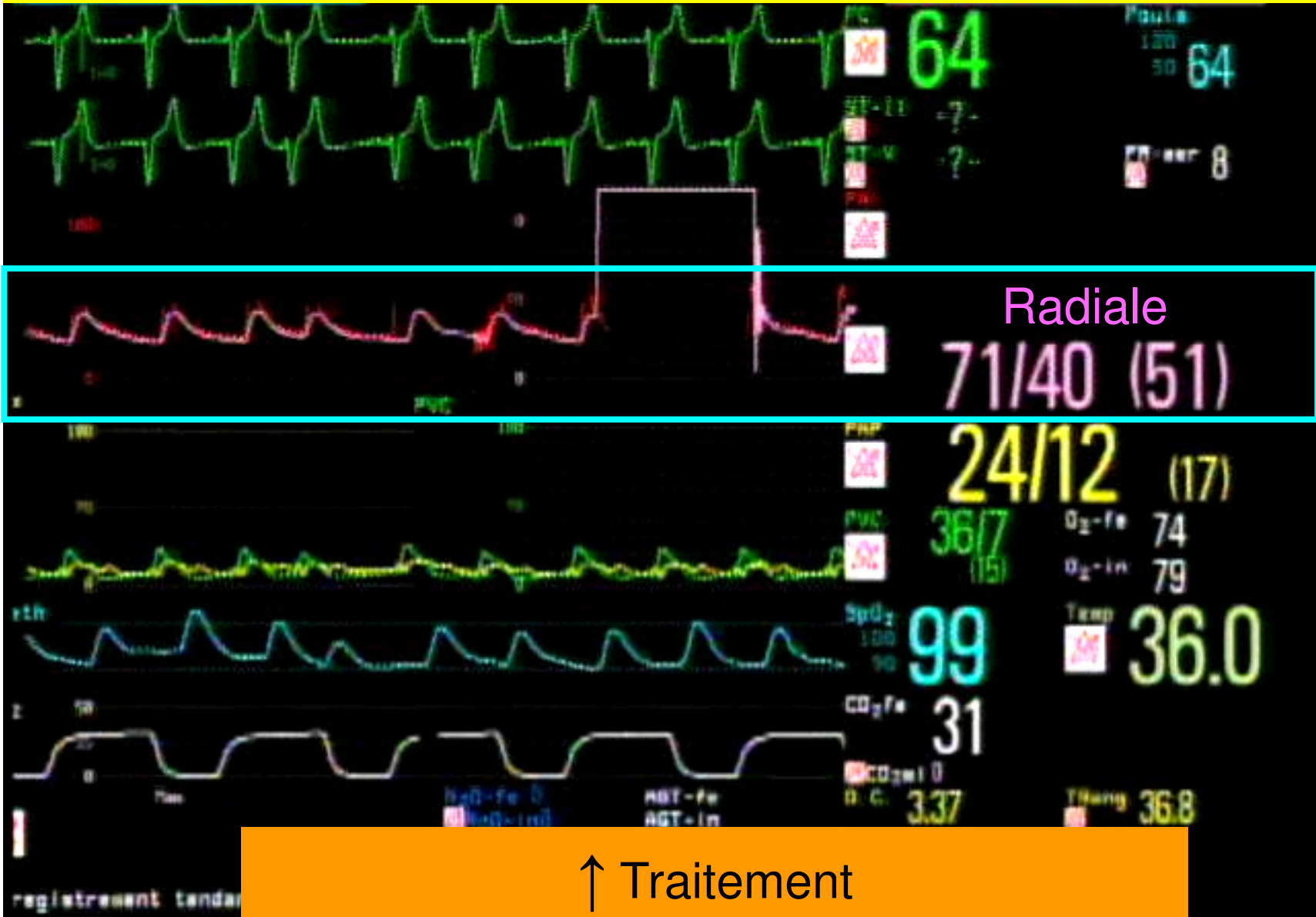
Collaborateurs                Dr Alain Deschamps  
  Dr Pierre Bouchard  
  Dr Jean Lambert



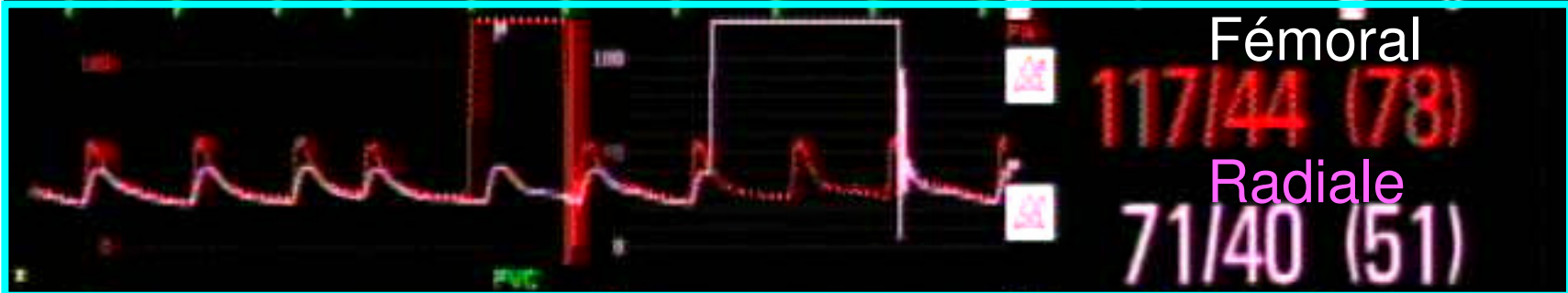
Université   
de Montréal



# Post-CEC

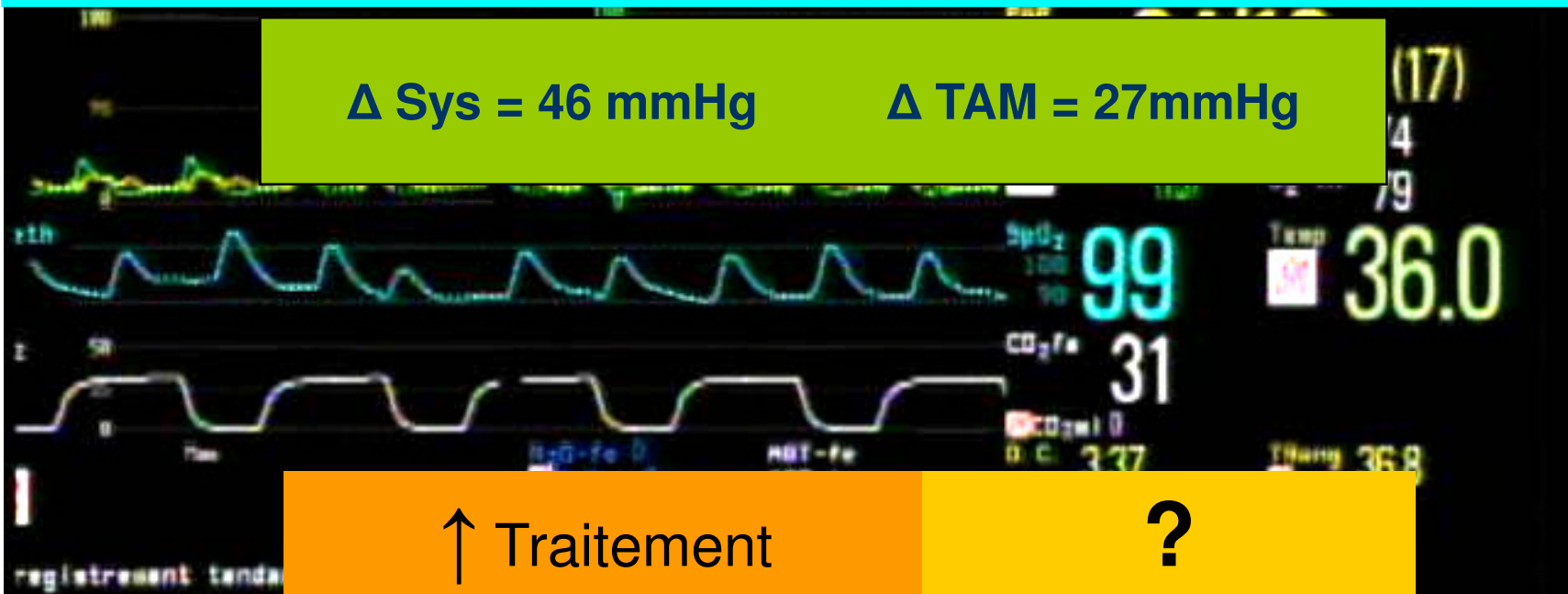


# Post-CEC



$\Delta$  Sys = 46 mmHg

$\Delta$  TAM = 27mmHg



↑ Traitement

?

# Conséquences potentielles

- Besoin supplémentaire d'amines
  - Morbidité/mortalité
  - Sortie de CEC difficile
- Mesure de contrôle avec pression aortique et installation de canule fémorale post CEC
  - Conditions sous optimales

# Objectif principal

- Évaluer les facteurs de risque influençant l'apparition d'un gradient artériel fémoral radial en chirurgie cardiaque

- N = 129
- 81♂ vs 48♀
  
- Pontages coronariens simples (n=26, 20%)
- Chirurgies valvulaires seules (n=33, 26%)
- Chirurgies complexes (n=64, 50%)
- Autres procédures variées (n=5, 4%)

# Chirurgies cardiaques avec gradient artériel central - périphérique

54%  $\Delta$  TA SYS  $\geq$  10 mmHg

39%  $\Delta$  TA SYS  $\geq$  25 mmHg

26%  $\Delta$  TAM  $\geq$  5mmHg

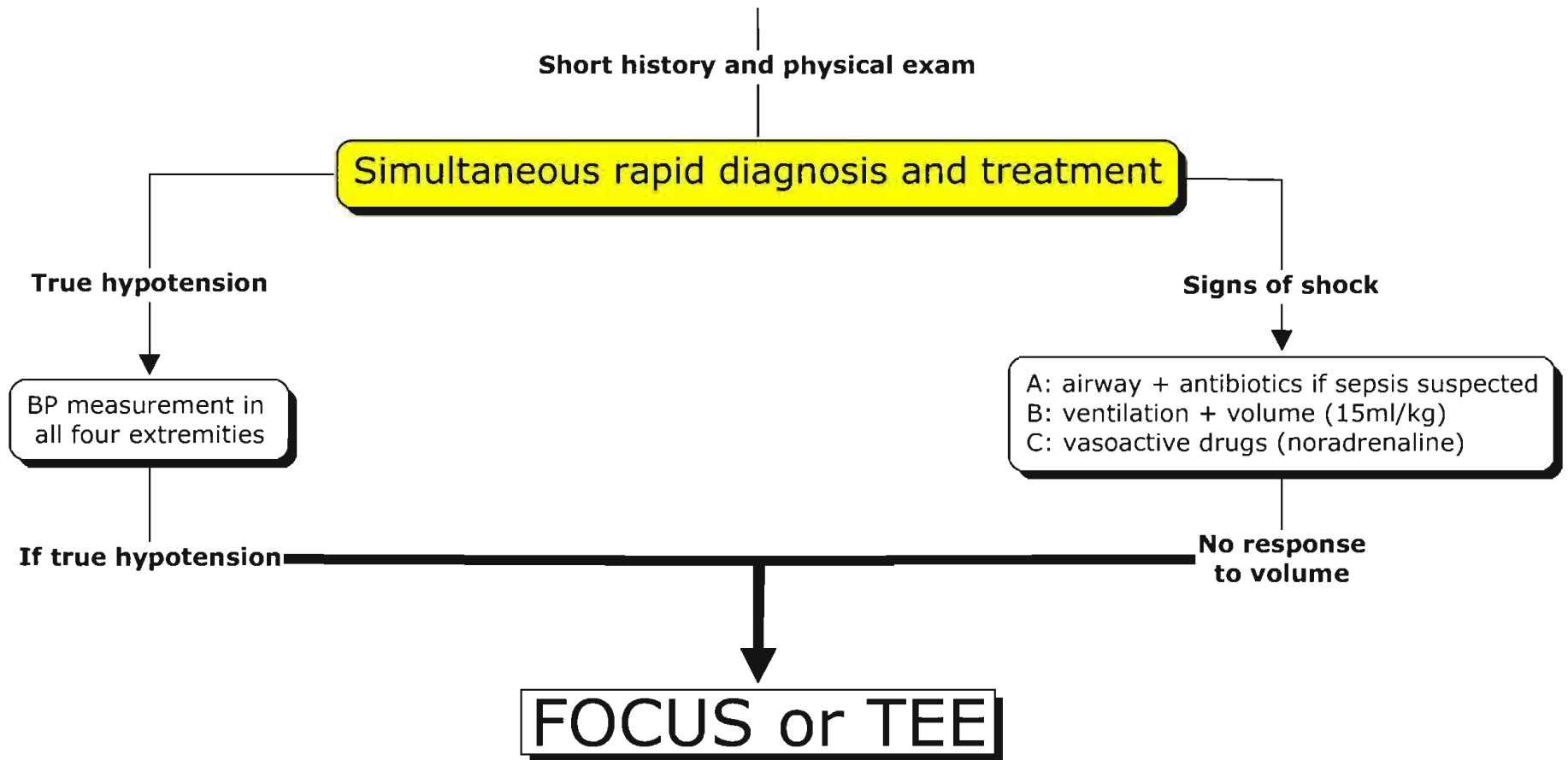
18%  $\Delta$  TAM  $\geq$  10 mmHg

# Facteurs de risque

- Poids
- Taille
- Diabète
- FAC VG post CEC normale
- CVP pré CEC

Variable	N	Absence de gradient	Présence de gradient	p
Poids (kg)	129	80.30 ±14.428	71.27 ±15.954	0.0011
Taille (cm)	129	168.85 ±9.6057	163.23 ±9.601	0.0012
Diabète	30	22	8	0.0005
FAC VG post CEC	122			0.0418
CVP PRE		16.52 ±6.19	13.36 ±6.15	0.0099

# Hemodynamic instability





Antoine Vieillard-Baron  
Michel Slama  
Bernard Cholley  
G rard Janvier  
Philippe Vignon

## Echocardiography in the intensive care unit: from evolution to revolution?





# CHEST

## Consensus Statement

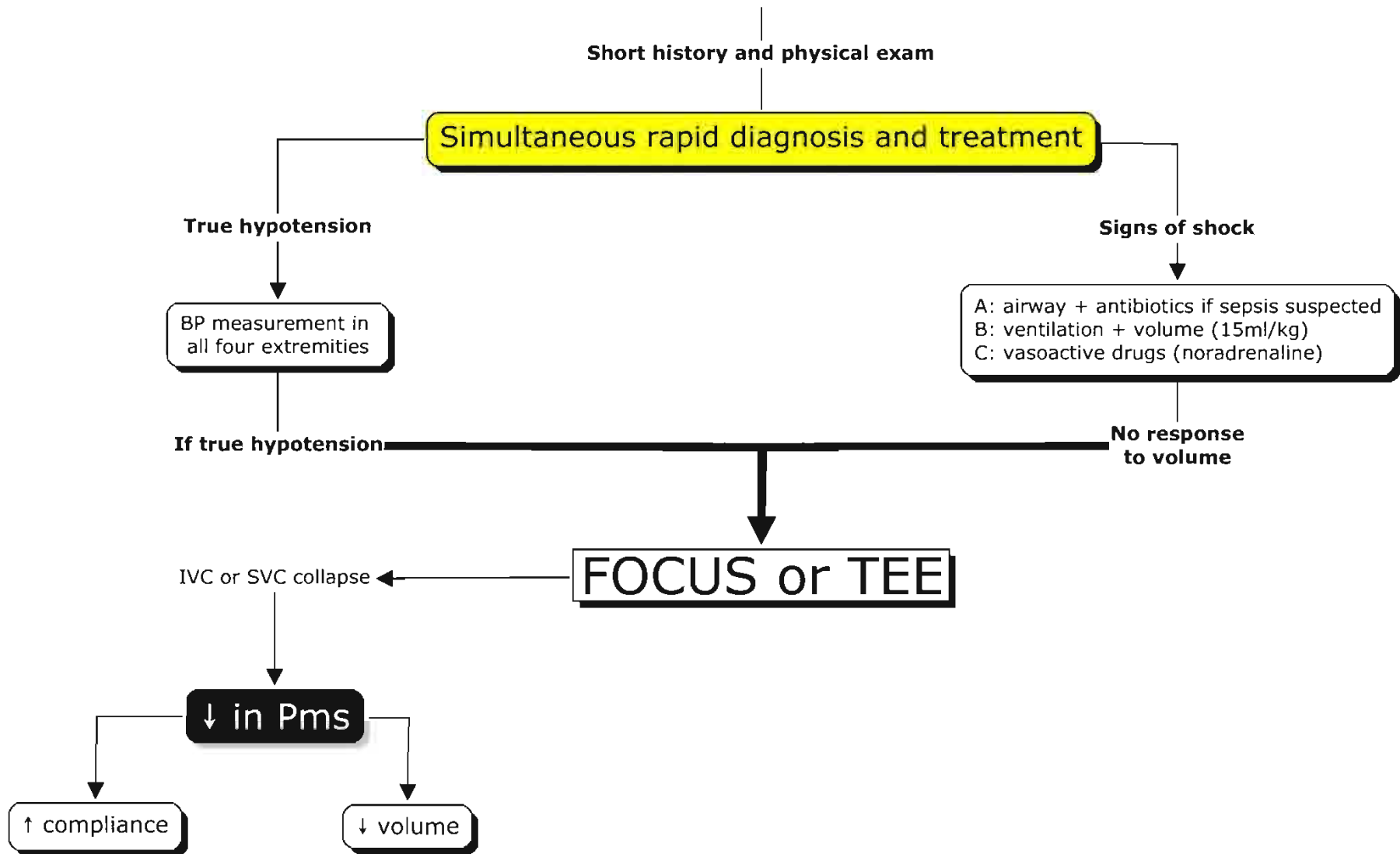
---

### **American College of Chest Physicians/ La Société de Réanimation de Langue Française Statement on Competence in Critical Care Ultrasonography\***

*Paul H. Mayo, MD; Yannick Beaulieu, MD; Peter Doelken, MD;  
David Feller-Kopman, MD; Christopher Harrod, MS; Adolfo Kaplan, MD;  
John Oropello, MD; Antoine Vieillard-Baron, MD; Olivier Axler, MD;  
Daniel Lichtenstein, MD; Eric Maury, MD; Michel Slama, MD;  
and Philippe Vignon, MD*

***(CHEST 2009; 135:1050–1060)***

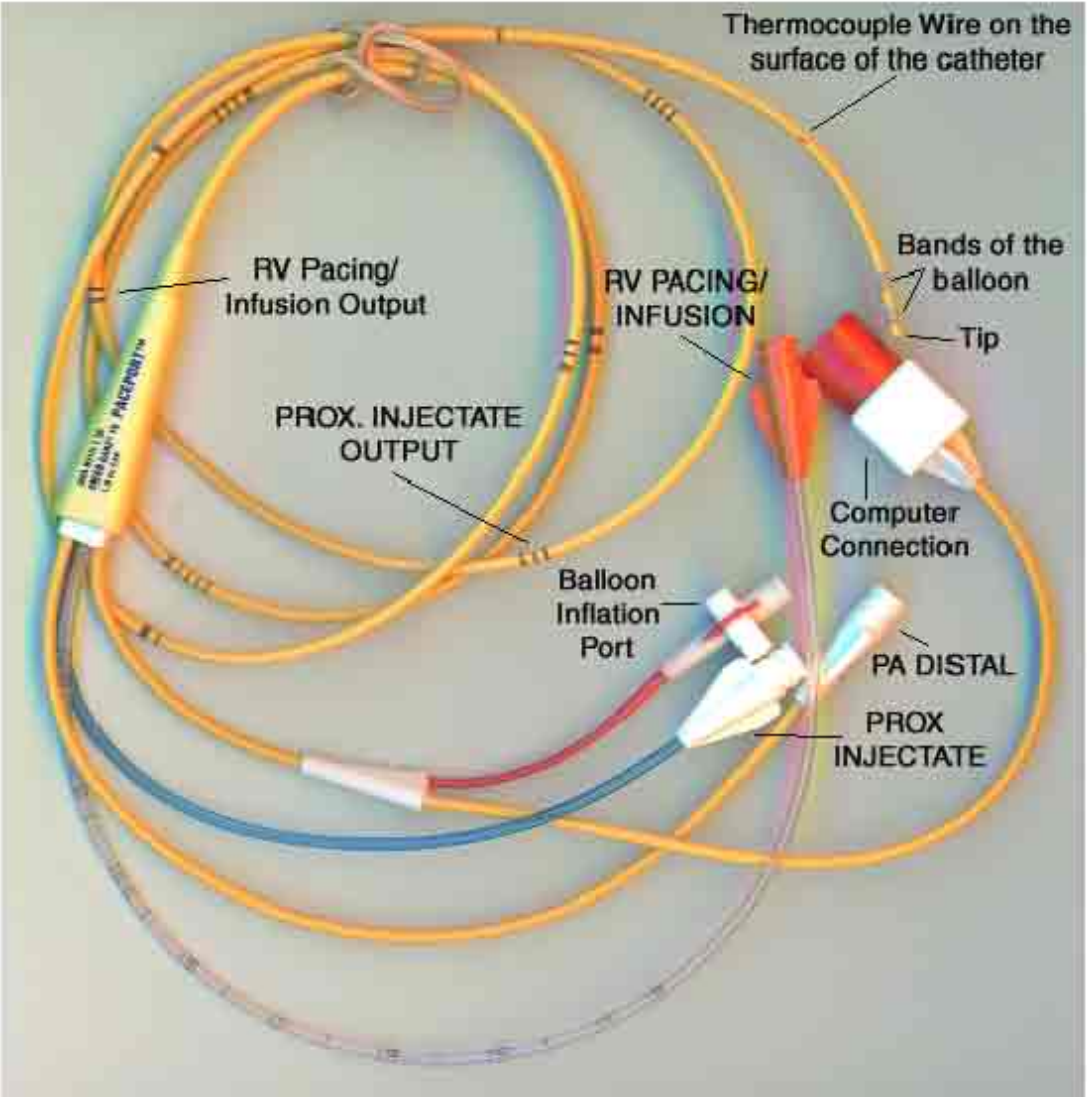
# Hemodynamic instability



Prédiction de la réponse au volume par  
l'analyse des courbes de TVC, de PCPB  
et de pression diastolique du ventricule  
droit chez des patients de chirurgie  
cardiaque

Sébastien Roy RIV  
Université de Montréal  
Mars 2004





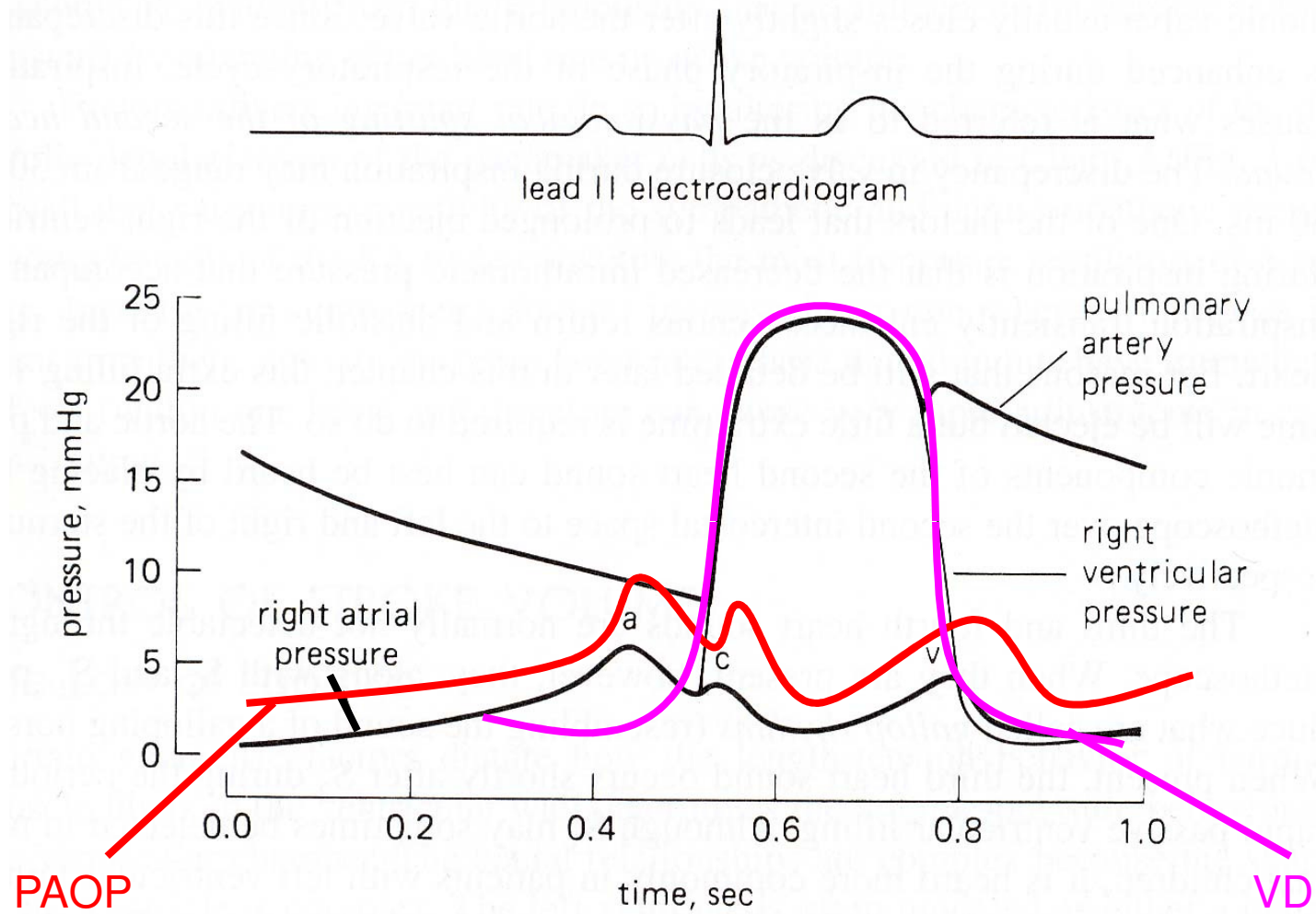


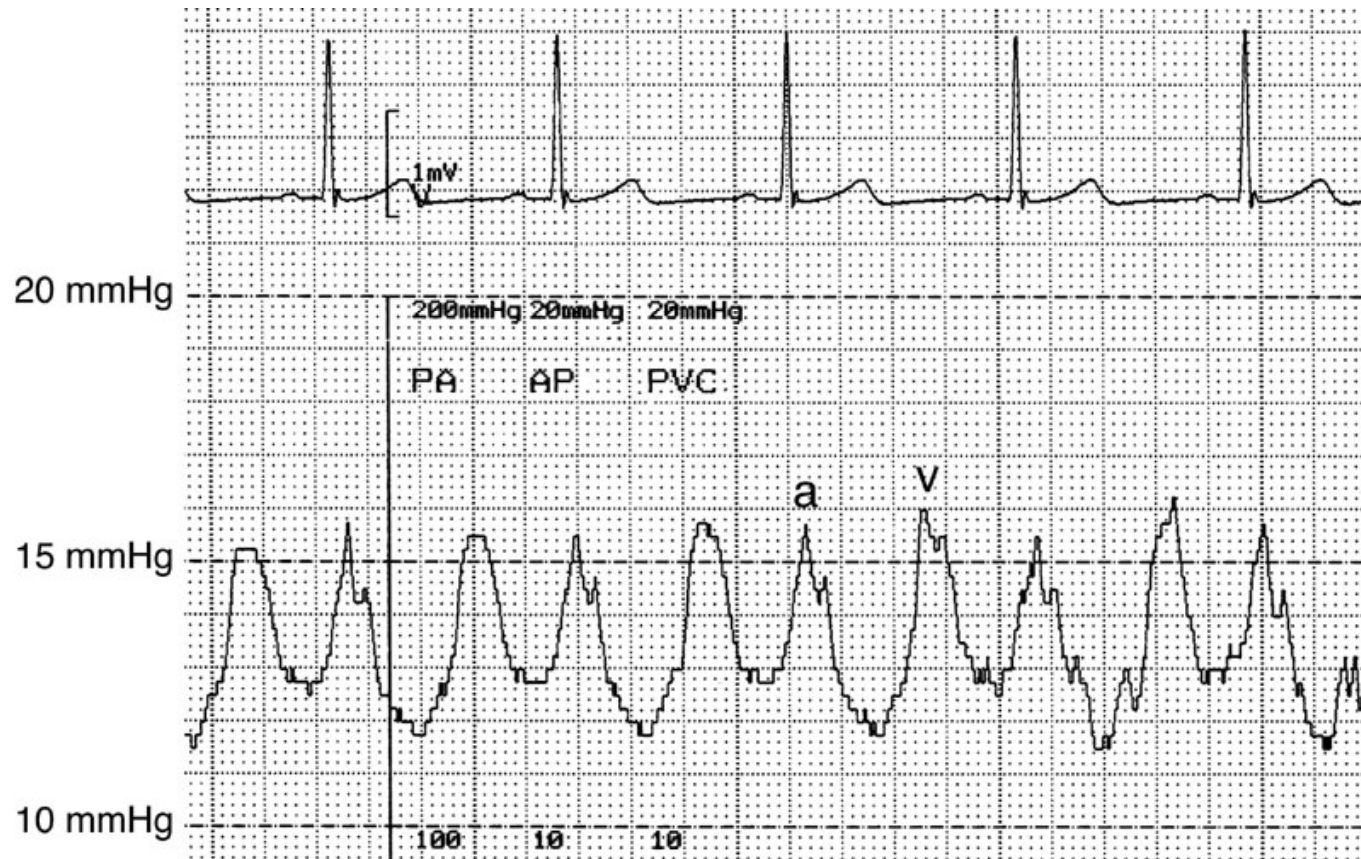
Figure 4-2 Cardiac cycle—right heart.

# Courbe de PCPB : exemple d'un répondeur



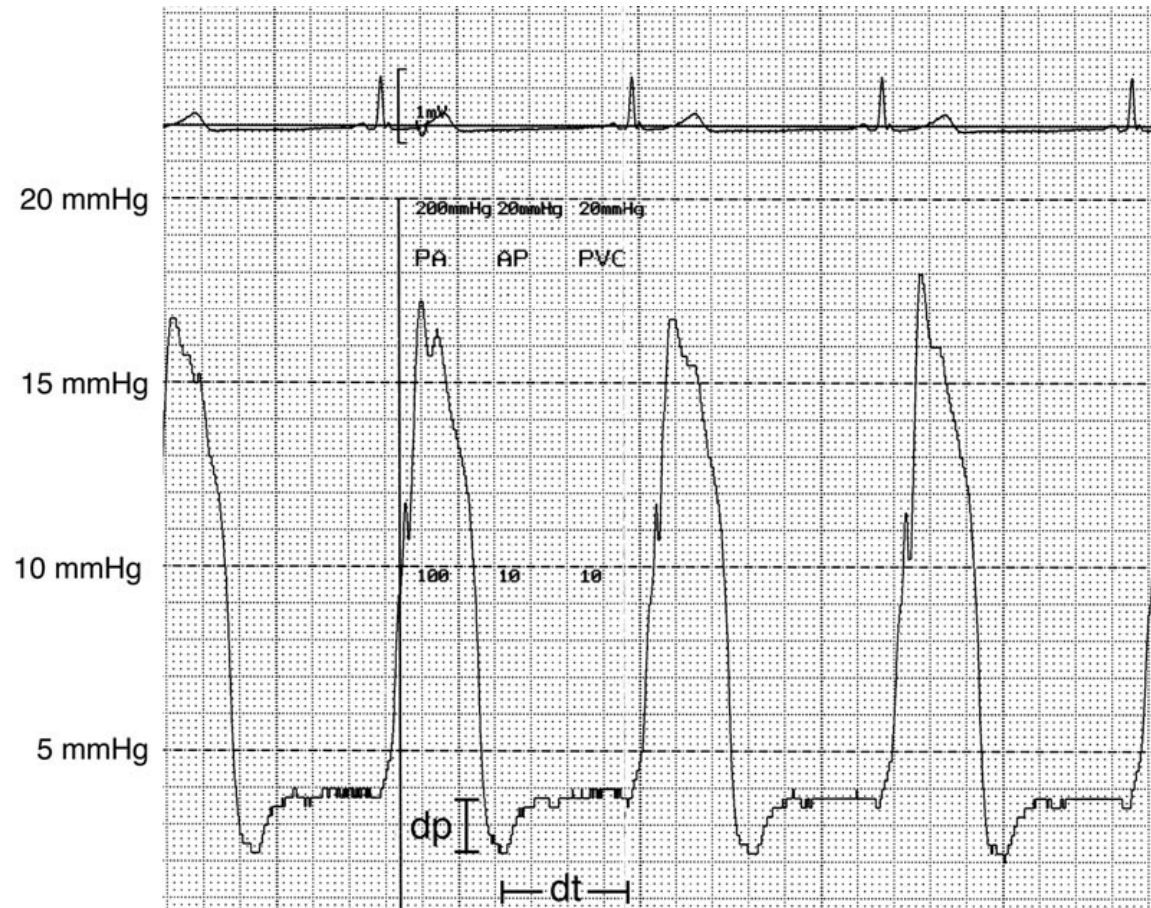


# Courbe de PCPB : exemple d'un non répondeur

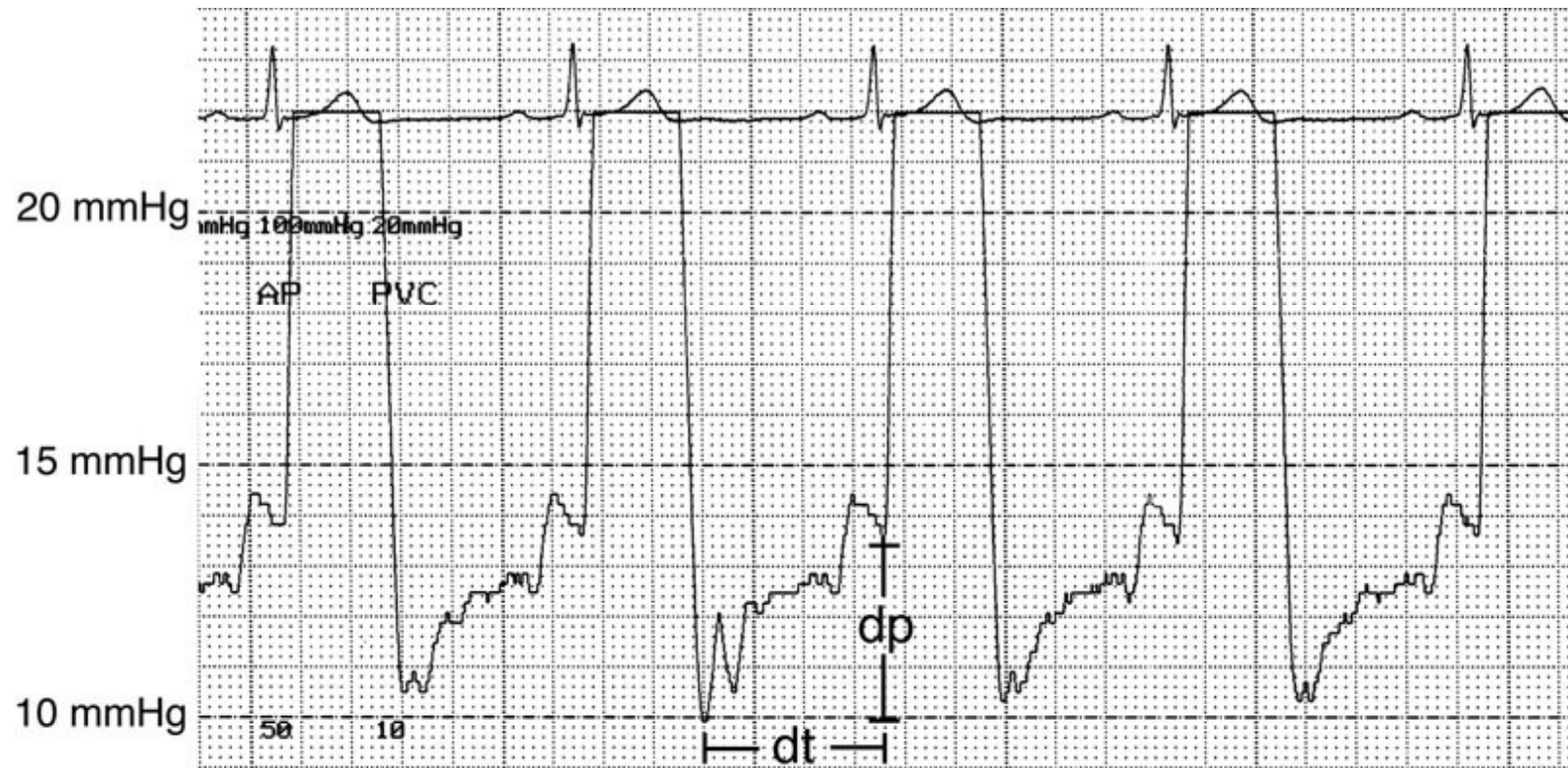




# Courbe du VD : exemple d'un répondeur



# Courbe du VD : exemple d'un non répondeur



# Résultats pour les courbes de TVC et PCPB

<b>Paramètres</b>	<b>Répondeurs (N = 24)</b>	<b>Non répondeurs (N = 14)</b>	<b>p</b>
$\Delta$ VE post bolus (%)	33 $\pm$ 16	8 $\pm$ 6	< 0,0001
TVC (mm Hg)	9 $\pm$ 3	9 $\pm$ 3	0,6
PCPB (mm Hg)	11 $\pm$ 3	12 $\pm$ 3	0,57
Ratio a/v de TVC	1,16 $\pm$ 0,14	1,18 $\pm$ 0,09	0,67
Ratio a/v de PCPB	1,07 $\pm$ 0,07	0,96 $\pm$ 0,1	0,0001
dp VD/RR (mm Hg/s)	1,96 $\pm$ 0,83	2,68 $\pm$ 1,06	0,03

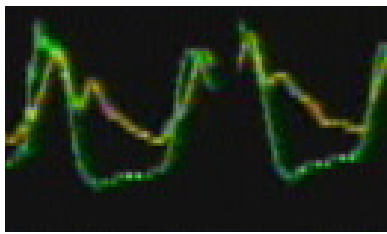
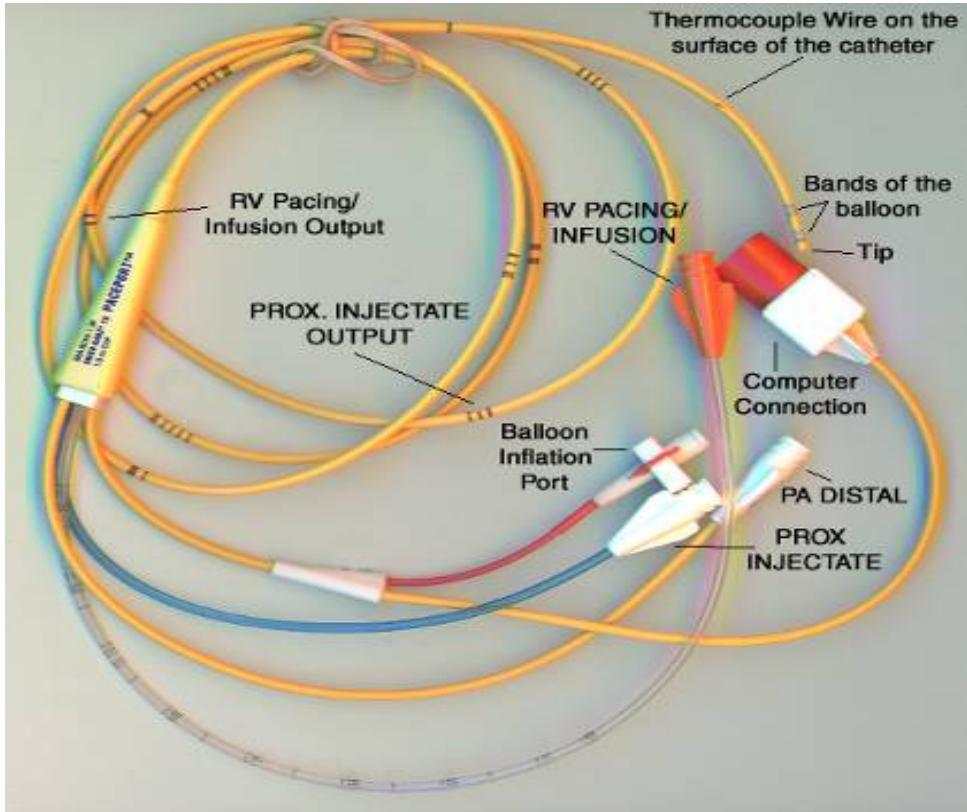
Prédiction de la réponse au volume  
si le ratio a/v de la courbe de PCPB  
est  $> 1$  avant bolus

Sensibilité	83 %
Spécificité	79 %
Valeur prédictive positive	87 %
Valeur prédictive négative	73 %

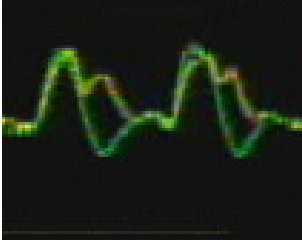


# Conclusions

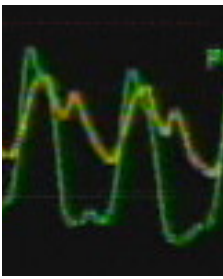
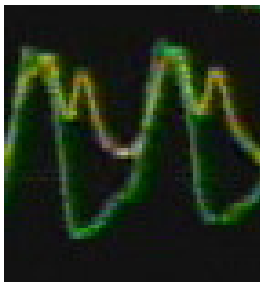
- Ces résultats soulignent l'importance d'analyser les tendances et les courbes obtenues avec un catheter de Swan-Ganz et non seulement d'utiliser les valeurs absolues des pressions dans la détermination de la réponse au volume



Post-CPB

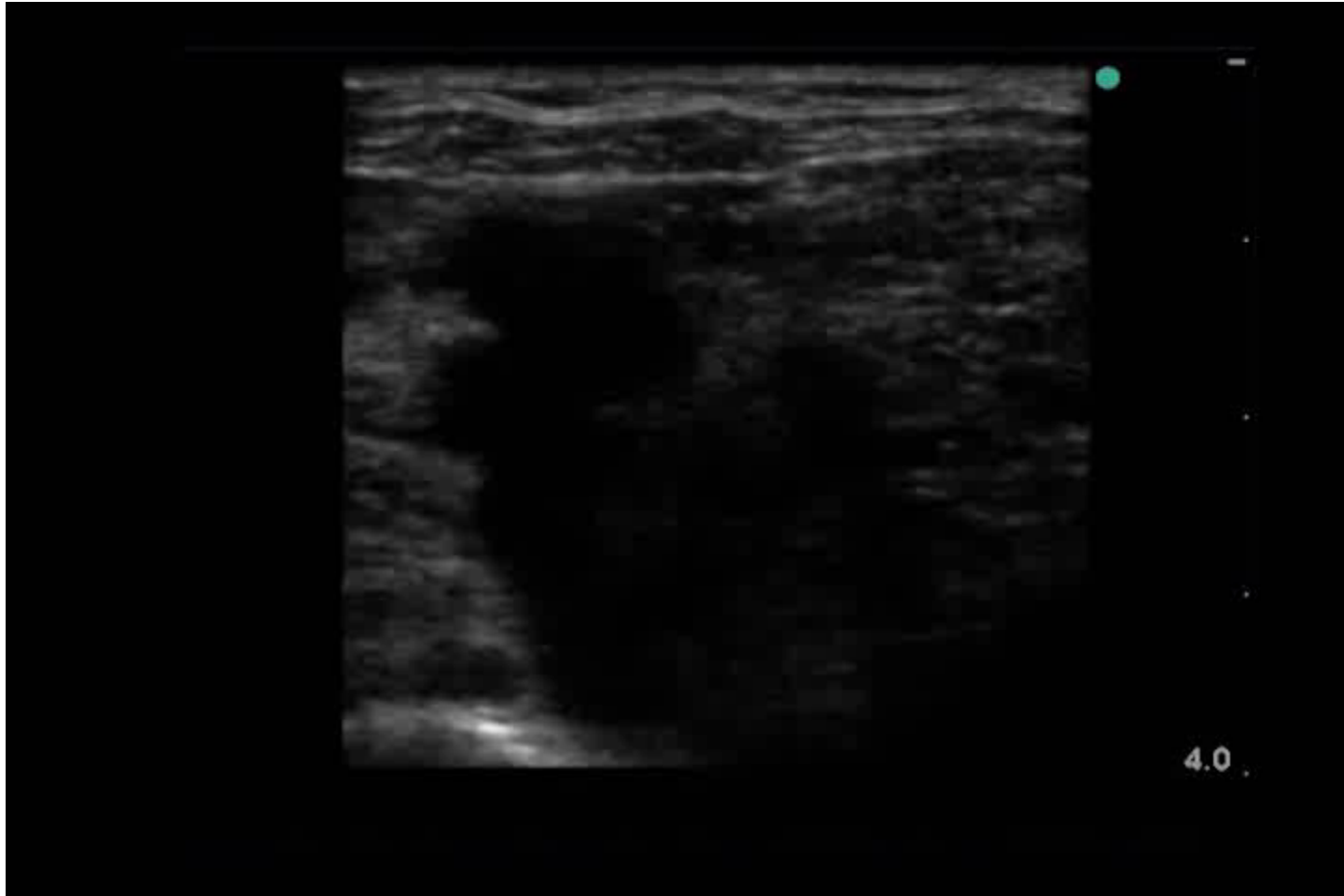


Unstable

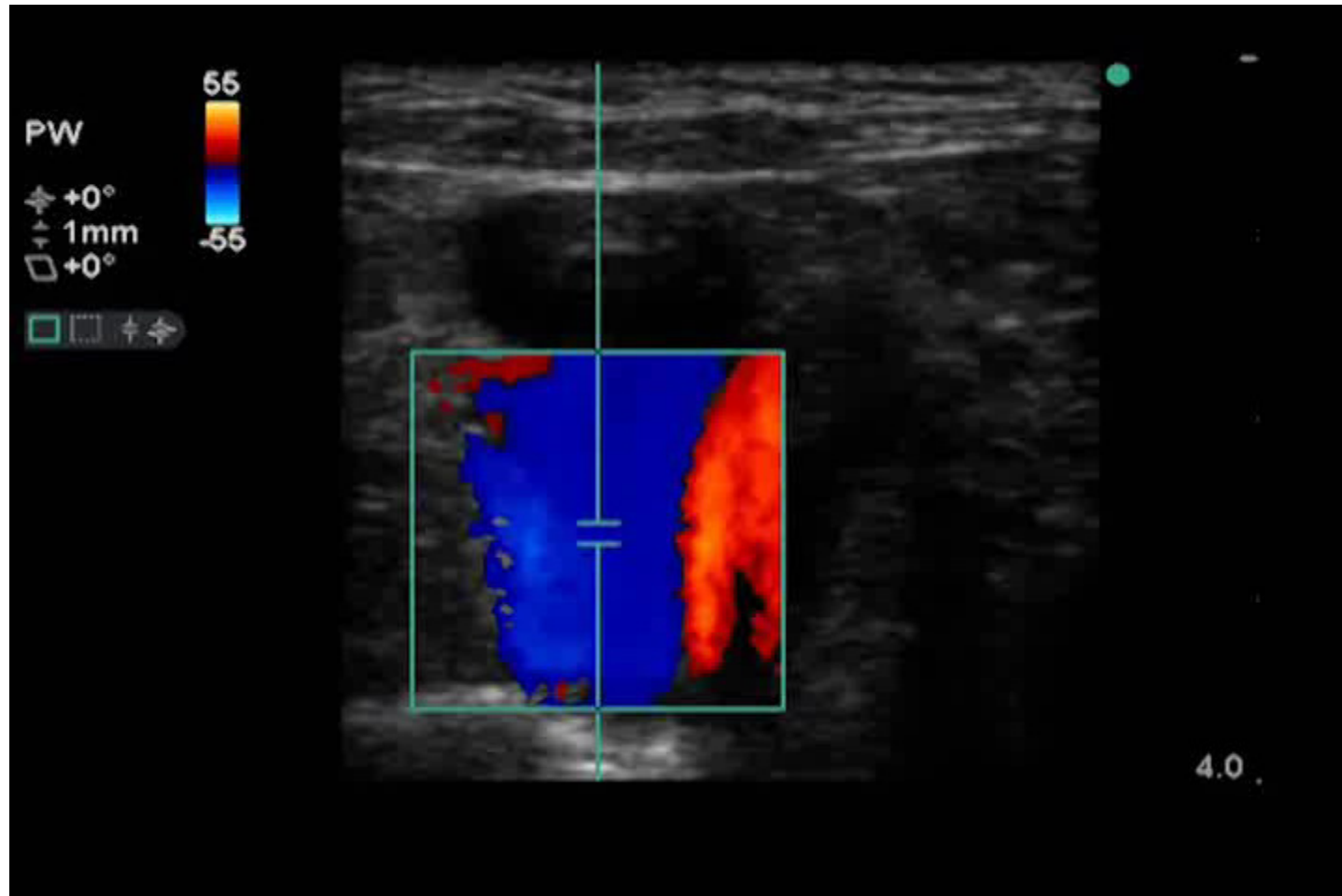


Inhaled milrinone

# Examen jugulaire interne

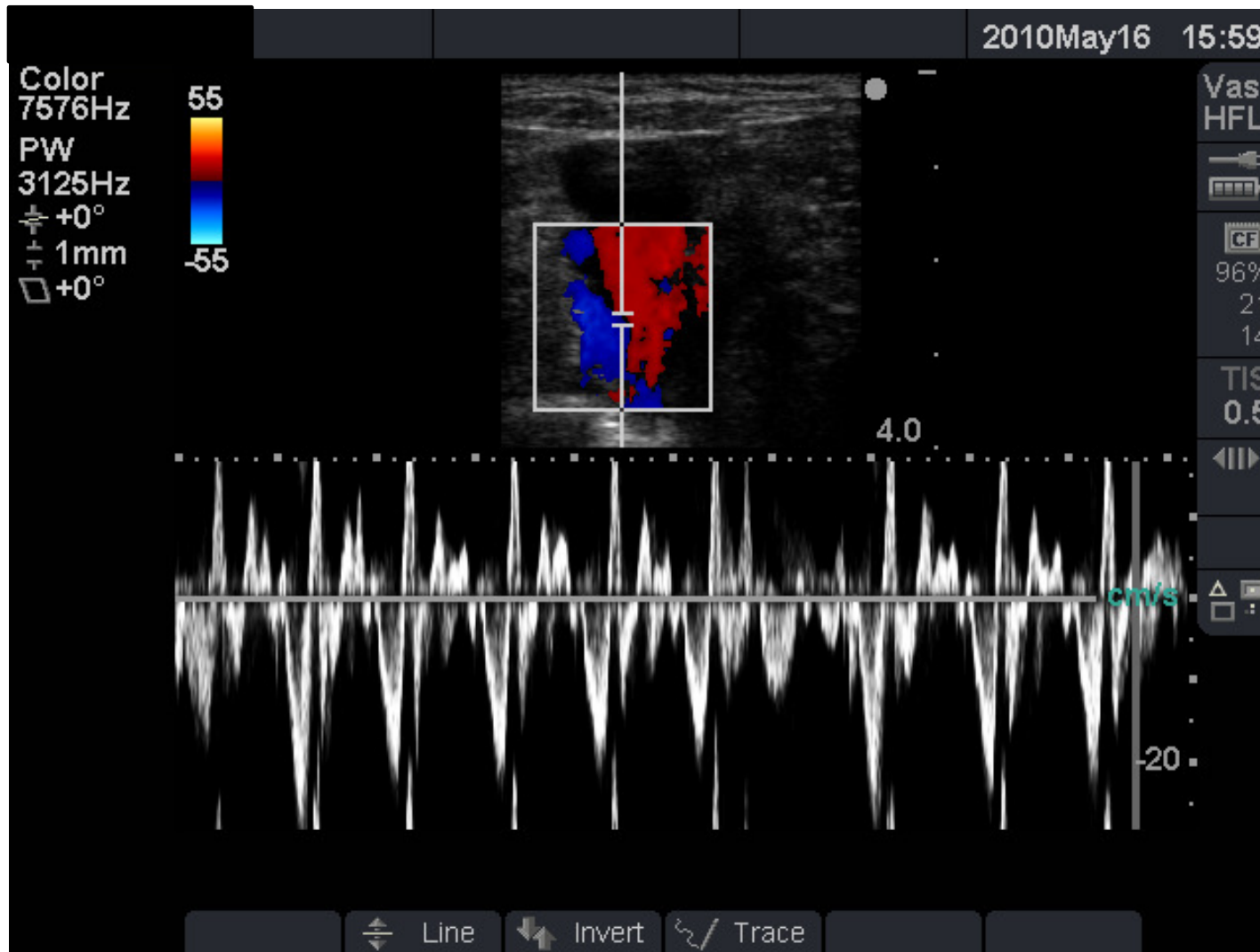


# Examen jugulaire interne: Doppler couleur

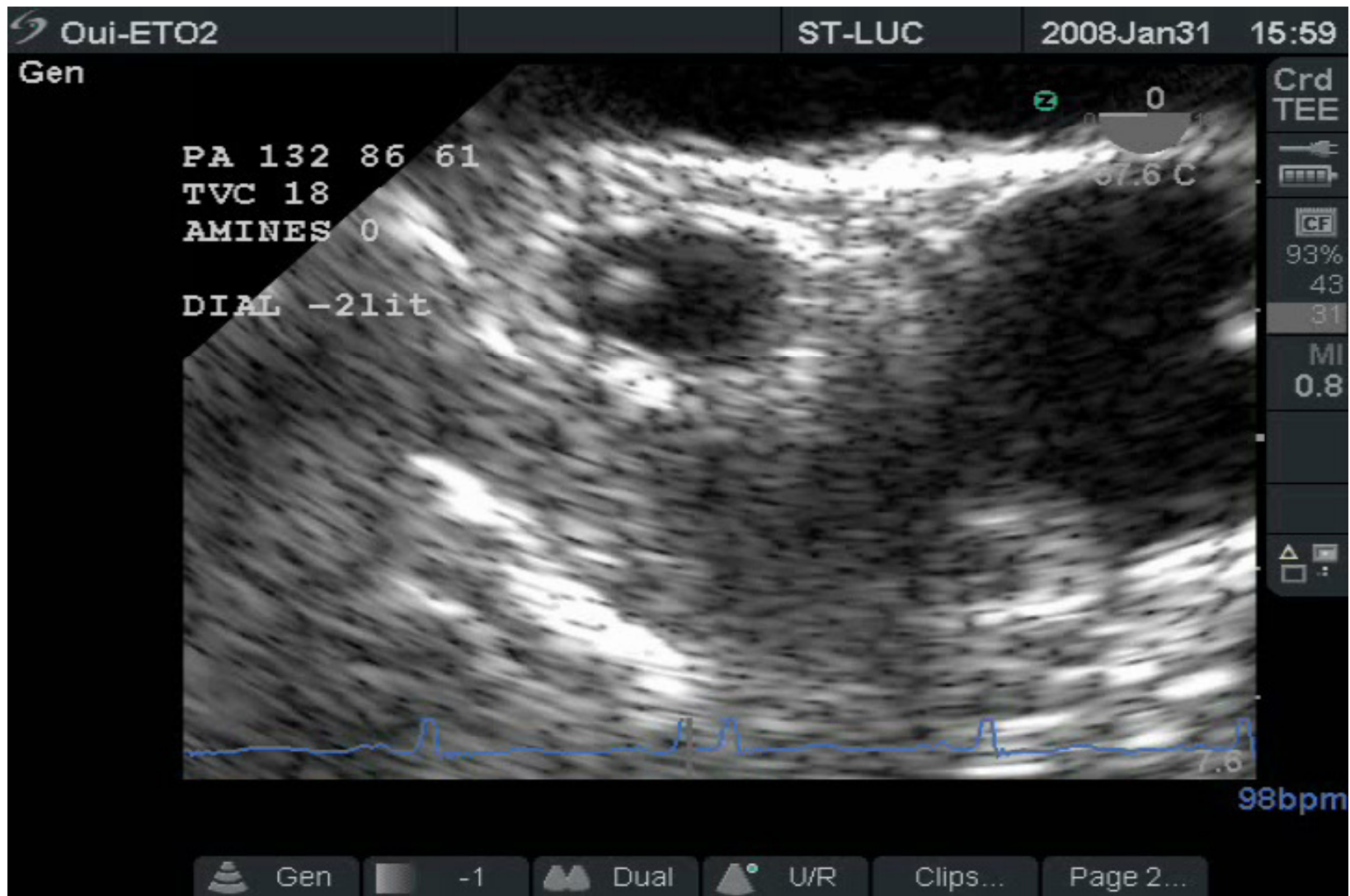




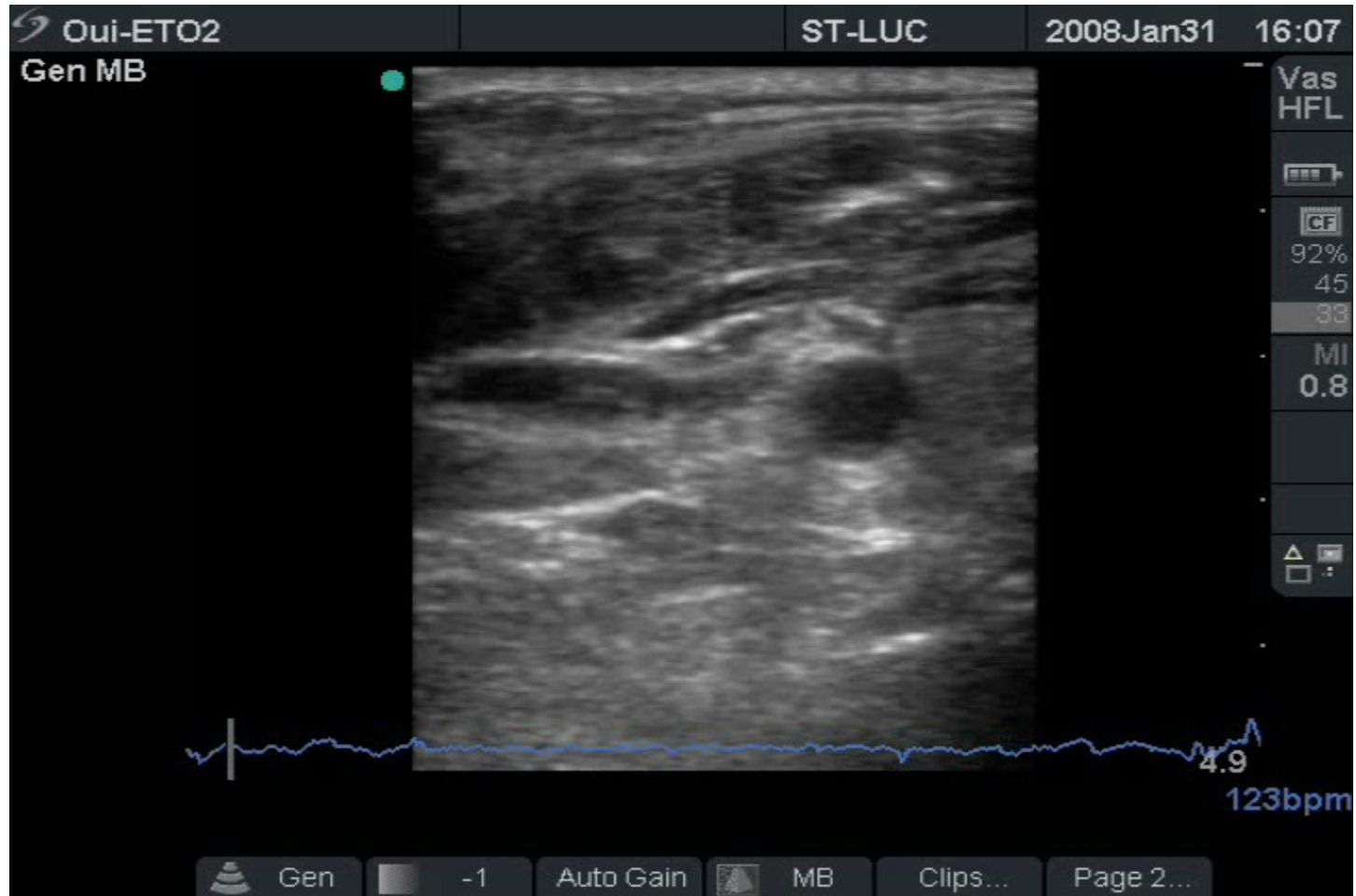
# Examen jugulaire interne: Doppler pulsé



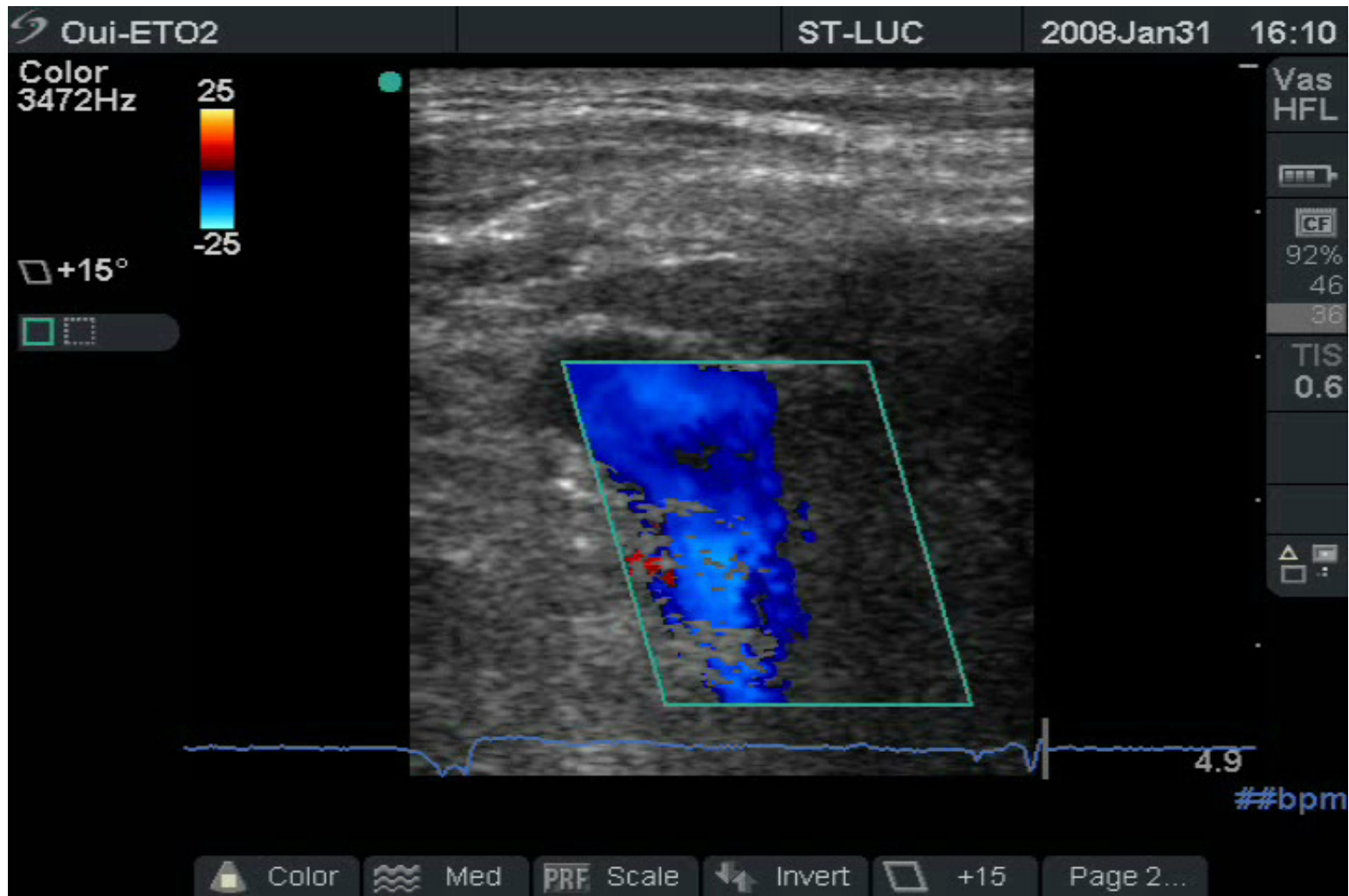
7 jours plus tard: redevient instable et fébrile: candidémie



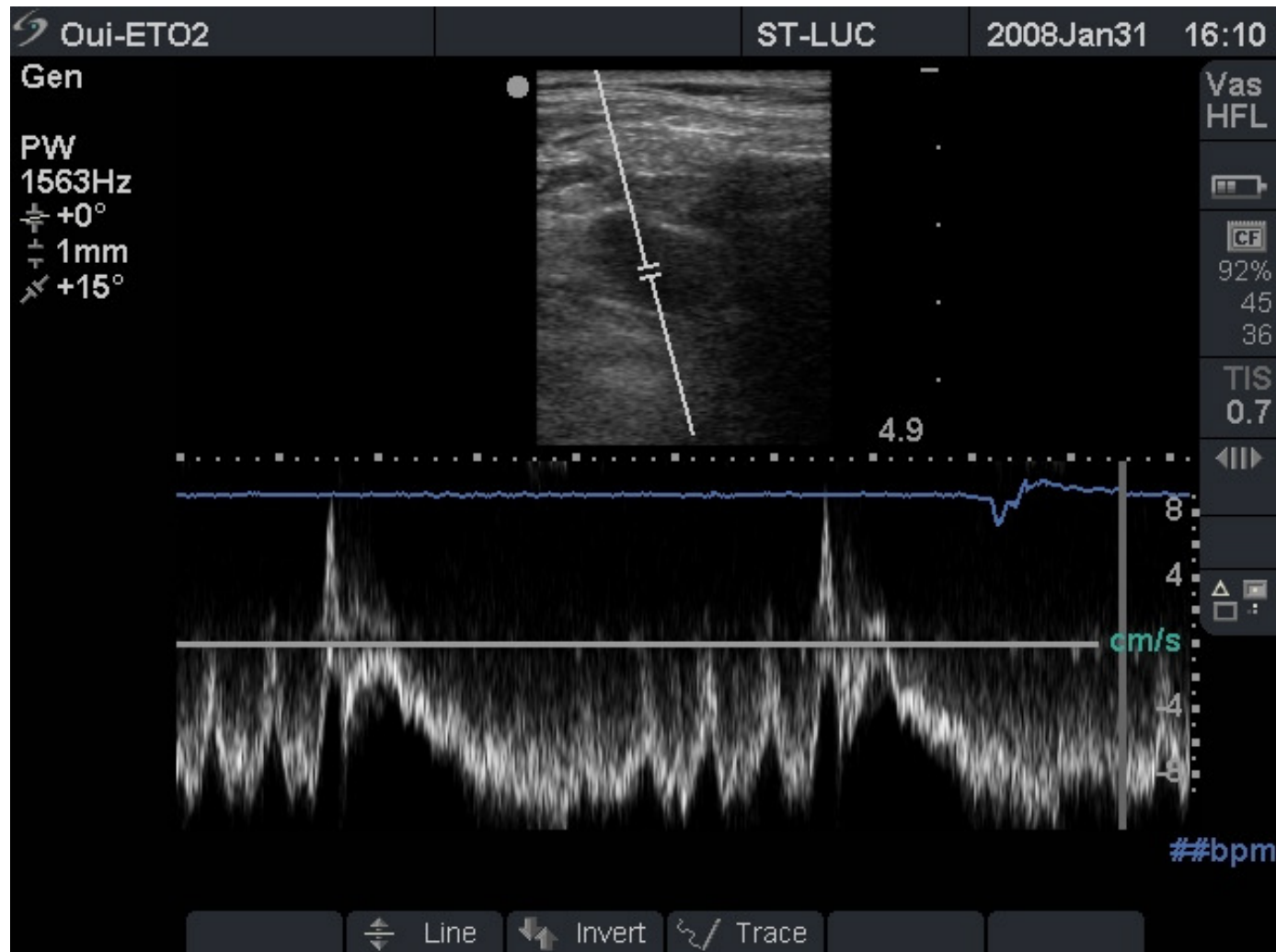
# Jugulaire interne droite



# Doppler couleur

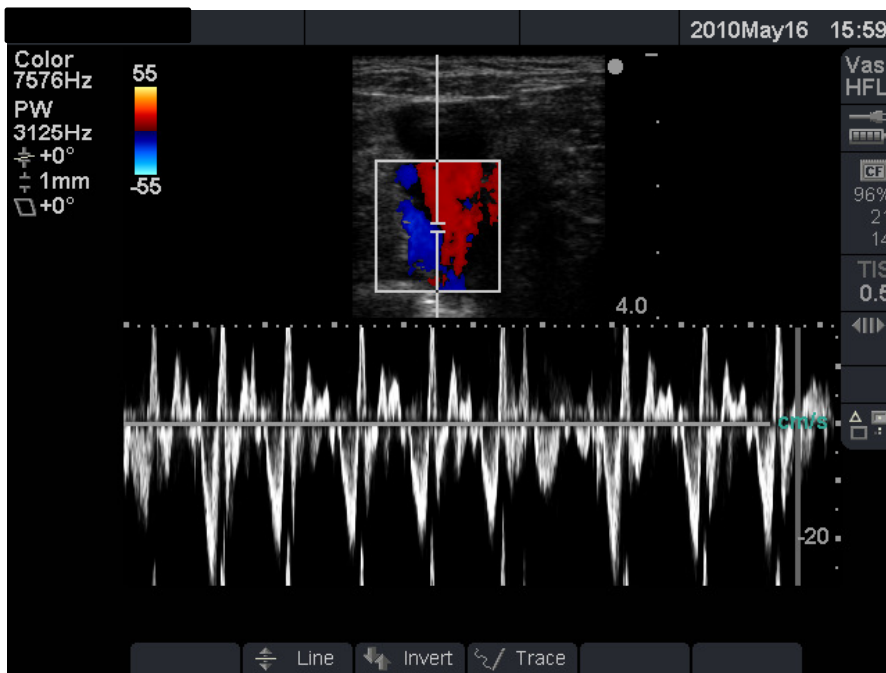


# Mode M

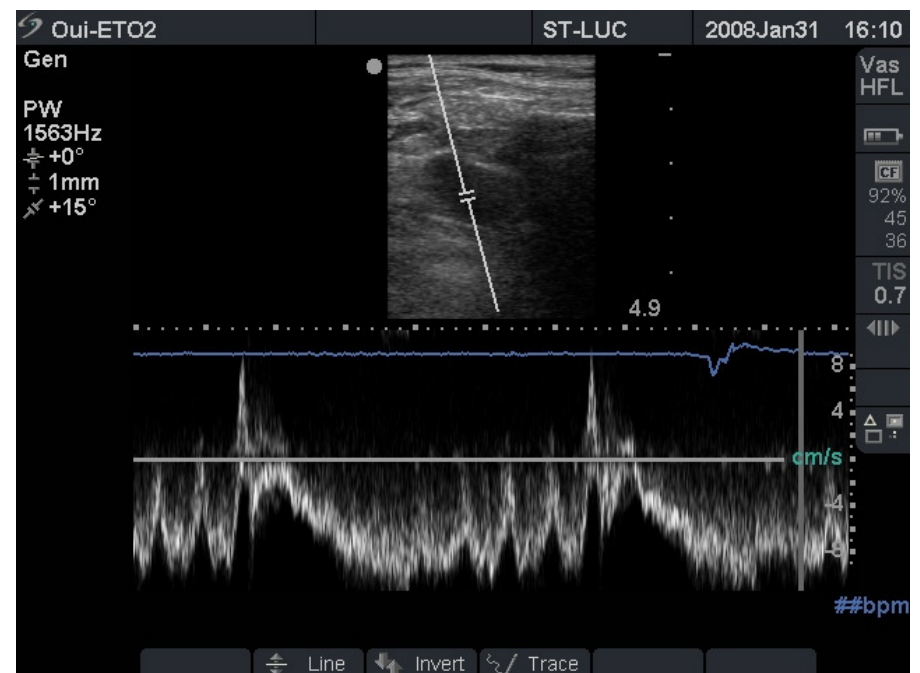


# Réponse au volume

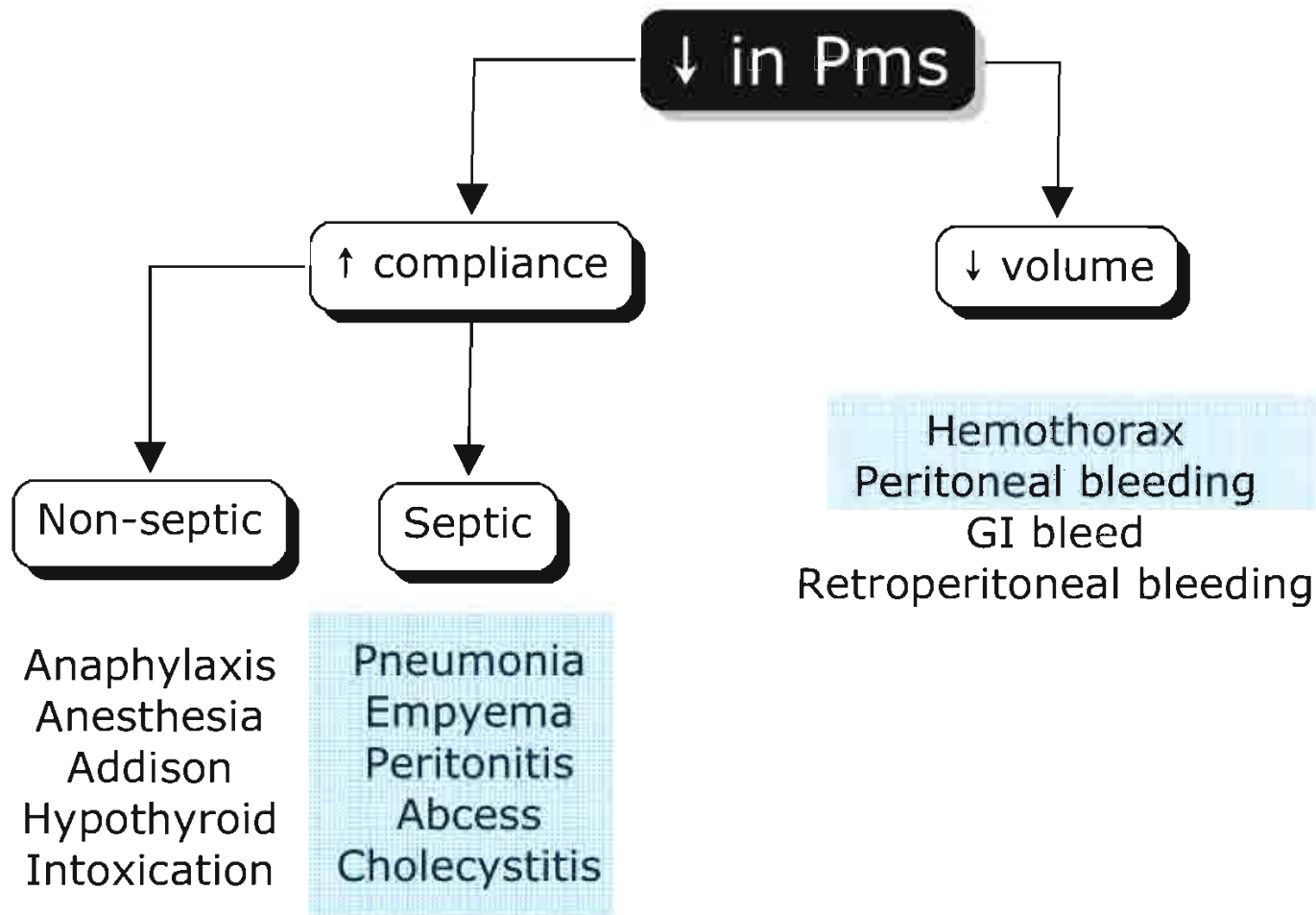
Moins importante



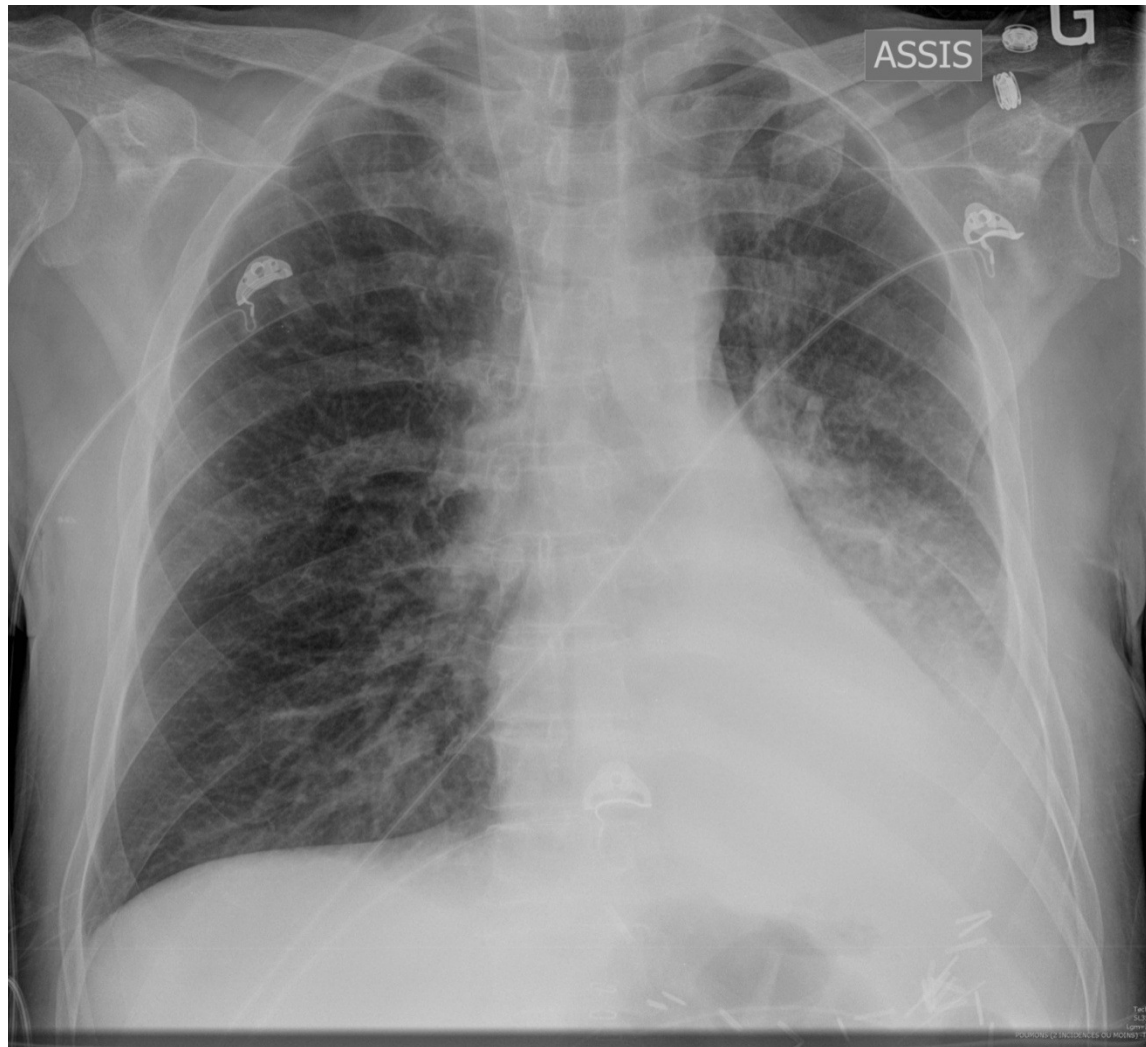
Plus importante





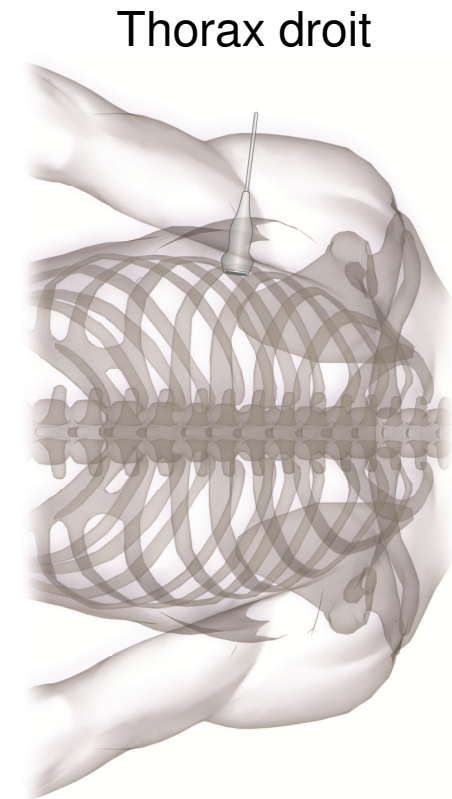
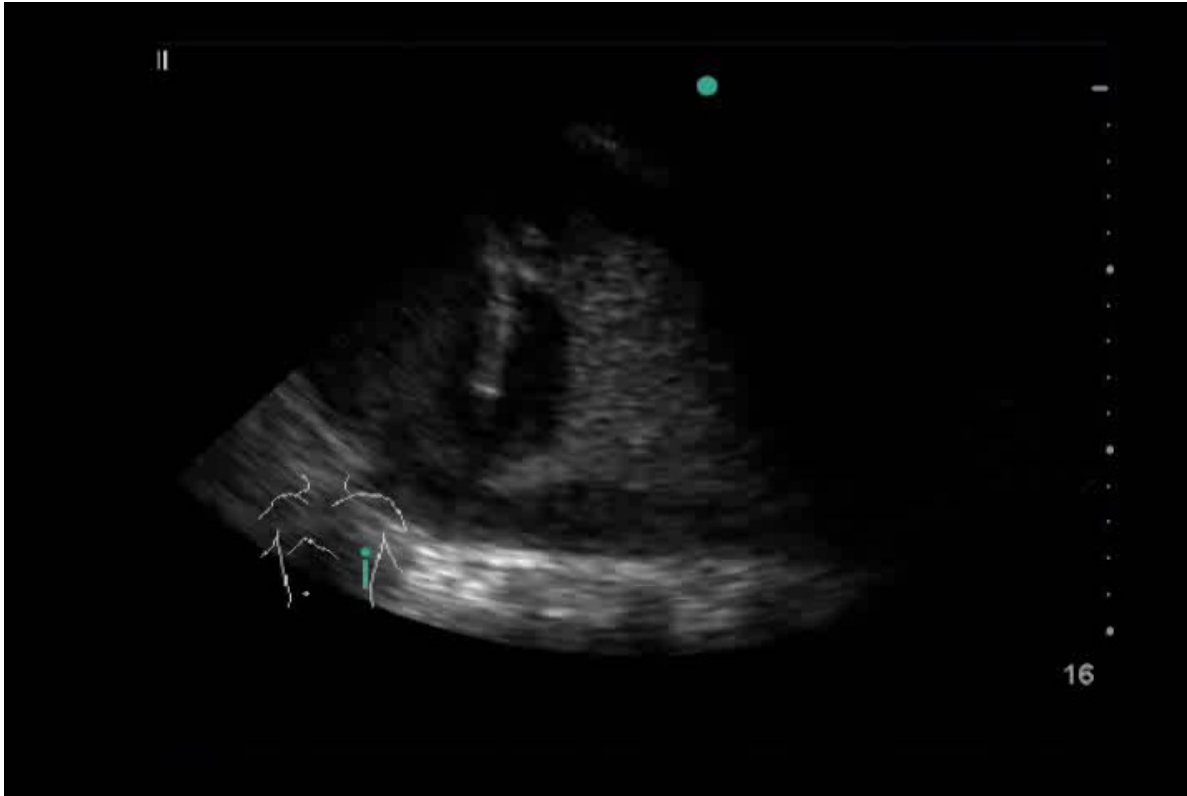


# Atélectasie ou pneumonie?



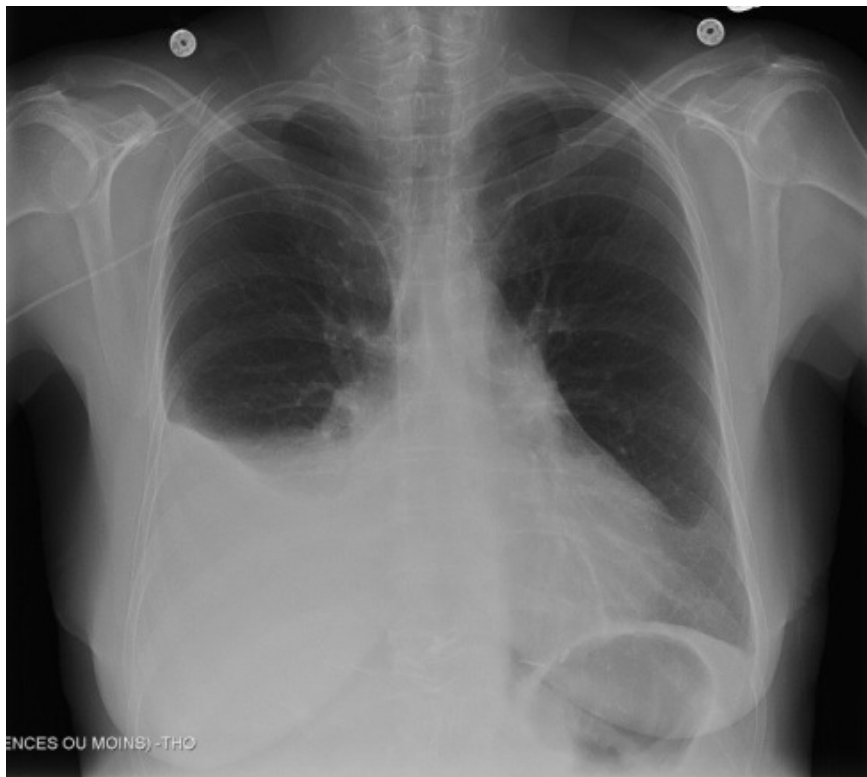


# Atélectasie ou pneumonie?

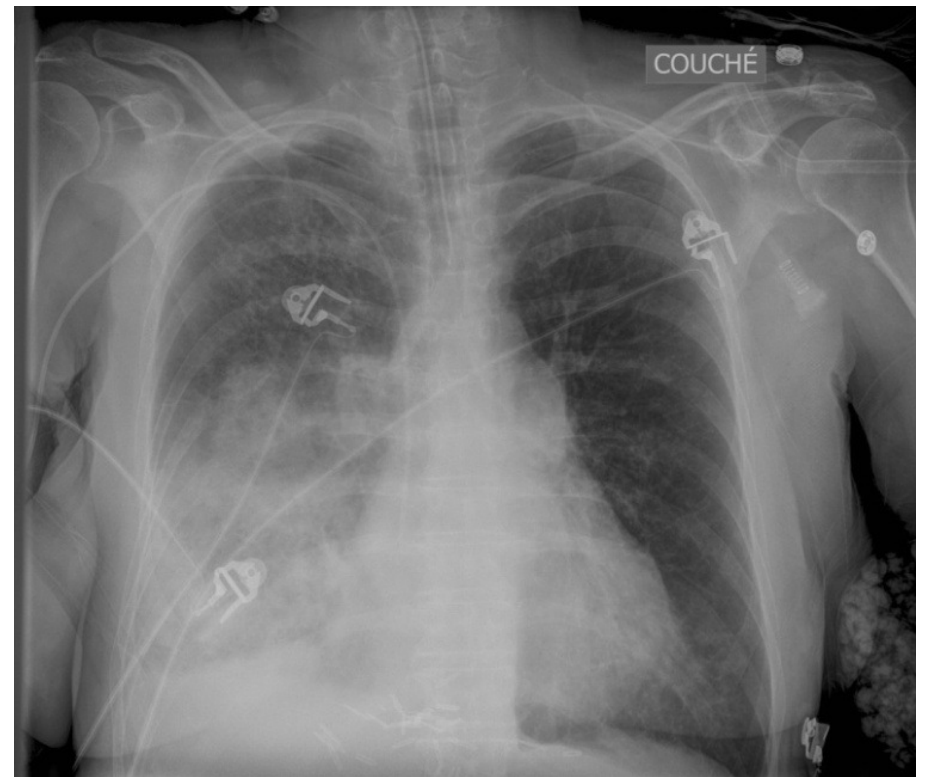


♀ de 58 ans instable après greffe  
hépatique

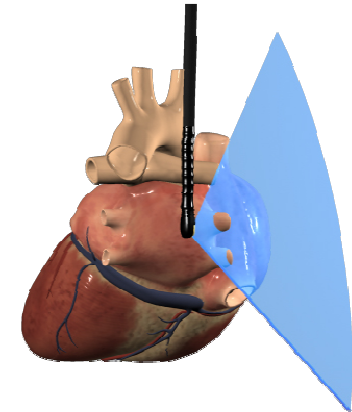
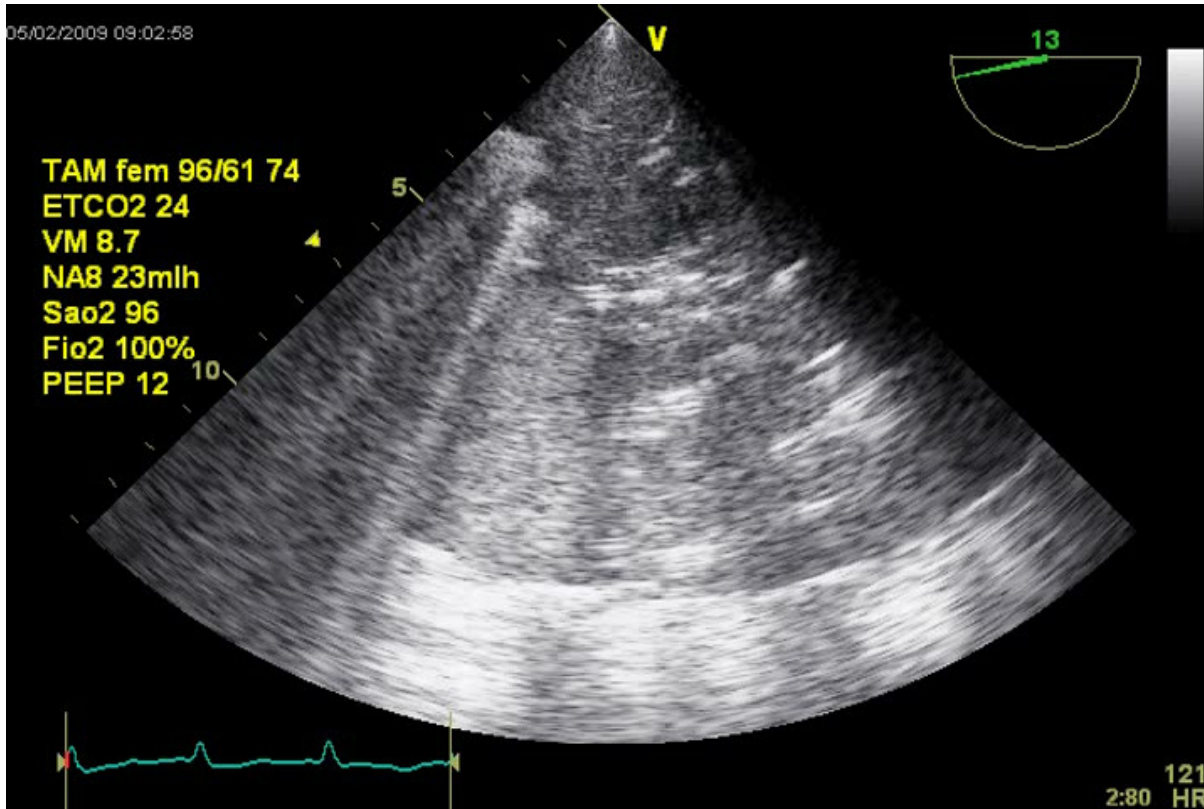
Avant l'épisode



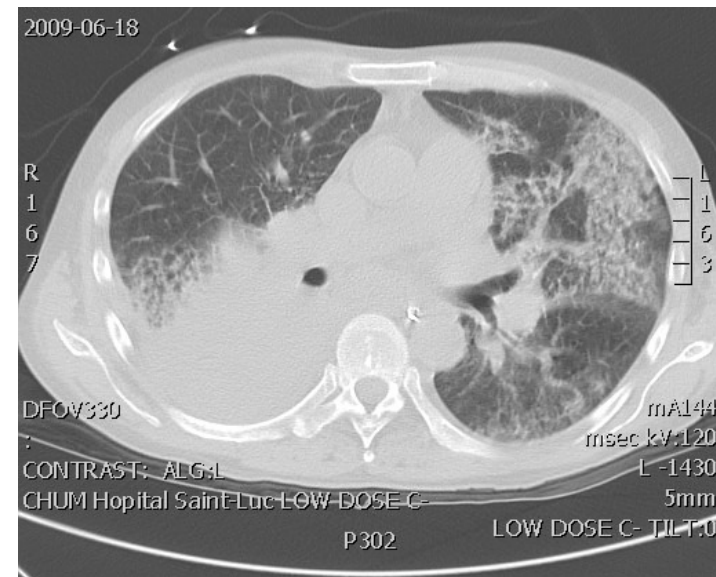
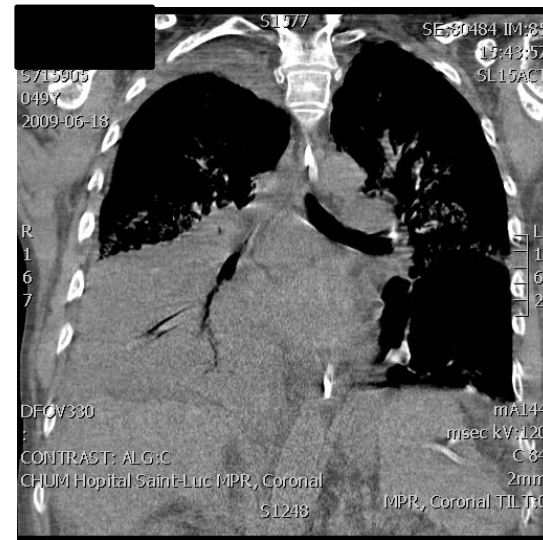
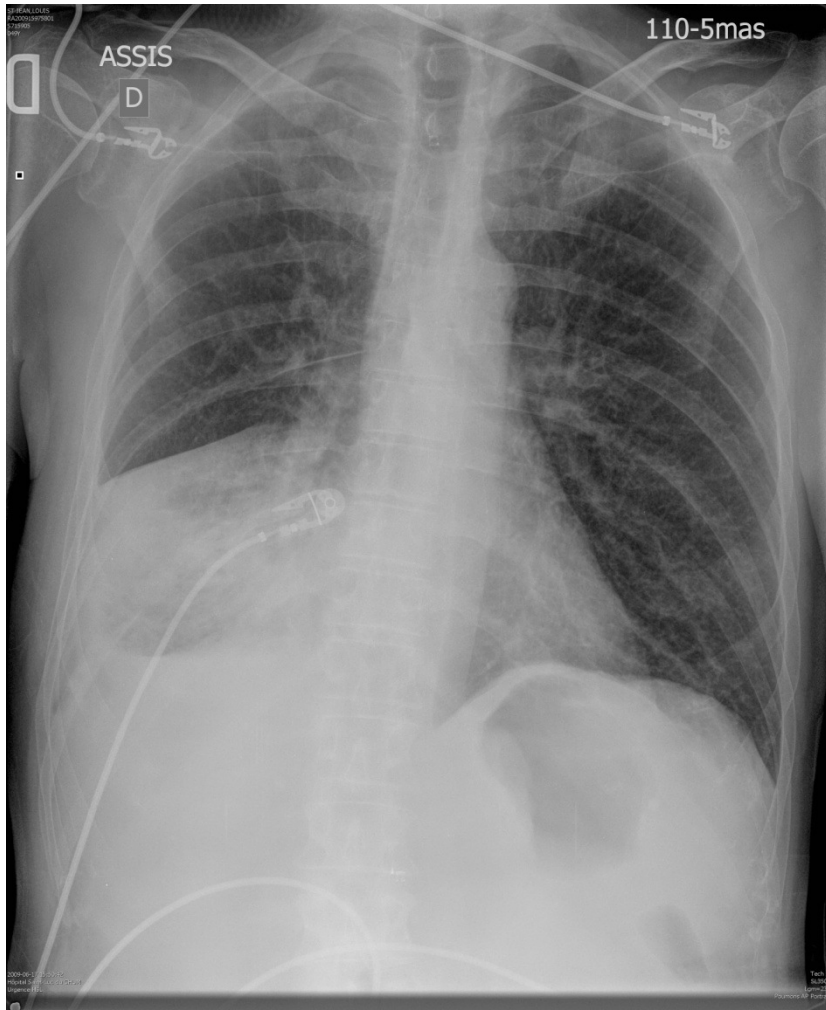
Pendant l'épisode



♀ de 58 ans instable après greffe hépatique



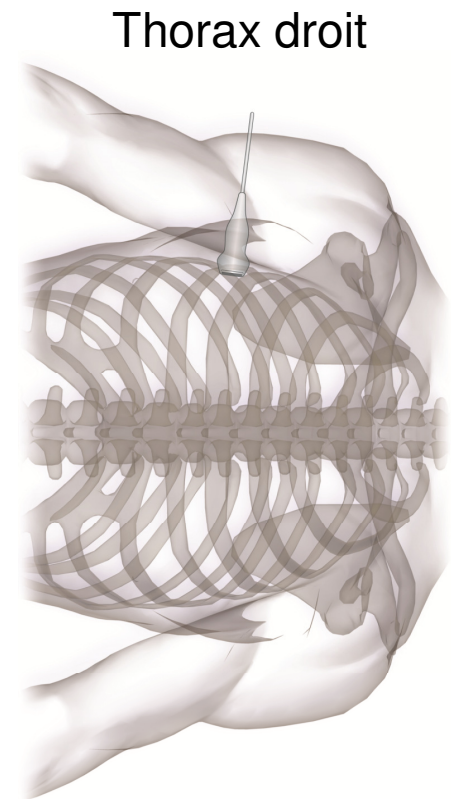
# ♂ 49 ans fièvre à l'urgence





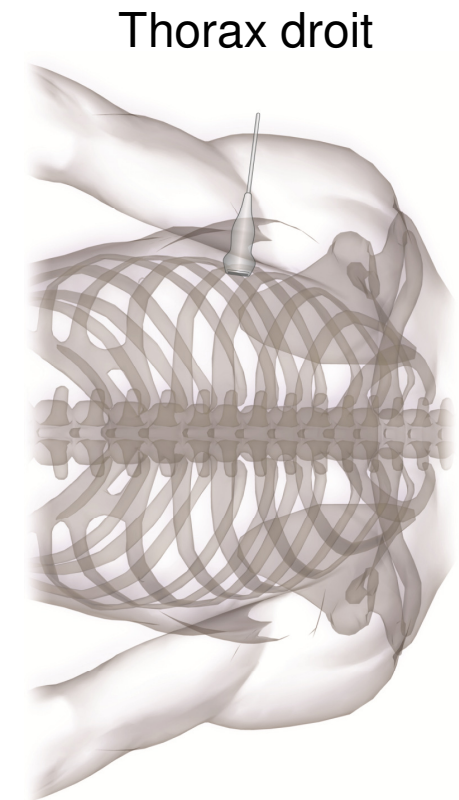
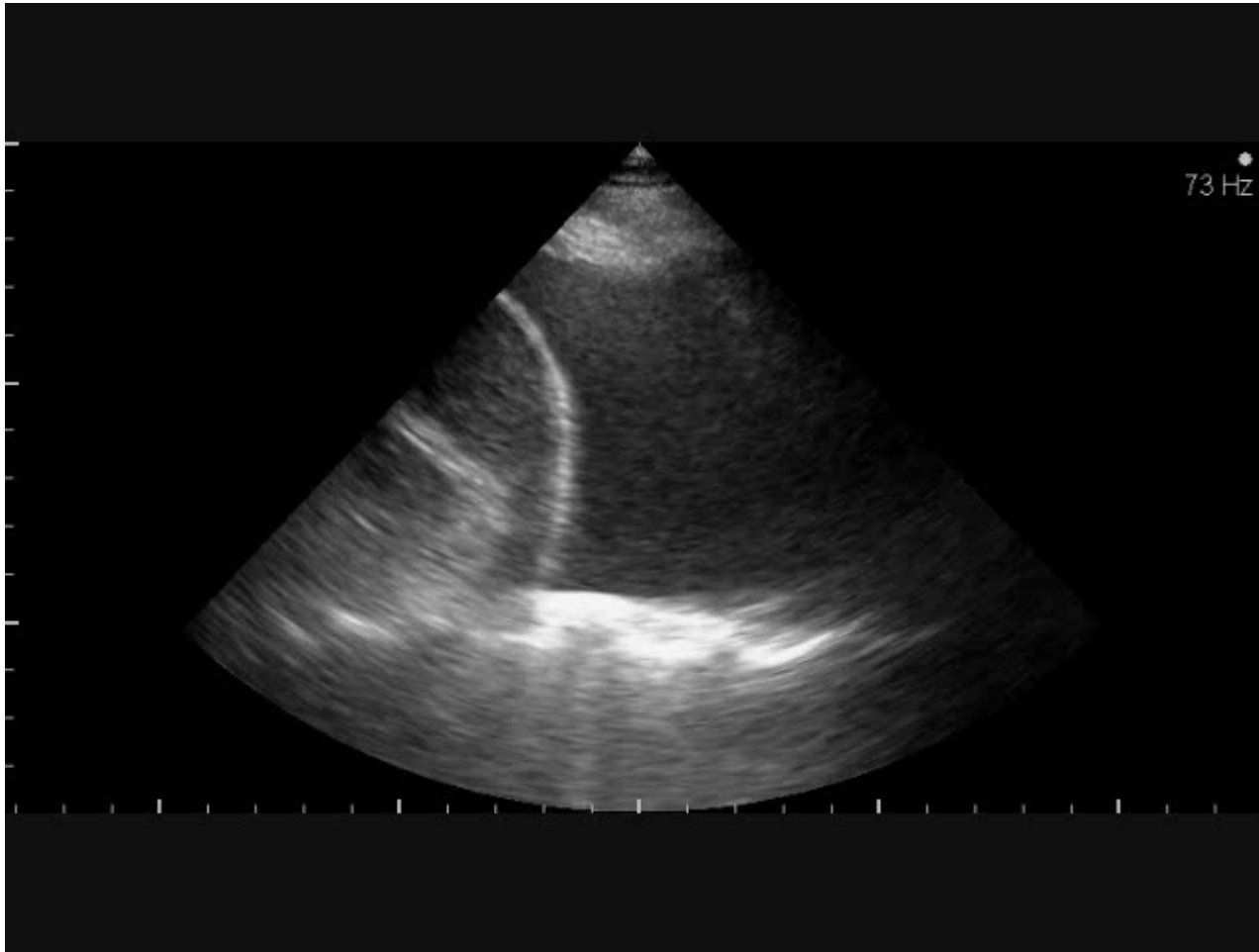
# 49 ans fièvre à l'urgence:

culture positive de sang: pneumococcus pneumonia



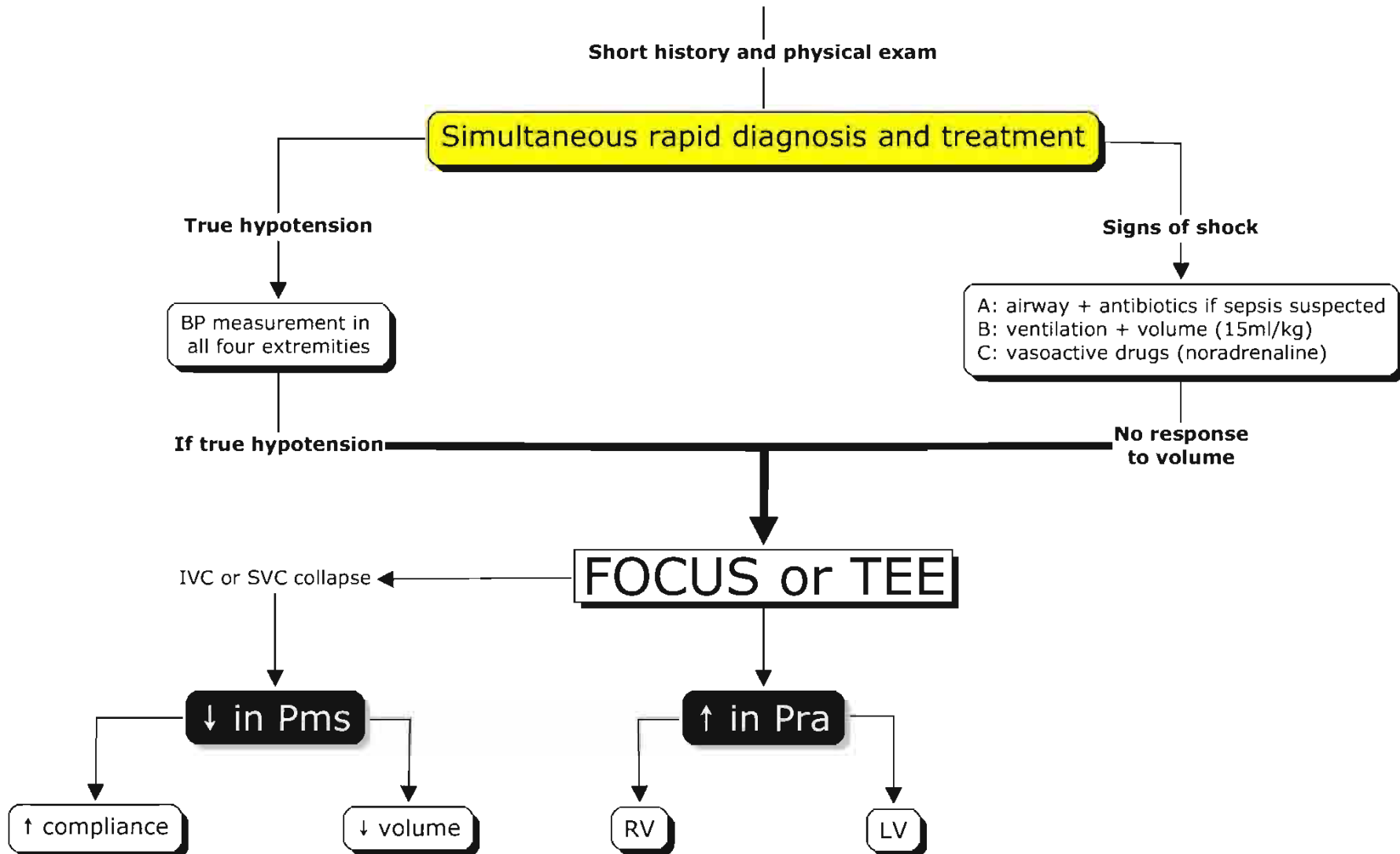


# Aspect de l'épanchement pleural



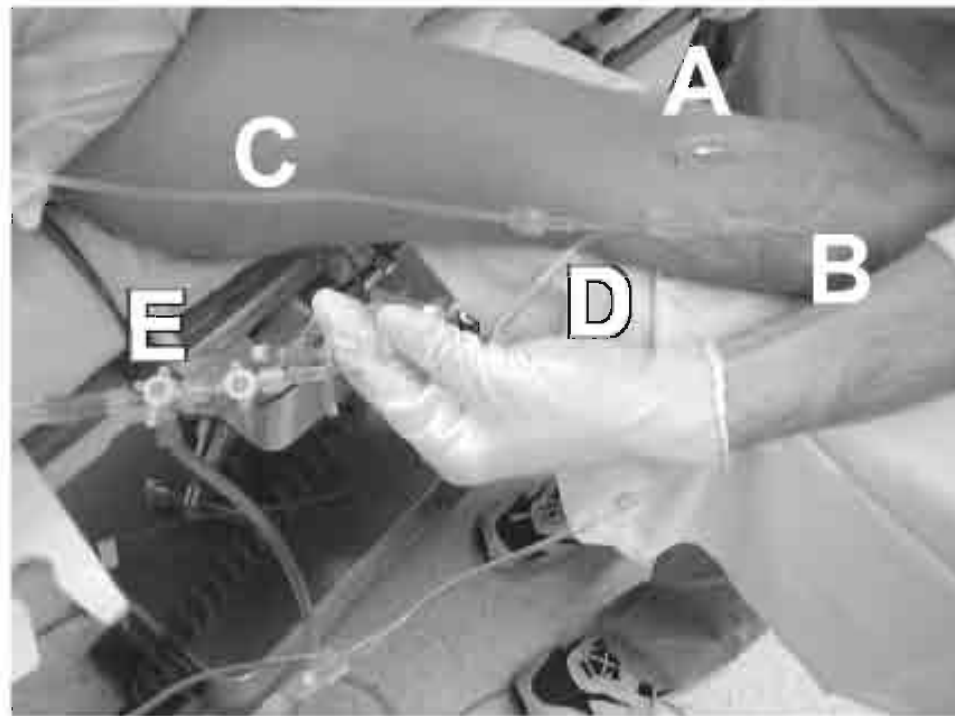
Courtoisie de Philippe Rola

# Hemodynamic instability



Roger Desjardins  
André Y. Denault  
Sylvain Bélisle  
Michel Carrier  
Denis Babin  
Sylvie Lévesque  
Raymond Martineau

## Can peripheral venous pressure be interchangeable with central venous pressure in patients undergoing cardiac surgery?

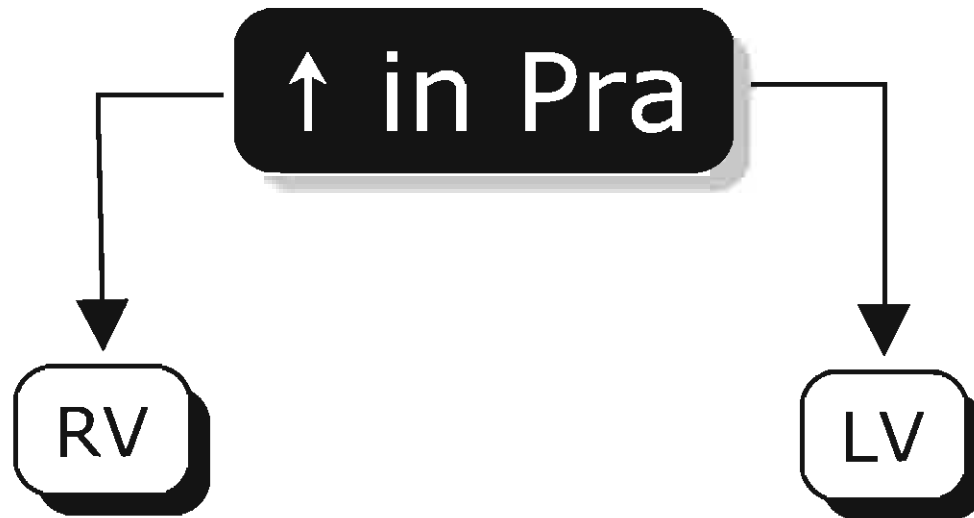






Hypoxia and hypercapnia  
Systolic dysfunction  
Diastolic dysfunction  
Outflow tract obstruction  
Pulmonary emboli

Others:  
congenital, tumor, CMP, arrhythmias



Hypoxia and hypercapnia

Systolic dysfunction

Diastolic dysfunction

Outflow tract obstruction

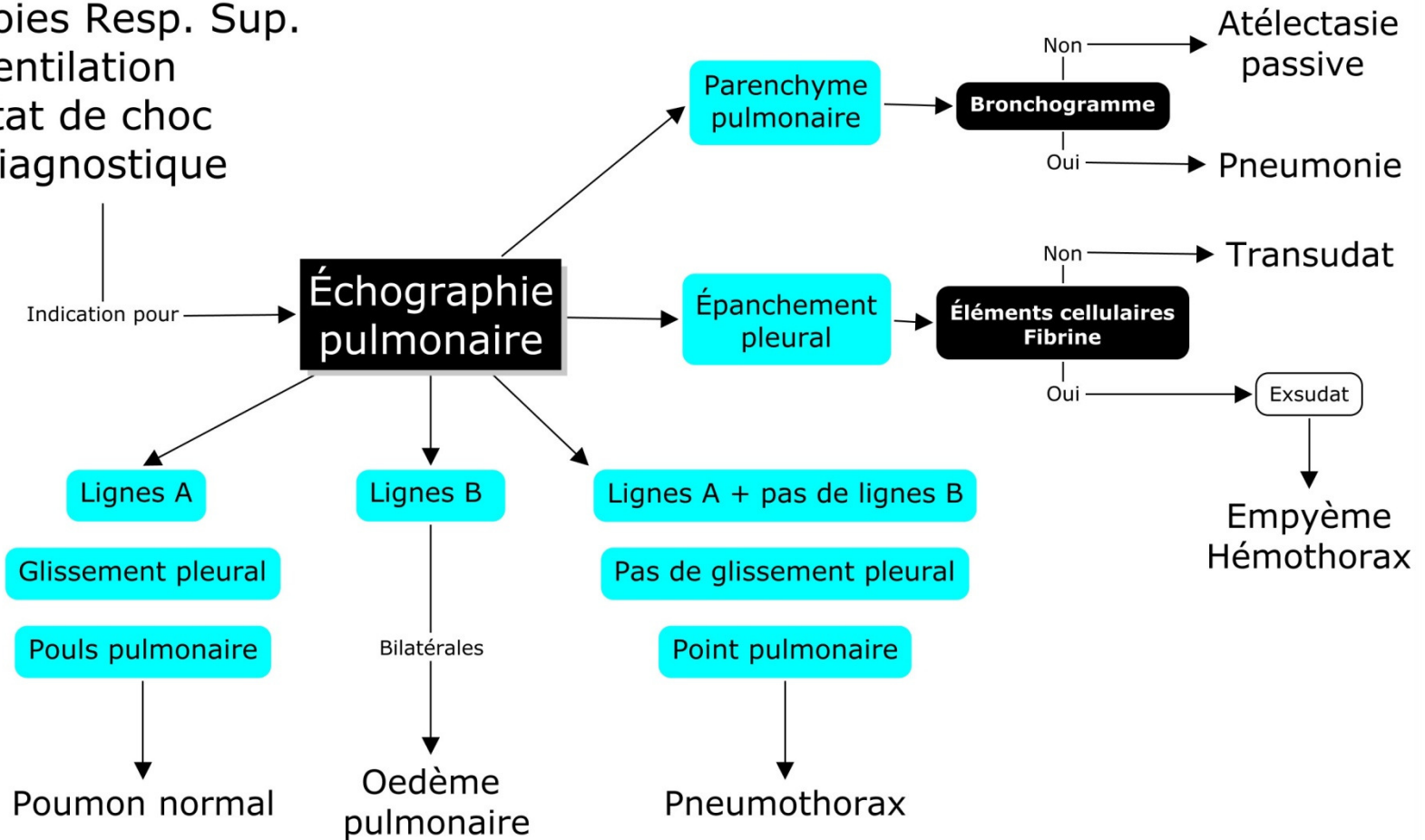
Pulmonary emboli

Others:

congenital, tumor, CMP, arrhythmias

# Notre approche

- A: Voies Resp. Sup.
- B: Ventilation
- C: État de choc
- D: Diagnostique



# Comment ai-je appris?



Dr. Daniel Lichenstein




Dr. Sylvain Bélisle



<http://www.ceurf.net>

# Ressources

Le CEURF propose des formations à l'échographie d'urgence et de réanimation à l'intention des médecins réanimateurs, anesthésistes, urgentistes, et tous autres médecins intéressés par l'apprentissage de l'échographie générale.

 [english](#)

**La petite rubrique de nuit**  
cas cliniques concrets d'échographie  
durant les dernières gardes

[Dernière petite rubrique de la nuit](#)

[Archives de la petite rubrique de nuit](#)



Pourquoi utiliser [l'échographie générale en réanimation](#)  
et à quoi cela sert ?



Tout savoir sur [les formations d'échographie](#)  
organisées par le CEURF.



Les cours sont donnés par un pionnier de l'échographie, le [Docteur Daniel Lichtenstein](#). [Qui est-ce ?](#)



Et pourquoi une [chauve-souris](#) sur votre logo ?



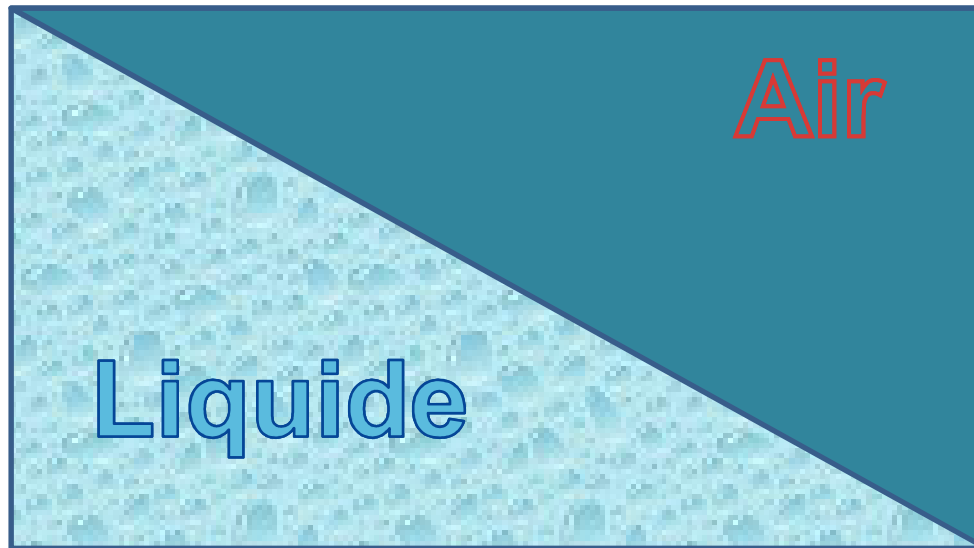
[Le blog du CEURF](#)  
(ouverture prochaine)

CEURF CERCLE DES ECHOGRAPHISTES D'URGENCE ET DE REANIMATION FRANCOPHONES

Le CEURF est une association à but non lucratif qui a pour objet de promouvoir par l'information et la formation l'usage de l'échographie générale appliquée à la réanimation et à l'urgence.



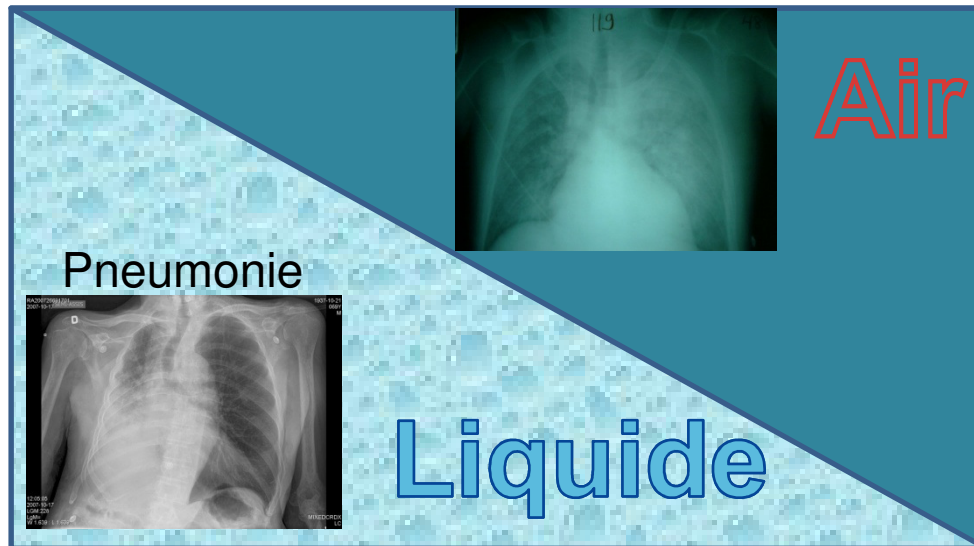
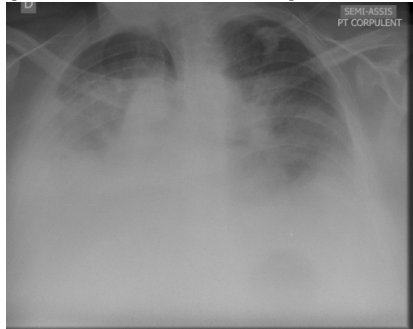
# Contenu pulmonaire



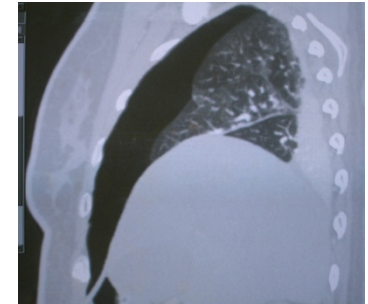
# Contenu pulmonaire

Syndrome interstitiel

Épanchement pleural



Pneumothorax



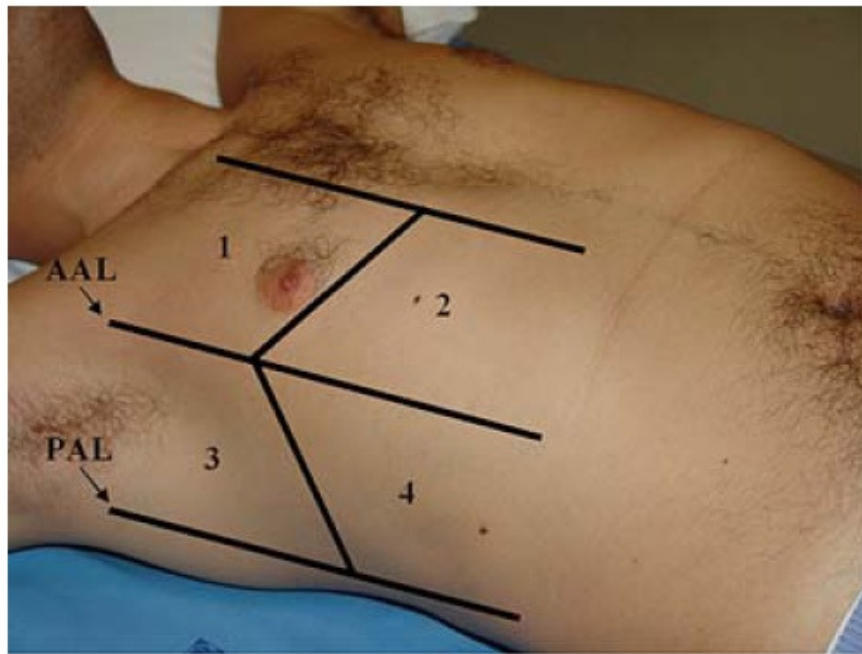
# Échographie pulmonaire: approche

- 1- Sonde linéaire + phasique (3.5-10 MHz)
- 2- Gain bas-moderé
- 3- 5-8 cm de profondeur
- 4- Scan longitudinal du poumon  
(4 à 6 regions/poumon)
- 5- Examen complémentaire  
(analyse veineuse, cardiaque etc)



# Échographie pulmonaire: approche

Régions antérieures (1-2): pneumothorax (98%)  
syndrome interstitiel



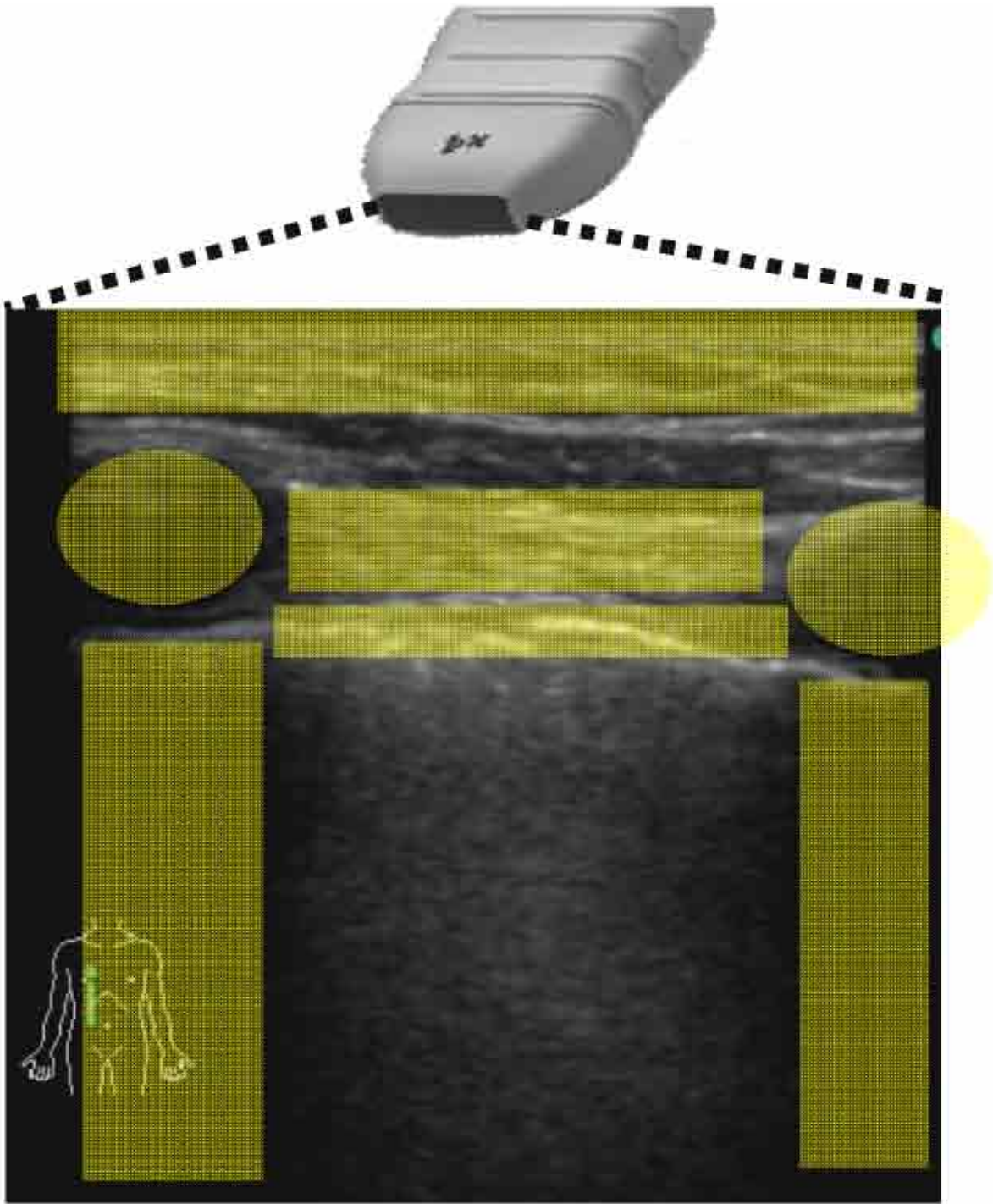
Régions latérales (3-4): épanchements pleuraux  
consolidations: atélectasie ou pneumonie  
fonction diaphragmatique (nerf phrénique)

# Nomenclature: “sliding lung” ou glissement pleural

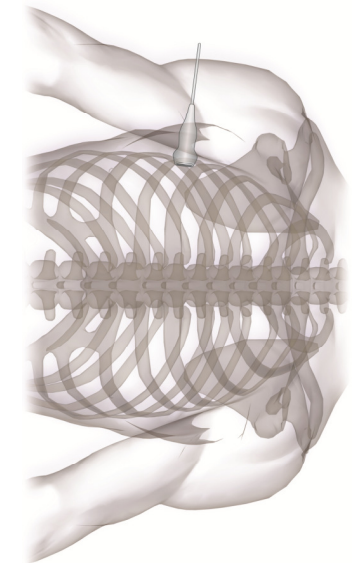
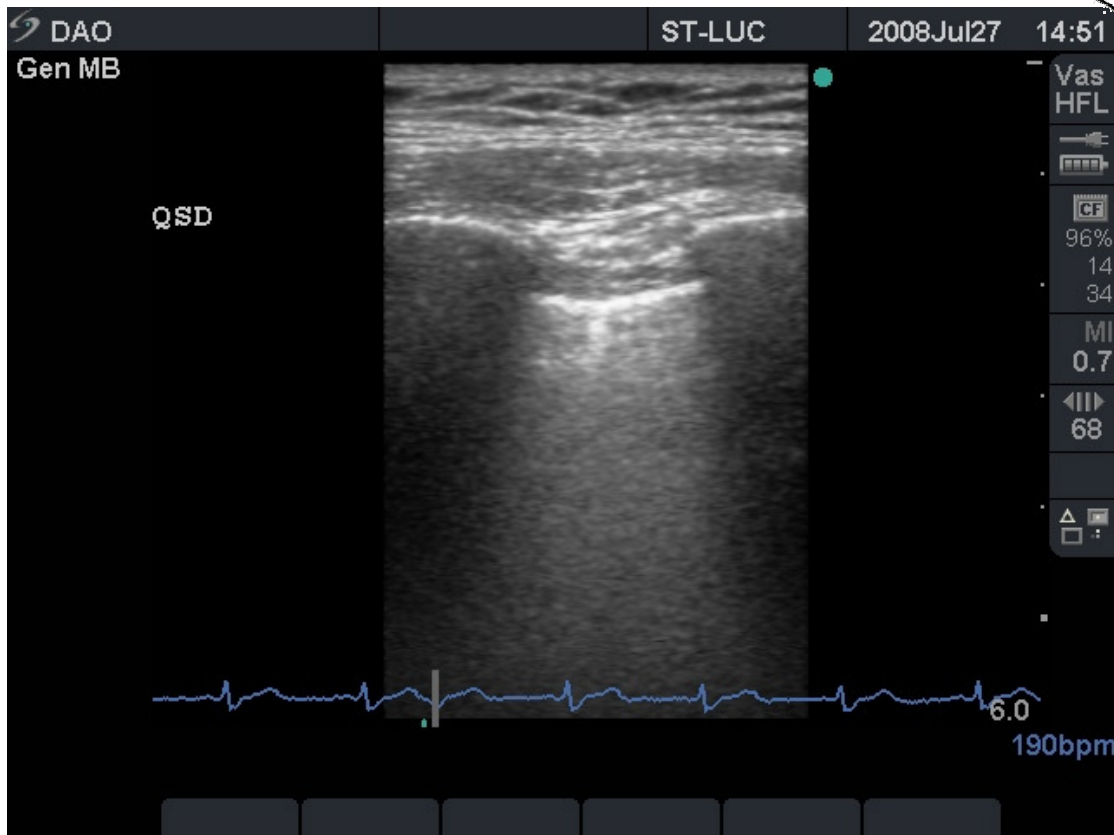
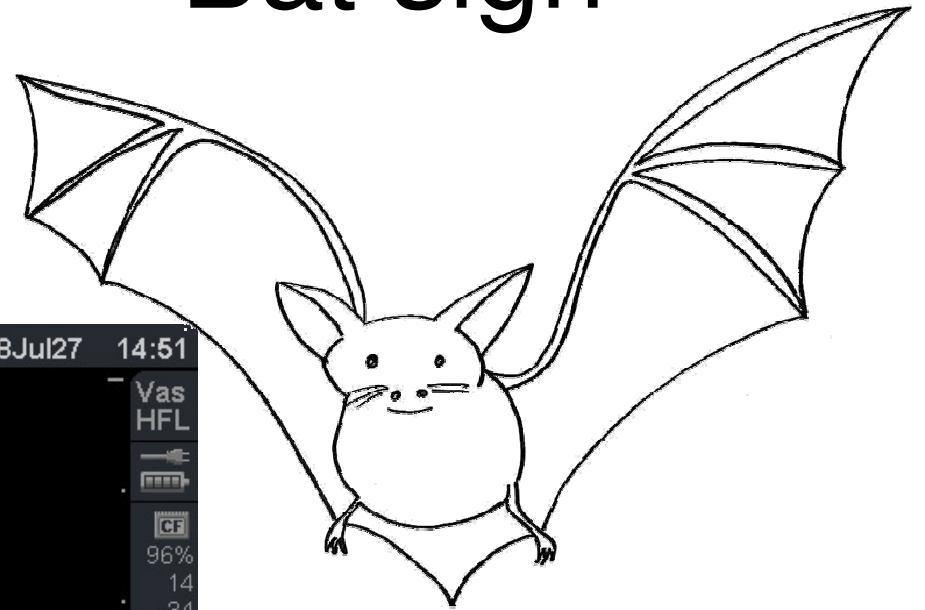
- Mouvement horizontal de la ligne pleurale
- 5 mm sous la partie inférieure des côtes
- Hyperéchoïque (blanc)
- Bouge avec la respiration
- Amplitude maximale à la base pulmonaire
- Corresponds au mouvement de la plèvre viscérale sur la plèvre pariétale

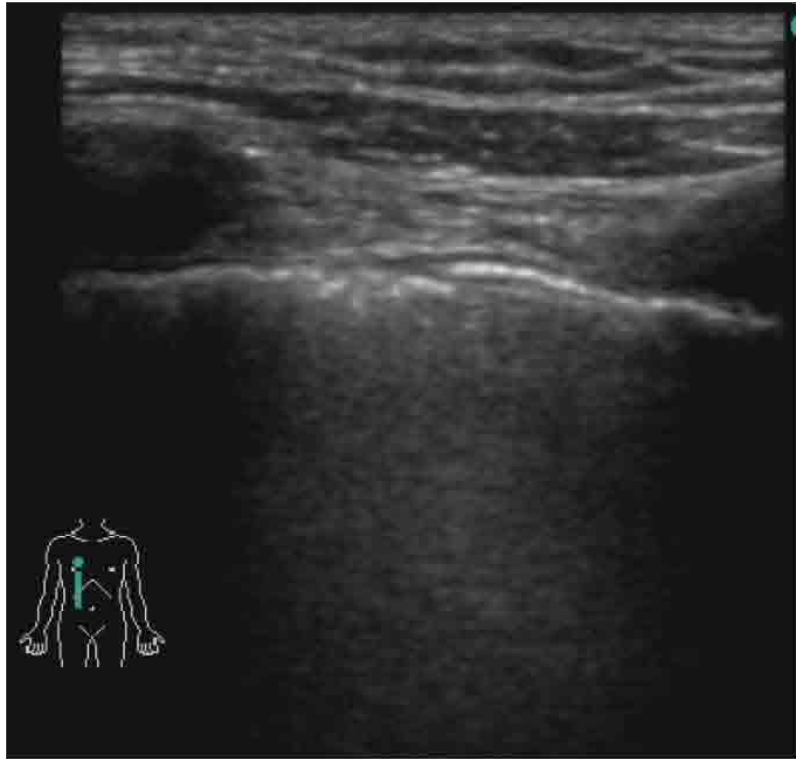






# Ligne pleurale = “Bat sign”





# Nomenclature: lignes A

- Lignes horizontales
- Lignes hyperéchoïque qui originent de la ligne pleurale
- Les lignes sont parallèles et à une distance identique à la distance entre la sonde d'écho et la ligne pleurale
- Les lignes se répètent plusieurs fois  
= réverbérations de la ligne pleurale



DAO  
Gen MB

ST-LUC

2008Jul27 14:51

QSD



Vas  
HFL



96%

14

34

MI

0.7

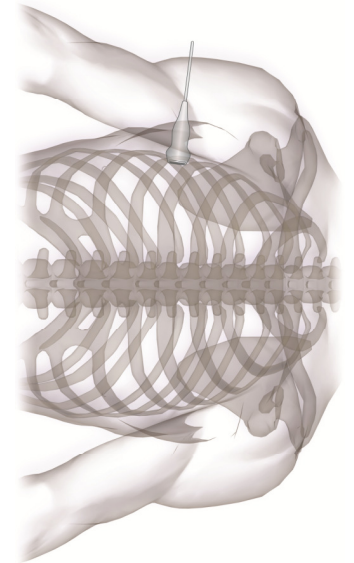
68



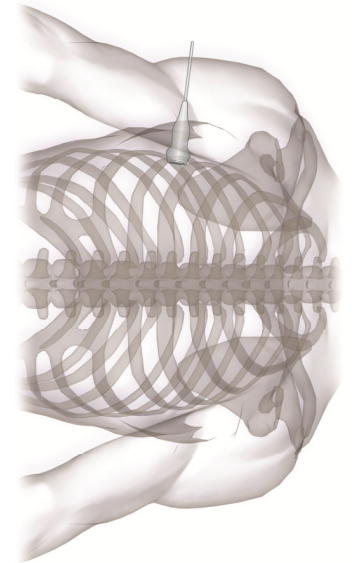
6.0

190bpm

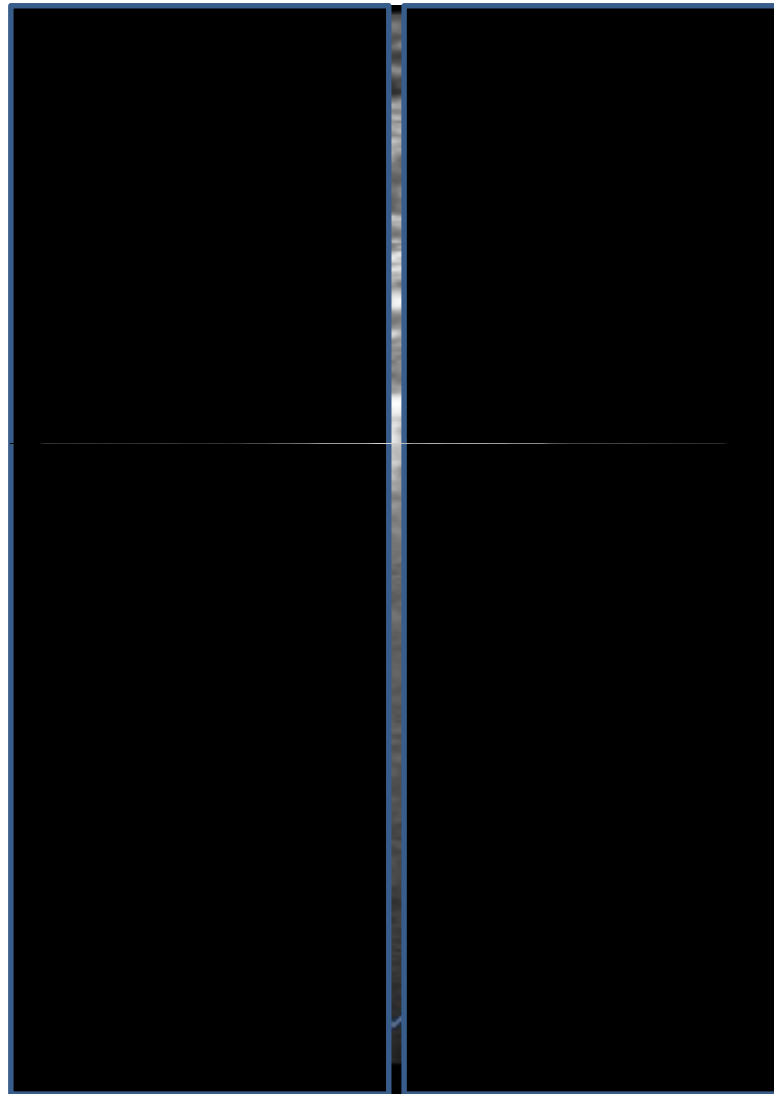
# Glissement pleural ou sliding tur

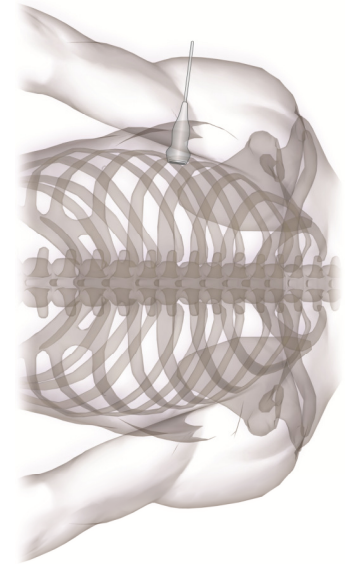
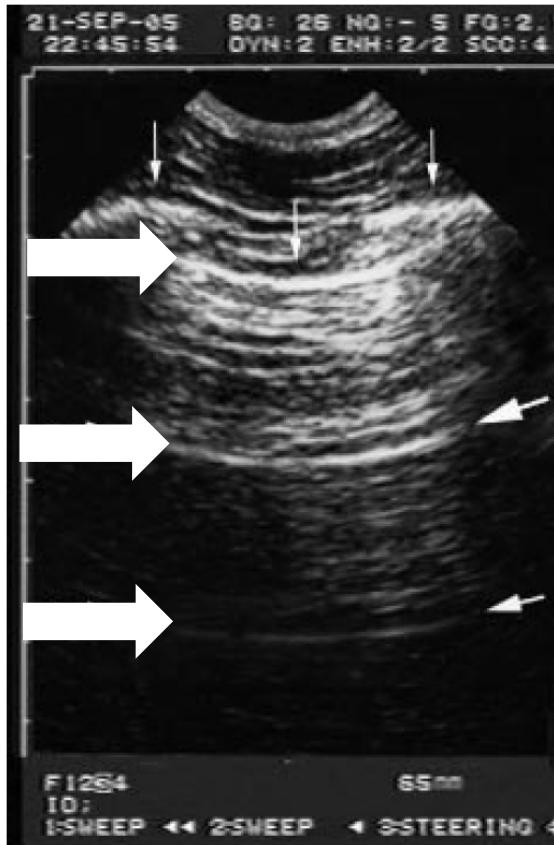


# Glissement pleural ou sliding lur



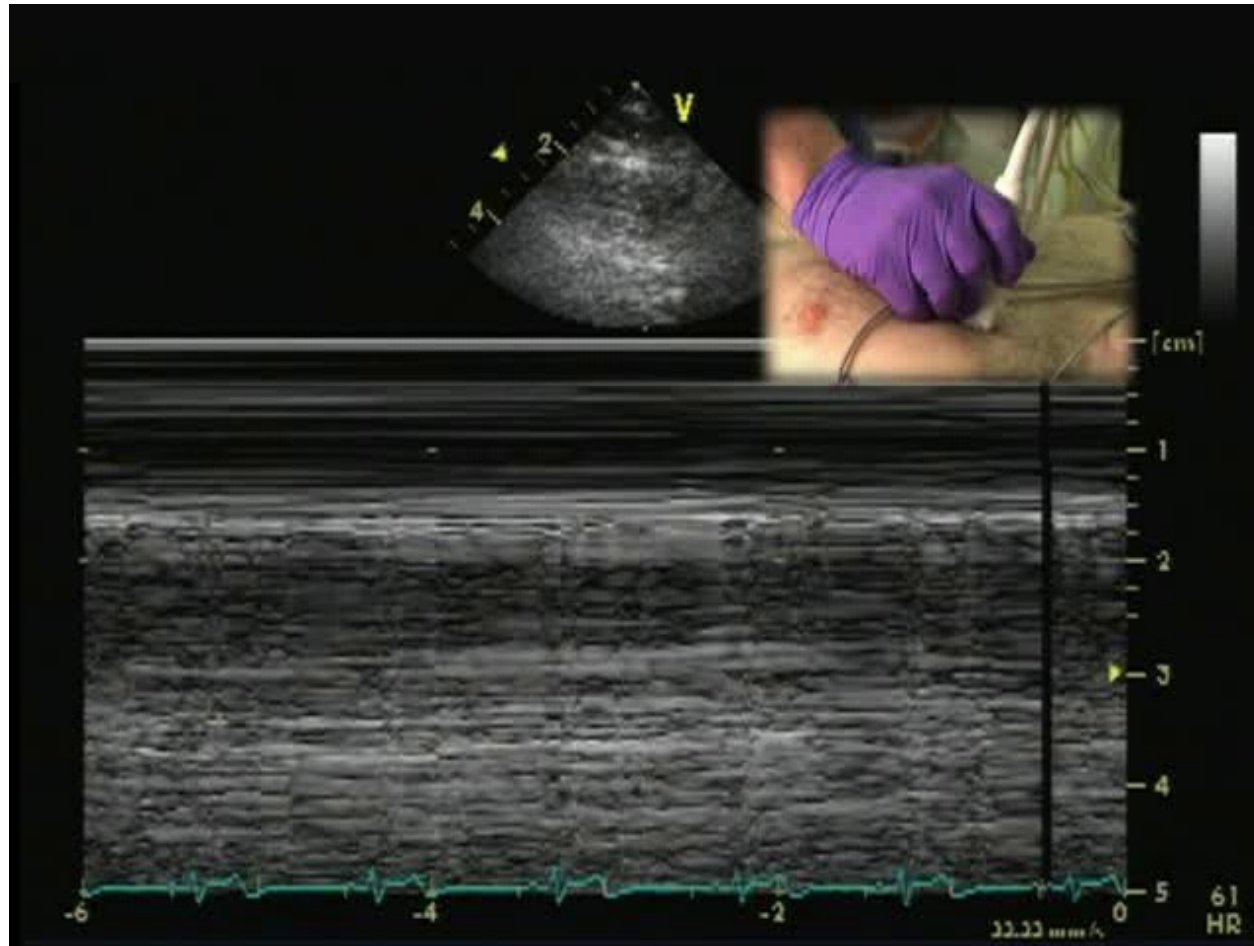
# Mode 2D et mode M



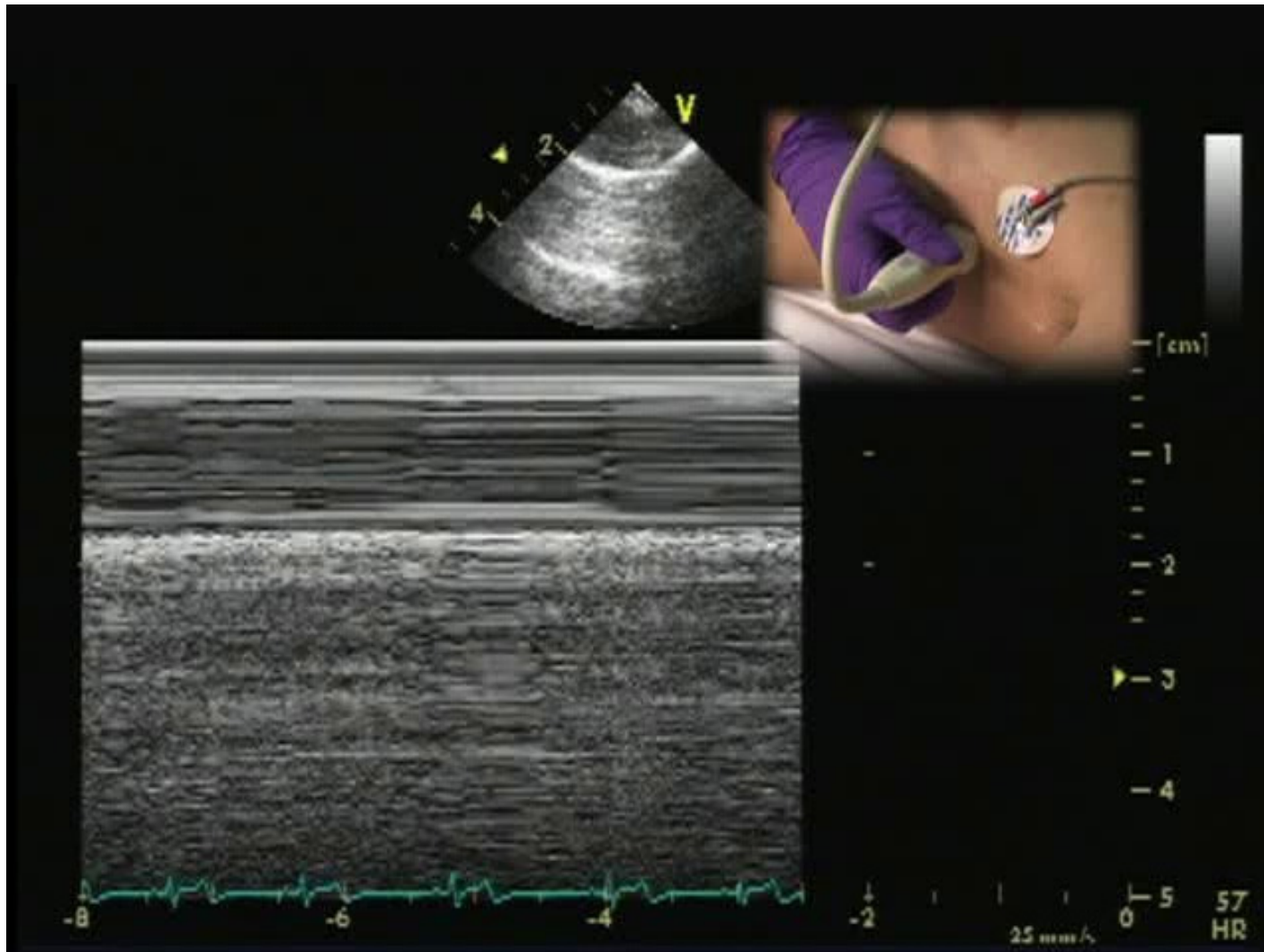


Lignes A = artéfacts horizontaux répétitifs  
qui originent de la ligne pleurale  
En mode M cet artéfact génère un aspect sablonneux.  
Ceci se nomme le “*seashore sign*” ou la plage de sable

# Mode M

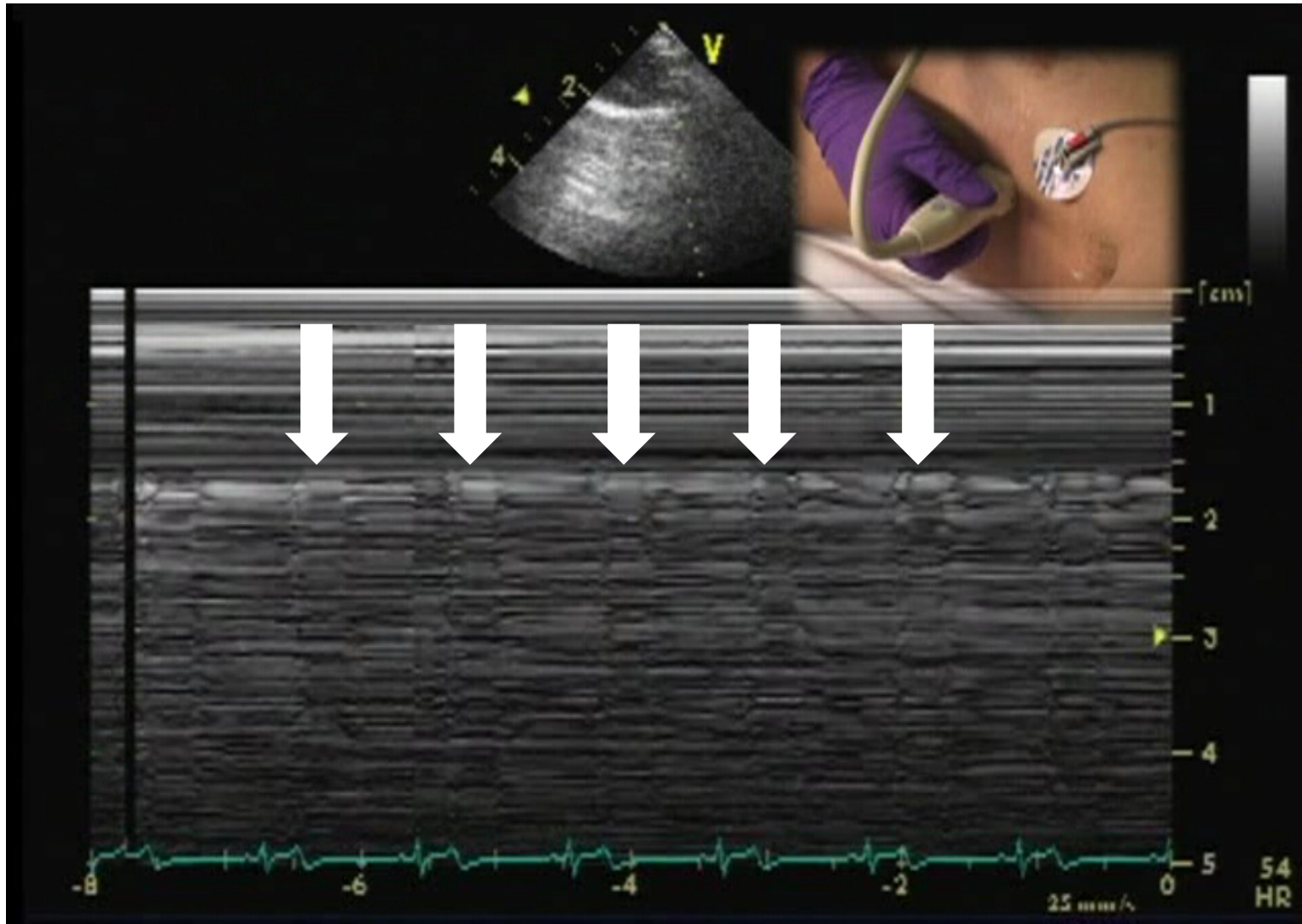


En apnée: pulsations cardiaques  
= “lung pulse” ou pouls pulmonaire



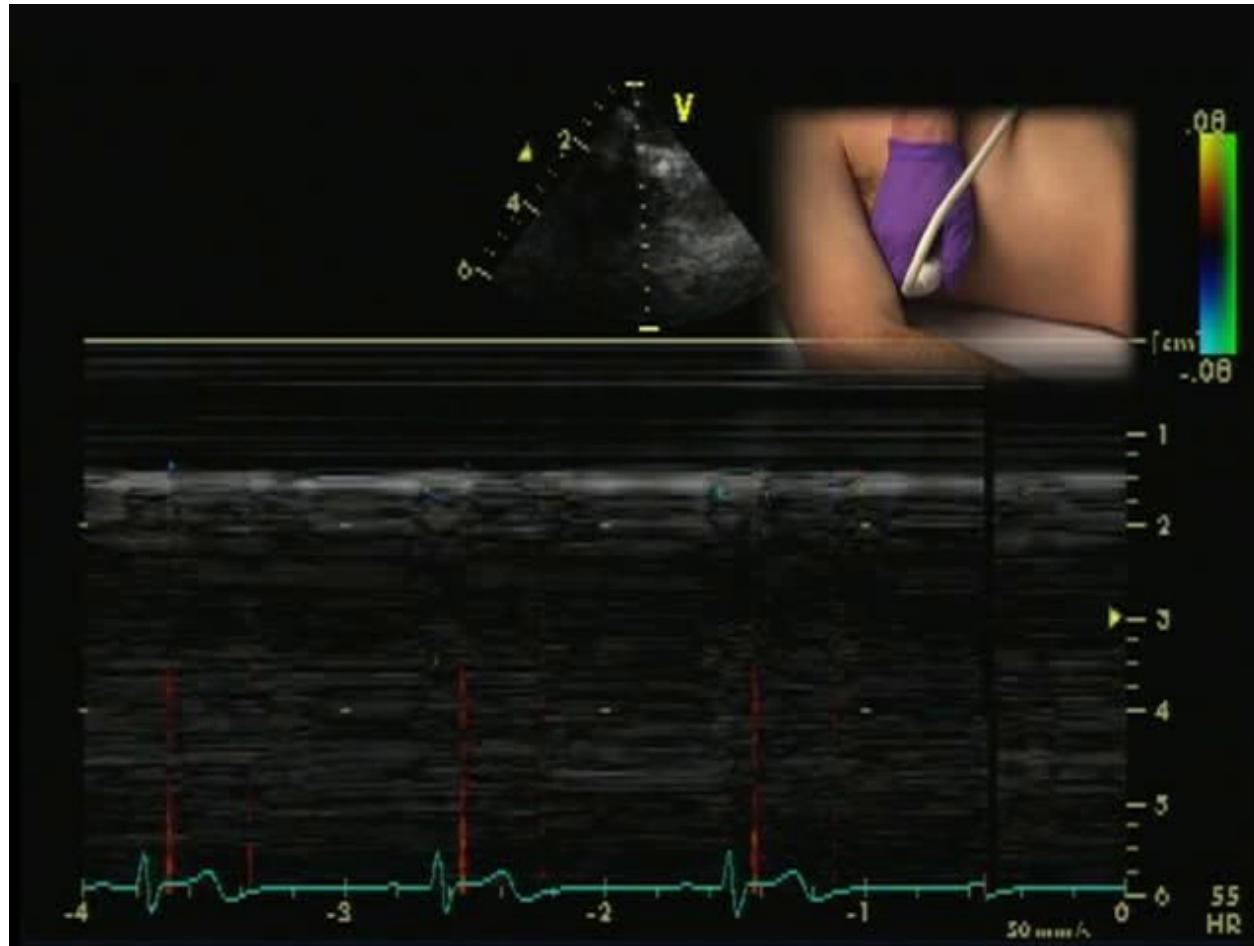


# Mode M: battements cardiaques





# Mode M et + Doppler couleur: pouls pulmonaire



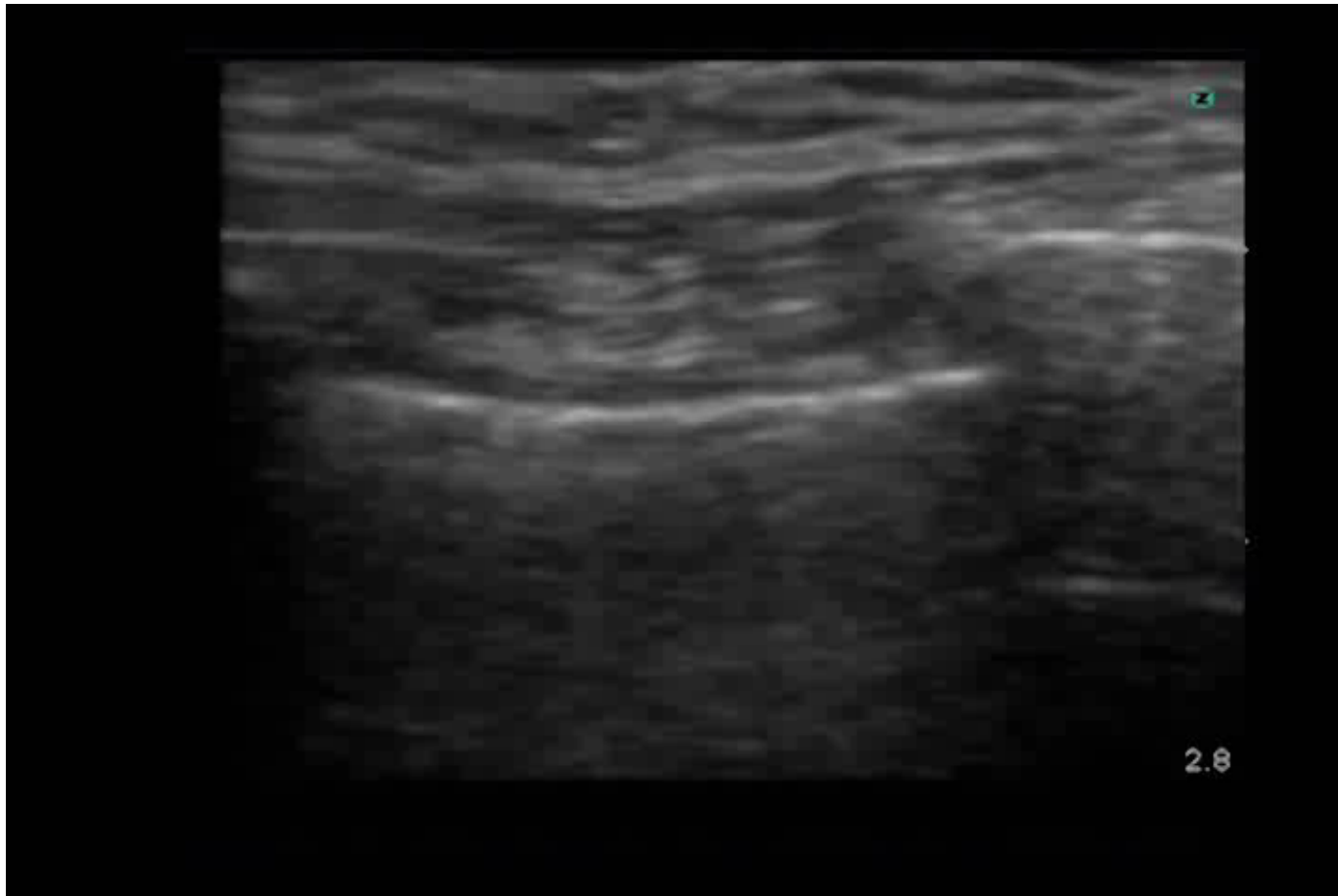
♀ de 68 ans: désaturation et hypotension post-intubation

- Absence ou faible murmure vésiculaire à droite.
- Diagnostique différentiel?

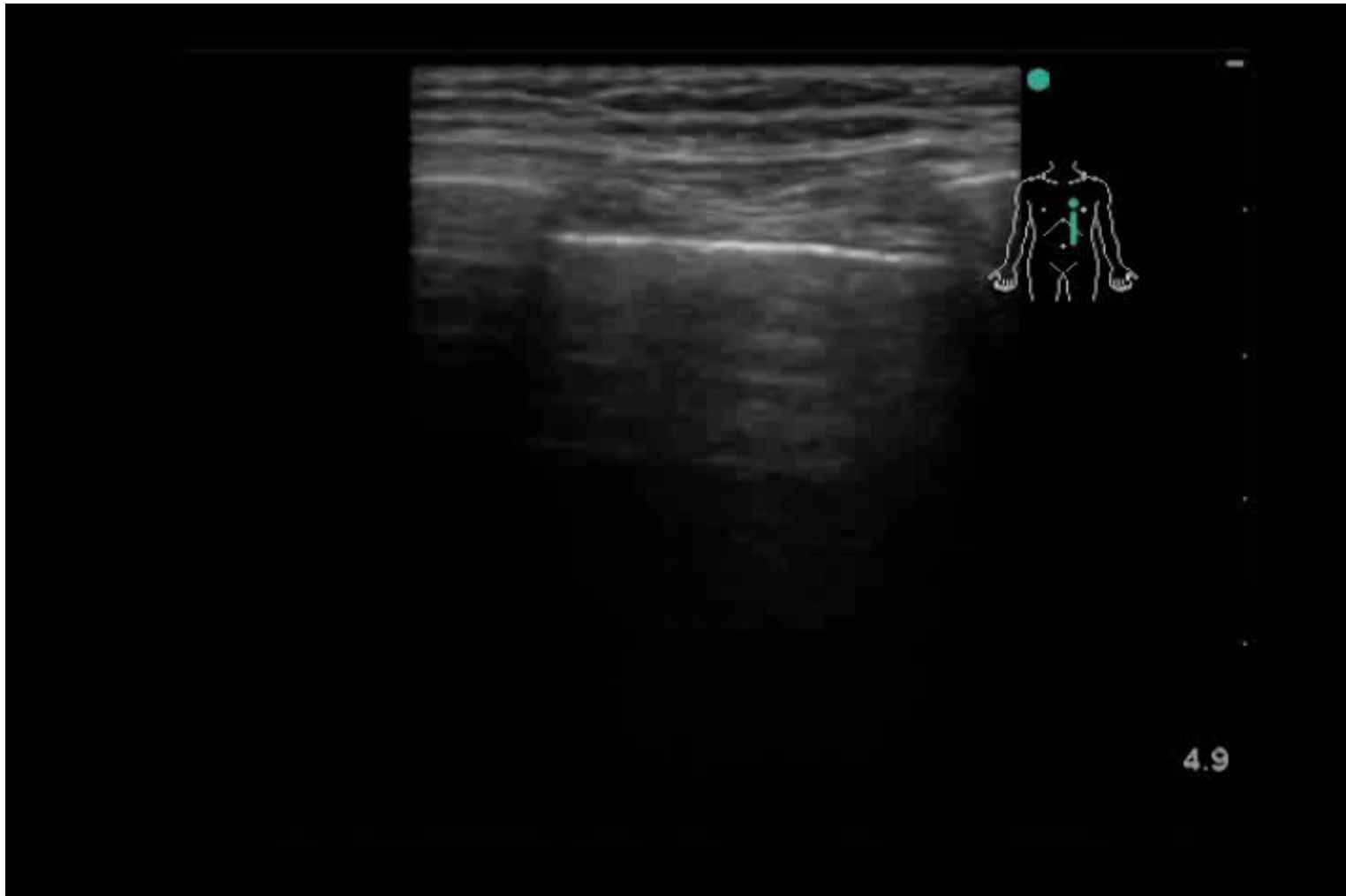
# Désaturation soudaine post-intubation: poumon droit



Désaturation soudaine  
post-intubation: poumon droit  
ZOOM

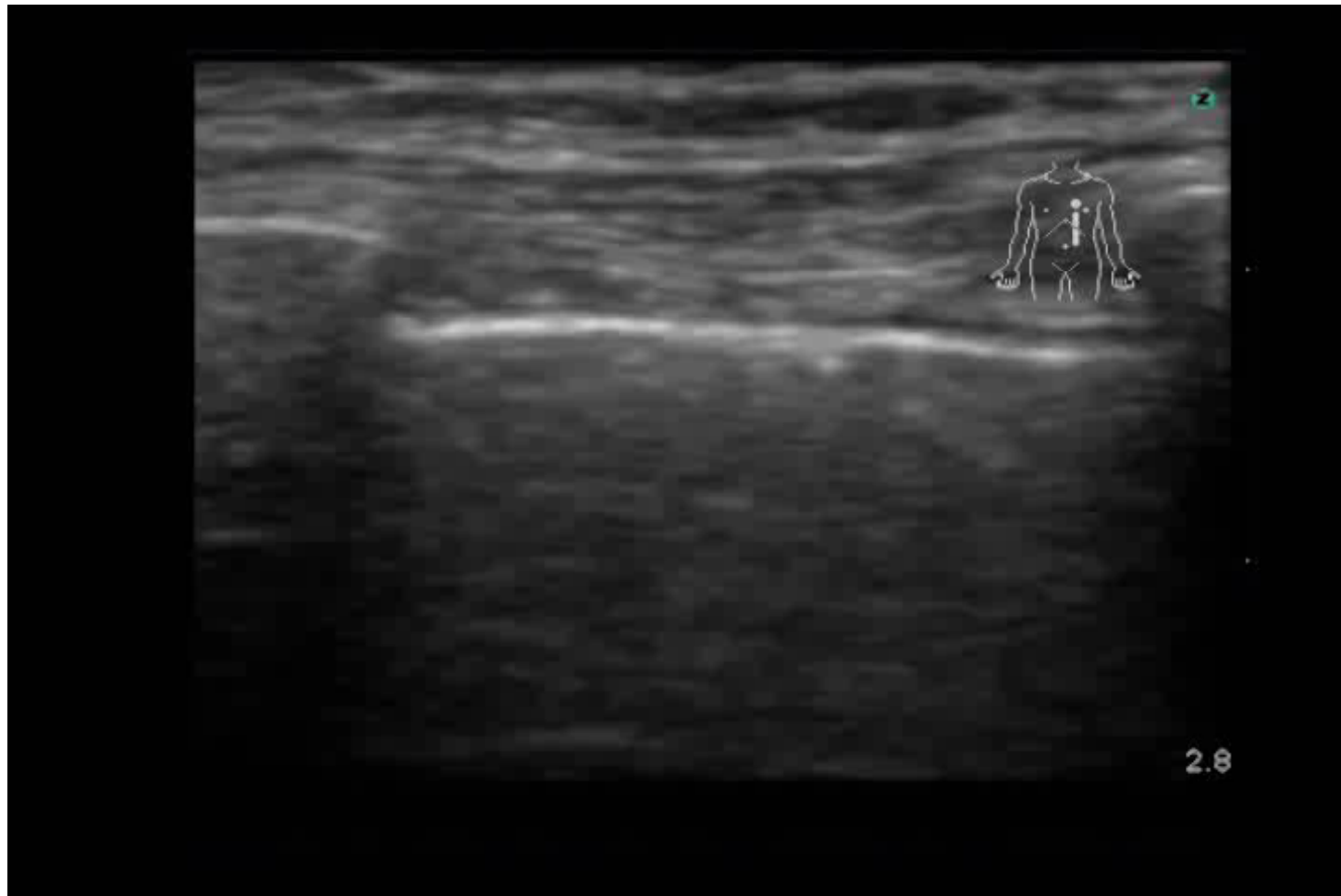


# Désaturation soudaine post-intubation: poumon gauche

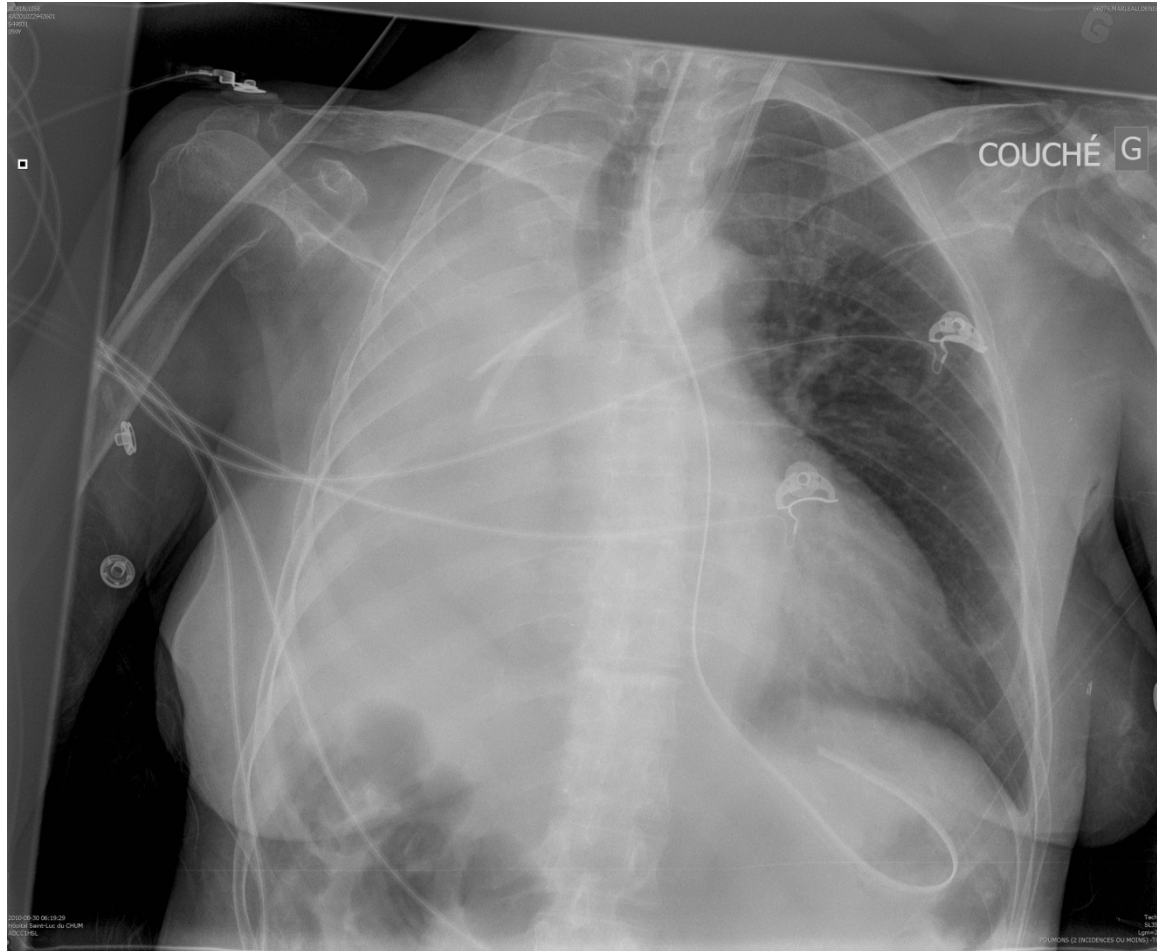


# Désaturation soudaine post-intubation: poumon gauche

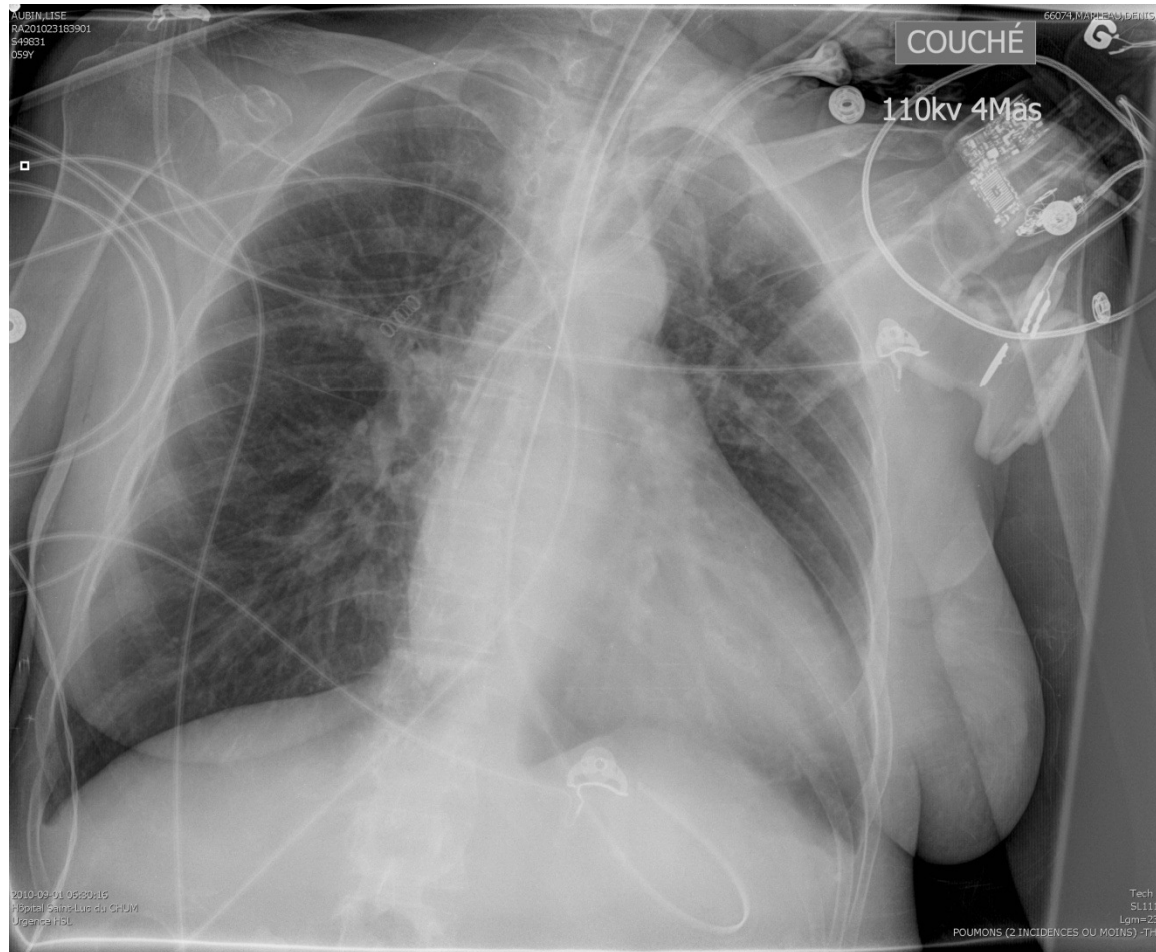
## ZOOM



# Pré-bronchoscopie



# Post-bronchoscopie

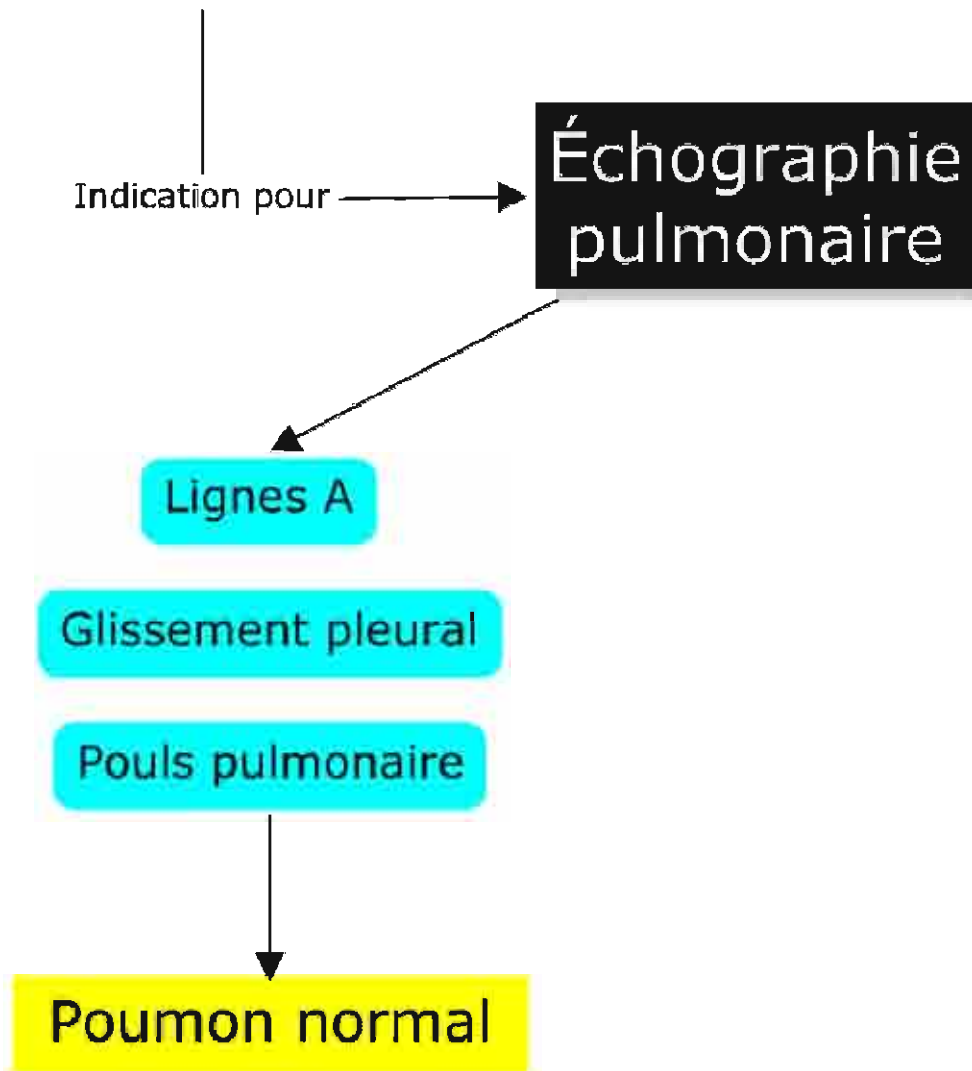




# A: prise en charge des VRS

- Intubation endobronchique droite:
    - Glissement pleural à droite seulement
    - Pas de glissement pleural à gauche
    - Pulsation pulmonaire cardiaques à gauche en qq secondes
    - Mouvement diaphragmatique exagéré à droite
- Pouls pulmonaire a une sensibilité de 90% pour le diagnostique de l'intubation endobronchique

- A: Voies Resp. Sup.
- B: Ventilation
- C: État de choc
- D: Diagnostique



# Nomenclature: lignes B ou queues de comètes

- Lignes verticales
- Lignes hyperéchoïque qui originent de la ligne pleurale
- Les lignes sont perpendiculaires à la ligne pleurale
- Les lignes effacent les lignes A
- Normal d'en avoir 1 en région antérieure et 33% de patients en ont dans les régions dépendantes = réverbérations de l'oedème alvéolaire ou interstitiel (lignes de Kerley B)

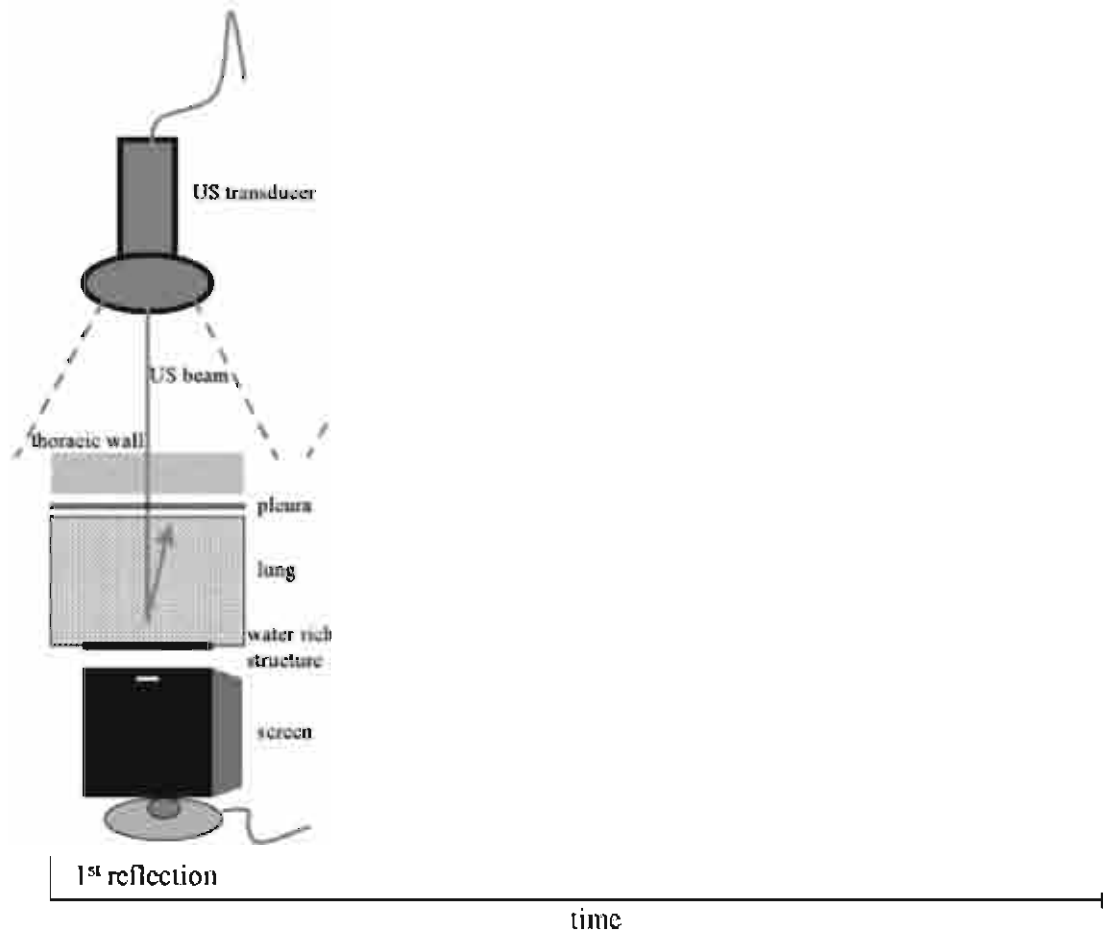
Emerg Radiol

DOI 10.1007/s10140-008-0701-x

# Usefulness of lung ultrasound in the bedside distinction between pulmonary edema and exacerbation of COPD

Giovanni Volpicelli • Luciano Cardinale •

Giorgio Garofalo • Andrea Veltri



# Early detection of acute lung injury uncoupled to hypoxemia in pigs using ultrasound lung comets\*

Luna Gargani, MD; Vincenzo Lionetti, MD; Claudio Di Cristofano, MD; Generoso Bevilacqua, MD, PhD; Fabio A. Recchia, MD, PhD; Eugenio Picano, MD, PhD, FESC

Black Lung  
(ULCs=0-5)

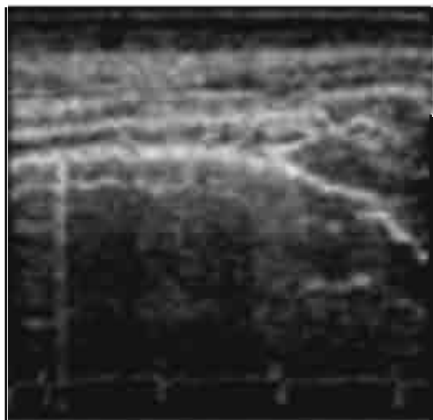
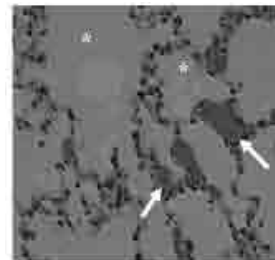
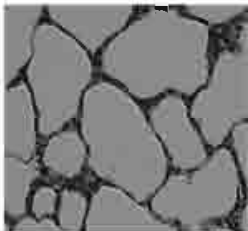


Figure 3. Different chest sonography patterns. *ULCs*, ultrasound lung comets.

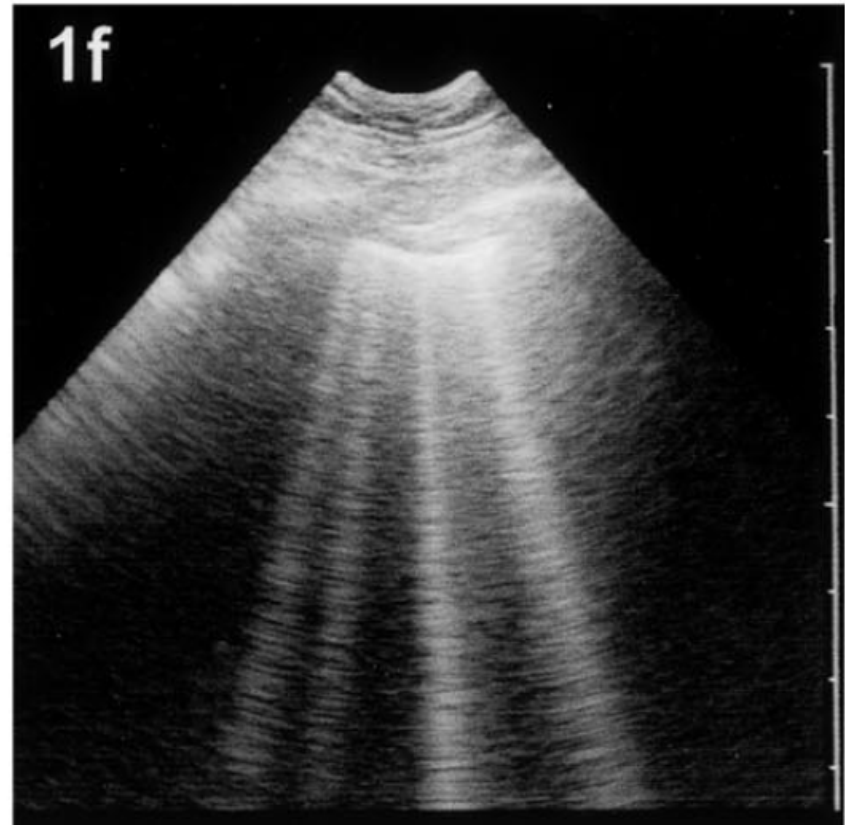
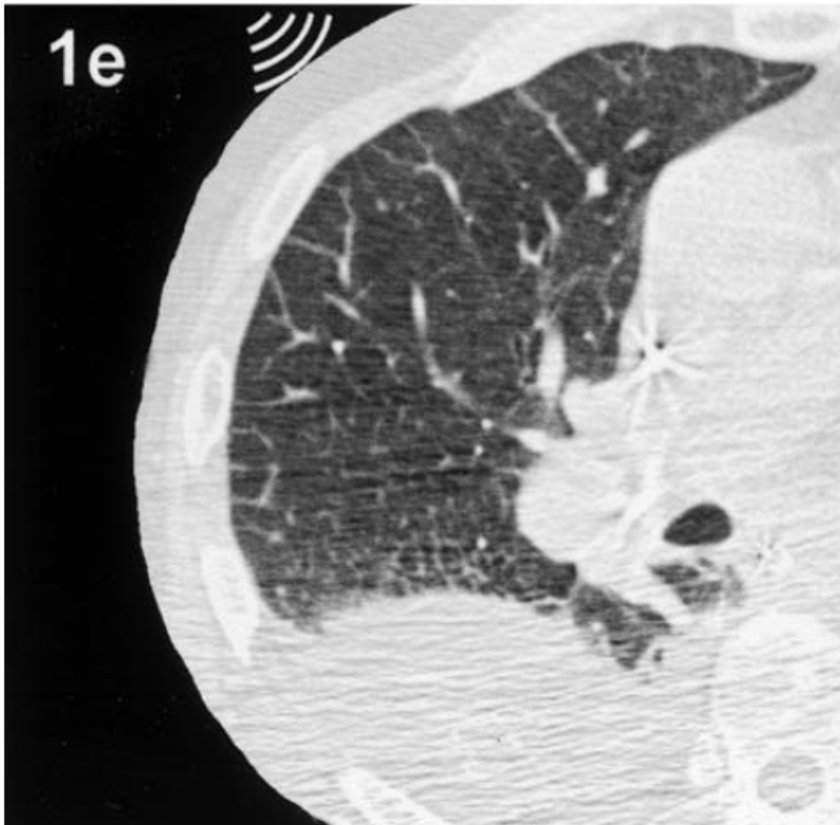


(Crit Care Med 2007; 35:2769–2774)

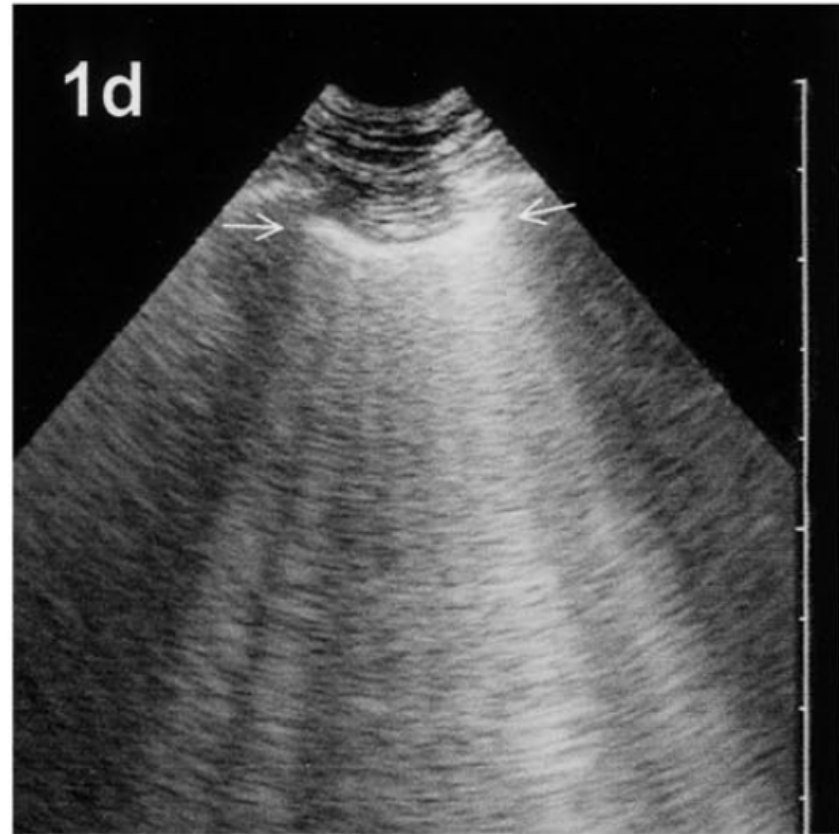
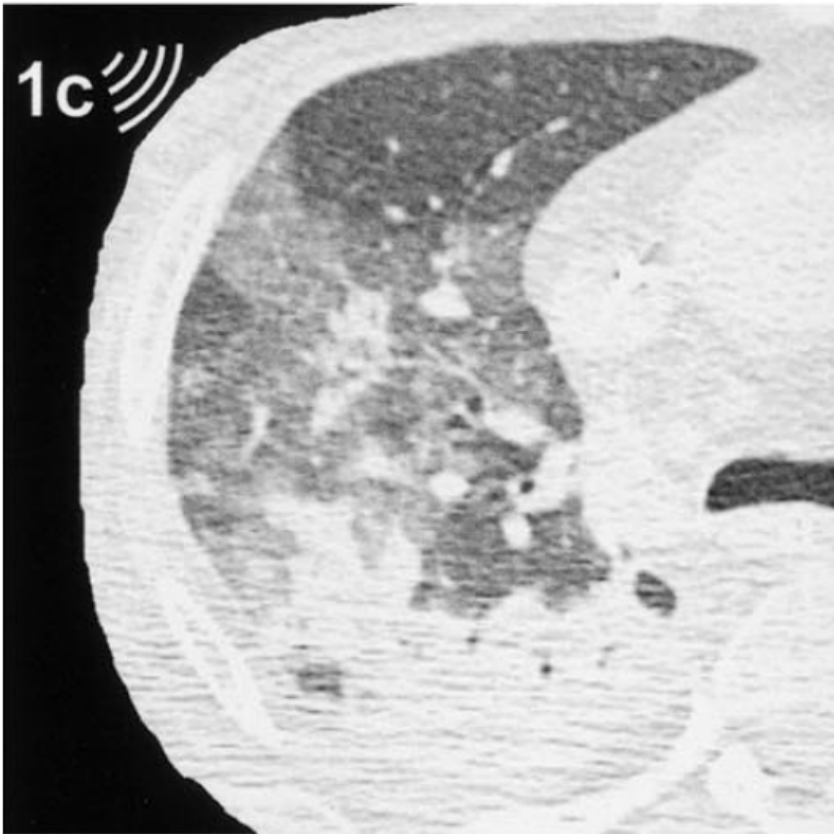
# Syndrome alvéolo-interstitiel (OAP, ARDS, maladie interstitielle)

- Présence de  $> 2$  lignes B dans une région
- Équivalent aux lignes B de Kerley
- Types:
  - 7 $\pm$ 1 mm entre les lignes: oedème interstitiel
  - $< 3$  mm entre les lignes: oedème alvéolaire

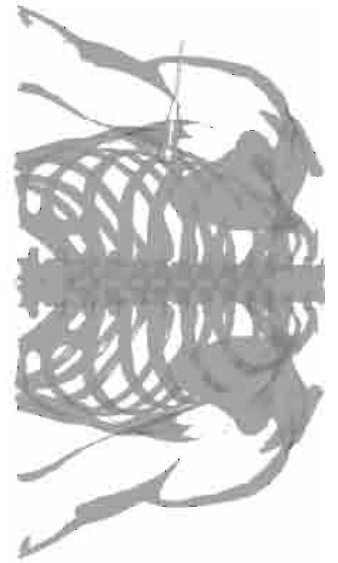
# Oedème pulmonaire: $7 \pm 1$ mm entre les lignes B



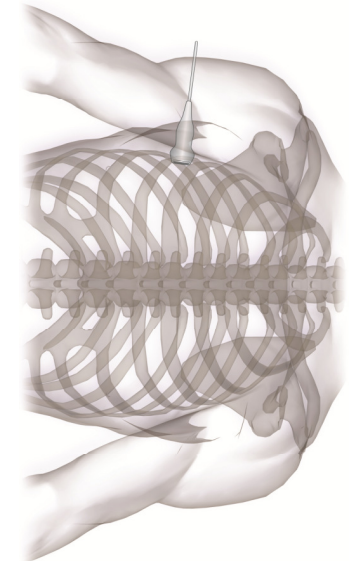
# Oedème pulmonaire: 3 mm entre les lignes B

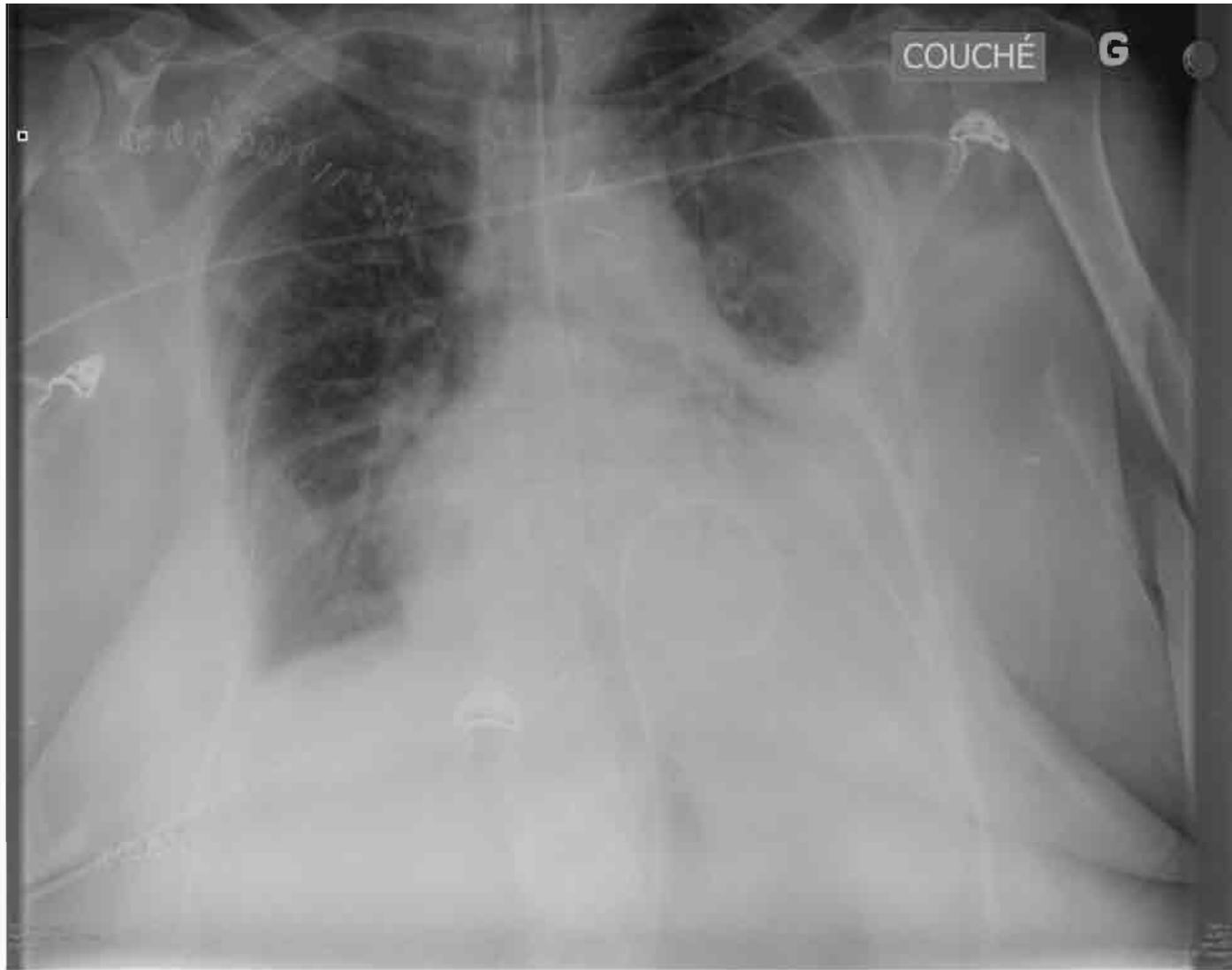






Oedème pulmonaire: lignes B bilatérales  
Thorax antérieure: RX poumons?





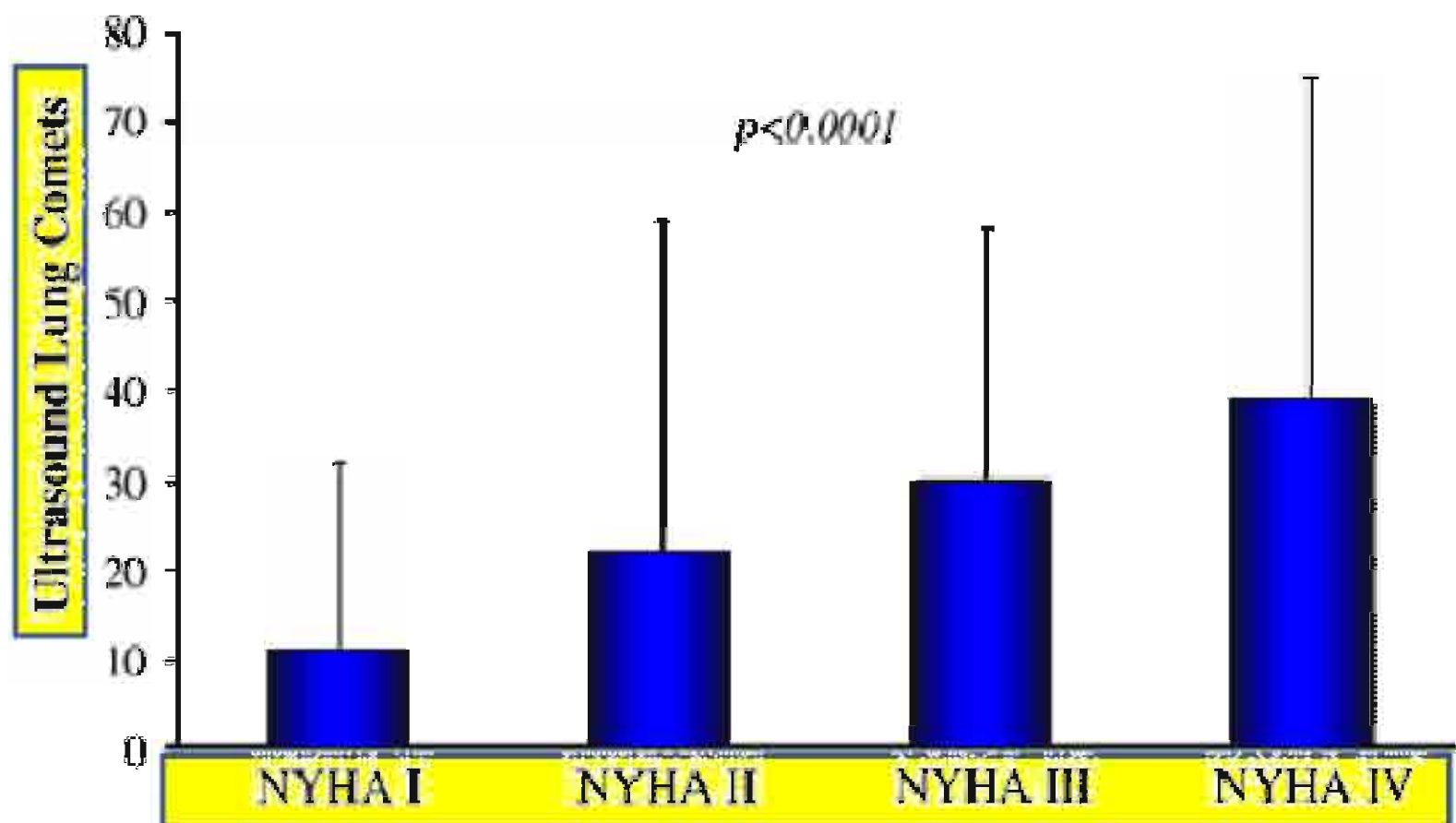
# Utilités des lignes B

- Diagnostique de l'oedème pulmonaire
  - Thérapie: lasix ou dialyse
- Corrélation avec le NYHA et la fonction cardiaque systolique et diastolique
- Corrélation avec le BNP et le “wedge”
- Valeur pronostique en survie
- Diminuent après la dialyse

# Clinical and echocardiographic determinants of ultrasound lung comets<sup>☆</sup>

Eur J Echocardiography (2007) 8, 474–479

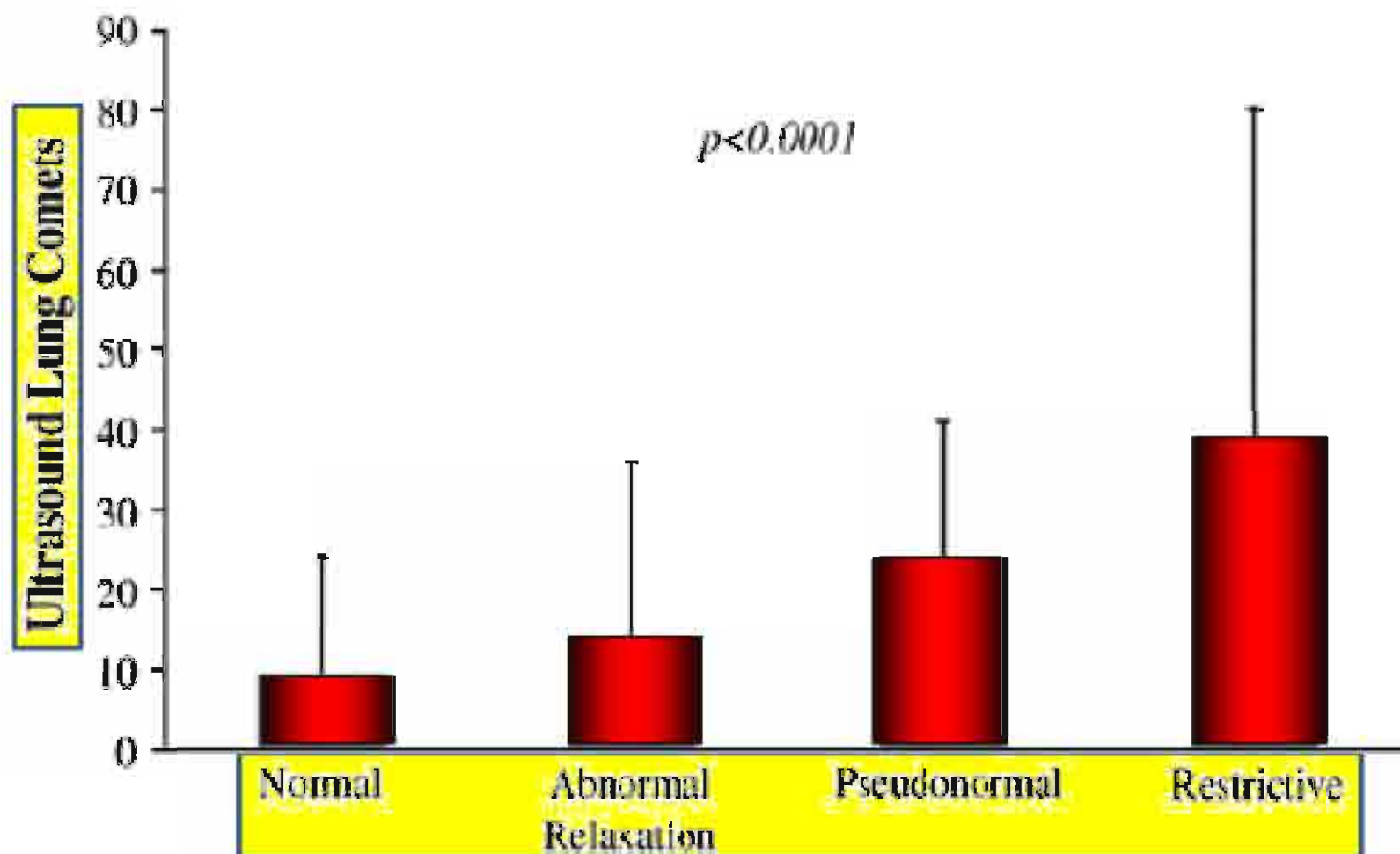
Francesca Frassi<sup>a,c</sup>, Luna Gargani<sup>a,c</sup>, Suzana Gligorova<sup>b,c,d</sup>,  
Quirino Ciampi<sup>a,c,e</sup>, Gaetano Mottola<sup>b,c</sup>, Eugenio Picano<sup>a,\*,c</sup>



# Clinical and echocardiographic determinants of ultrasound lung comets<sup>☆</sup>

Eur J Echocardiography (2007) 8, 474–479

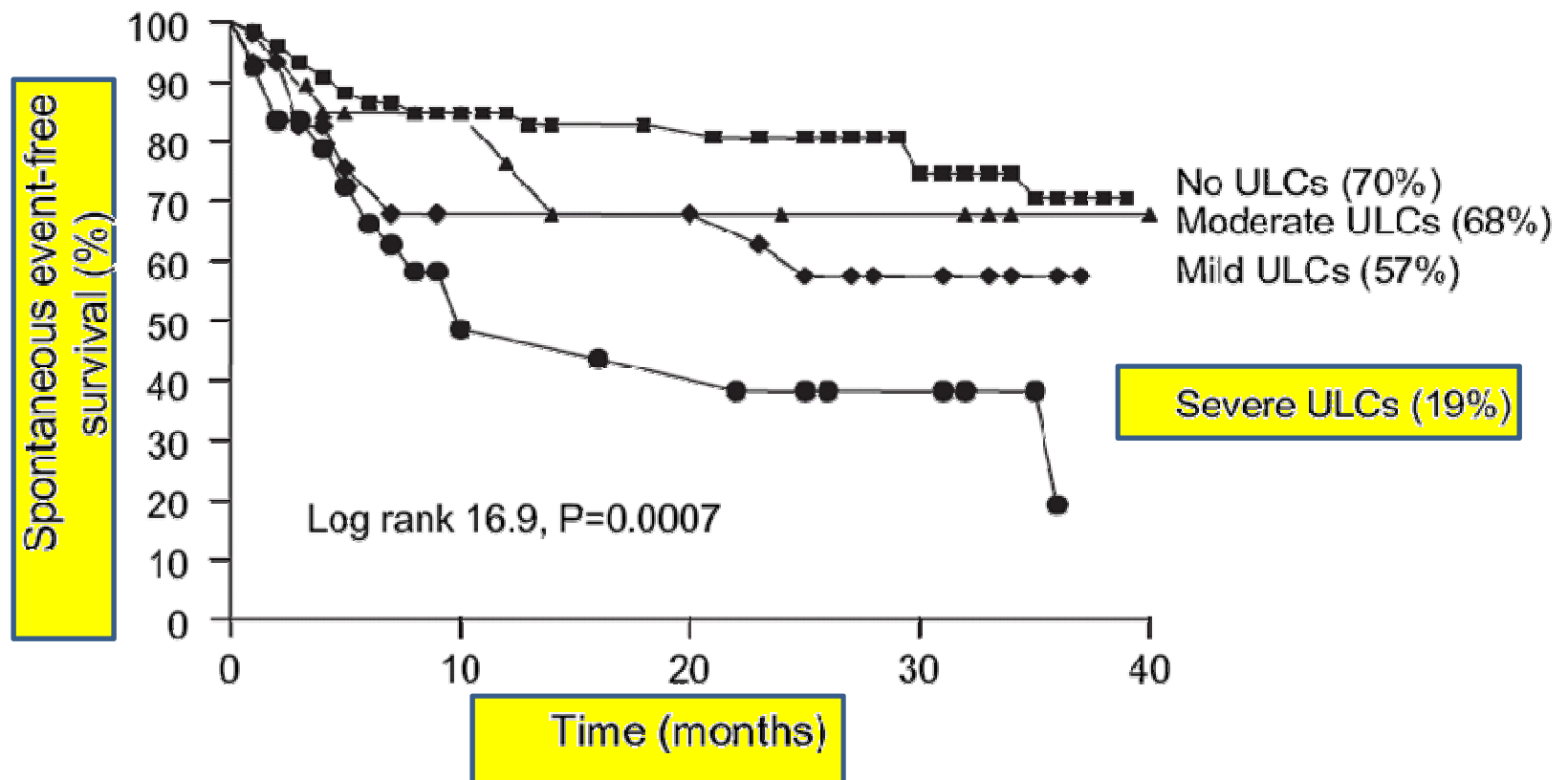
Francesca Frassi<sup>a,c</sup>, Luna Gargani<sup>a,c</sup>, Suzana Gligorova<sup>b,c,d</sup>,  
Quirino Ciampi<sup>a,c,e</sup>, Gaetano Mottola<sup>b,c</sup>, Eugenio Picano<sup>a,\*,c</sup>



# Prognostic Value of Extravascular Lung Water Assessed With Ultrasound Lung Comets by Chest Sonography in Patients With Dyspnea and/or Chest Pain

Journal of Cardiac Failure Vol. 13 No. 10 2007

FRANCESCA FRASSI, MD,<sup>1</sup> LUNA GARGANI, MD,<sup>1</sup> PAOLA TESORIO, MD,<sup>2</sup> MAURO RACITI, BSc,<sup>1</sup> GAETANO MOTTOLA, MD,<sup>2</sup> AND EUGENIO PICANO, MD, PhD<sup>1</sup>



N=290

# Ultrasound lung comets for the differential diagnosis of acute cardiogenic dyspnoea: A comparison with natriuretic peptides<sup>☆</sup>

European Journal of Heart Failure 10 (2008) 70–77

L. Gargani<sup>a,\*</sup>, F. Frassi<sup>a</sup>, G. Soldati<sup>b</sup>, P. Tesorio<sup>c</sup>, M. Gheorghide<sup>d</sup>, E. Picano<sup>a</sup>

## Diagnostic accuracy of a cardiac etiology

	Sensitivity	Specificity
NT-proBNP 298 ng/L	97%	92.6%
ULCs $\geq 9$ (total)	73%	100%
ULCs $\geq 20$ (total)	84%	100%

- Intraobserver variability: 5.1%
- Interobserver variability: 7.4%

n=149





# CHEST

Original Research

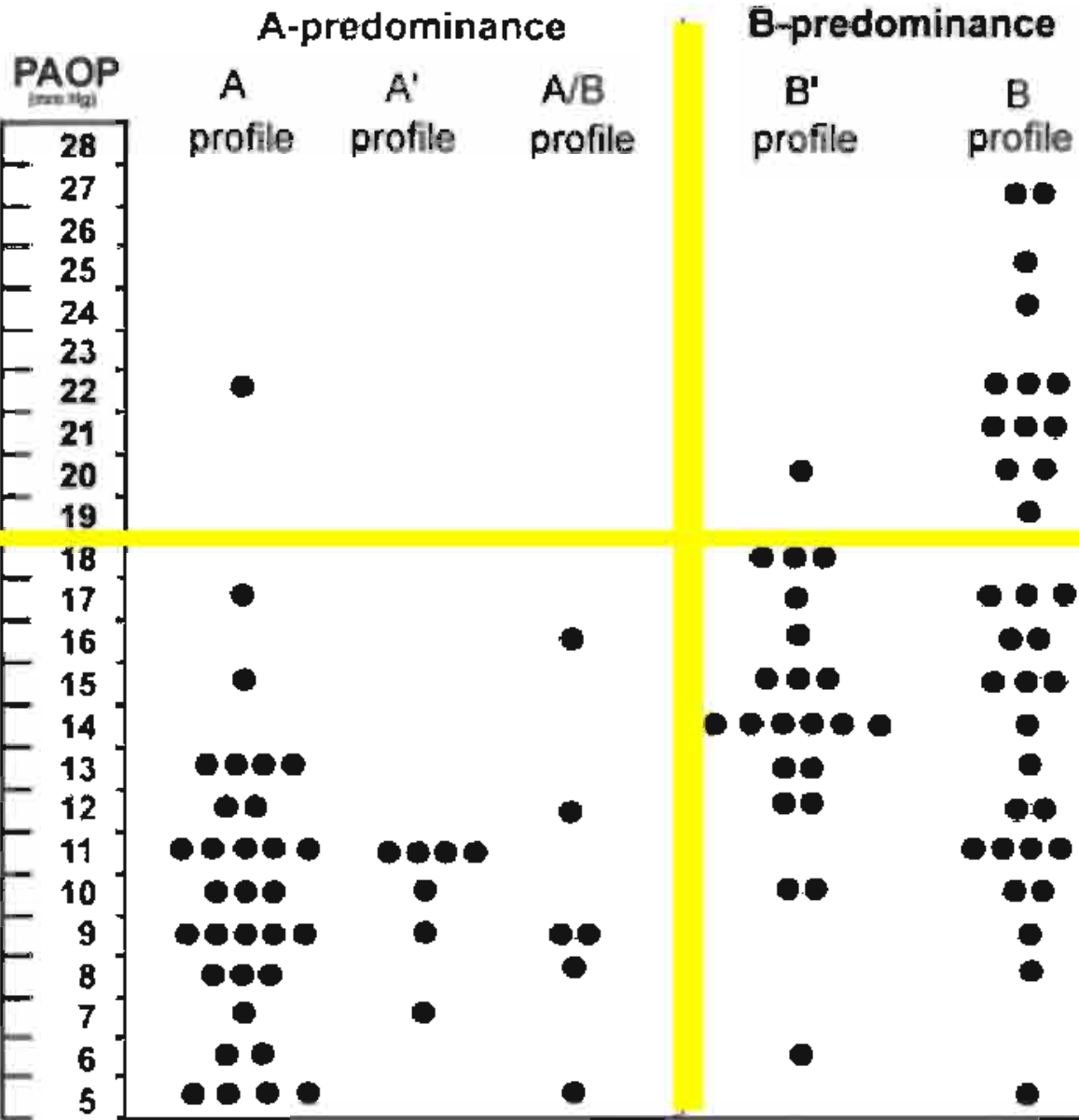
CRITICAL CARE MEDICINE

## A-Lines and B-Lines

### Lung Ultrasound as a Bedside Tool for Predicting Pulmonary Artery Occlusion Pressure in the Critically Ill

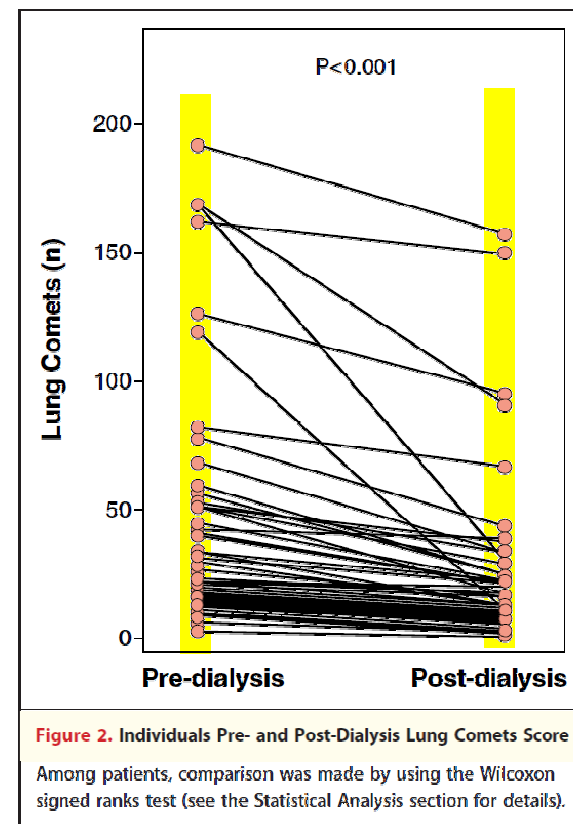
*Daniel A. Lichtenstein, MD, FCCP; Gilbert A. Mezière, MD;  
Jean-François Lagoueyte, MD; Philippe Biderman, MD; Ivan Goldstein, MD;  
and Agnès Gepner, MD*

***CHEST 2009; 136:1014–1020,***

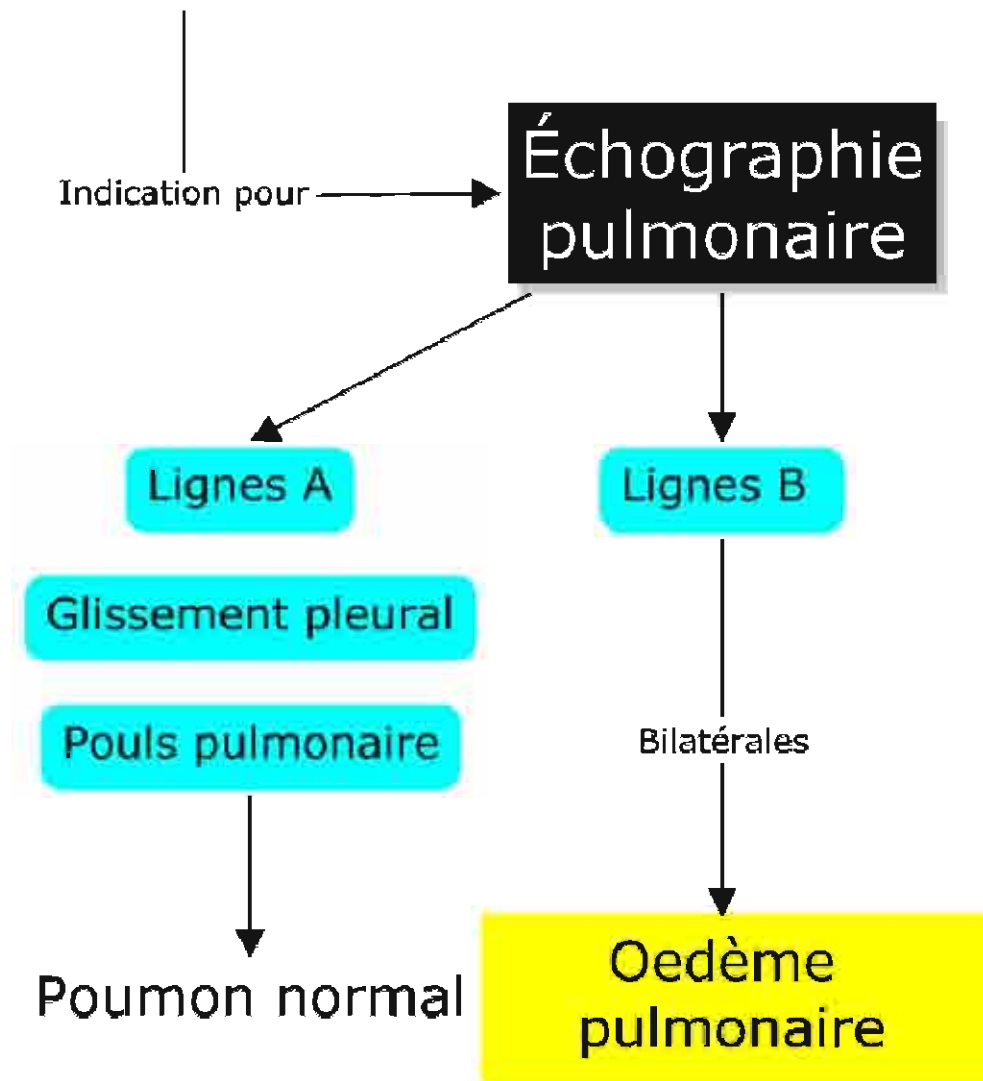


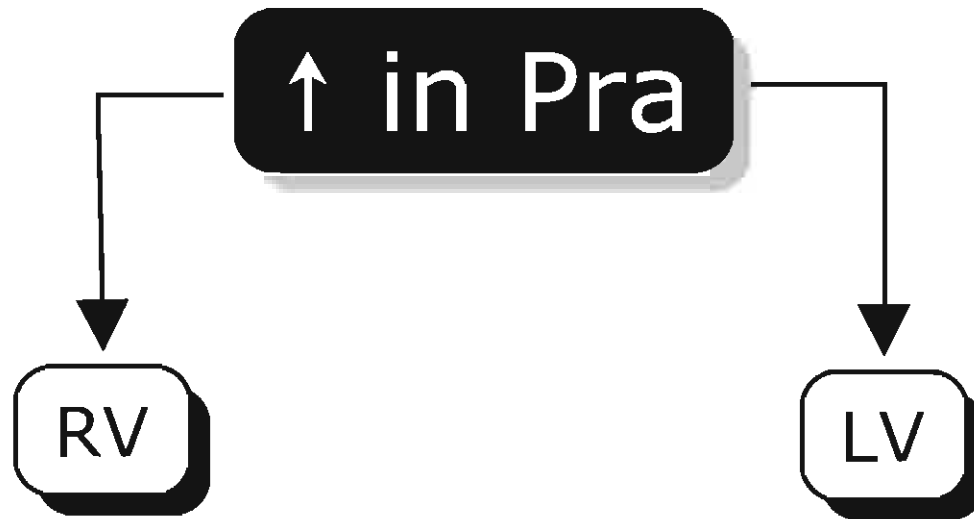
# Detection of Pulmonary Congestion by Chest Ultrasound in Dialysis Patients

Francesca Mallamaci, MD,\*† Francesco A. Benedetto, MD,‡ Rocco Tripepi,†  
Stefania Rastelli, MD,§ Pietro Castellino, MD PROF.,§ Giovanni Tripepi, STAT. DR.,†  
Eugenio Picano, MD PROF.,|| Carmine Zoccali, MD PROF.\*†  
*Reggio Calabria, Catania, and Pisa, Italy*



- A: Voies Resp. Sup.
- B: Ventilation
- C: État de choc
- D: Diagnostique





Hypoxia and hypercapnia

Systolic dysfunction

Diastolic dysfunction

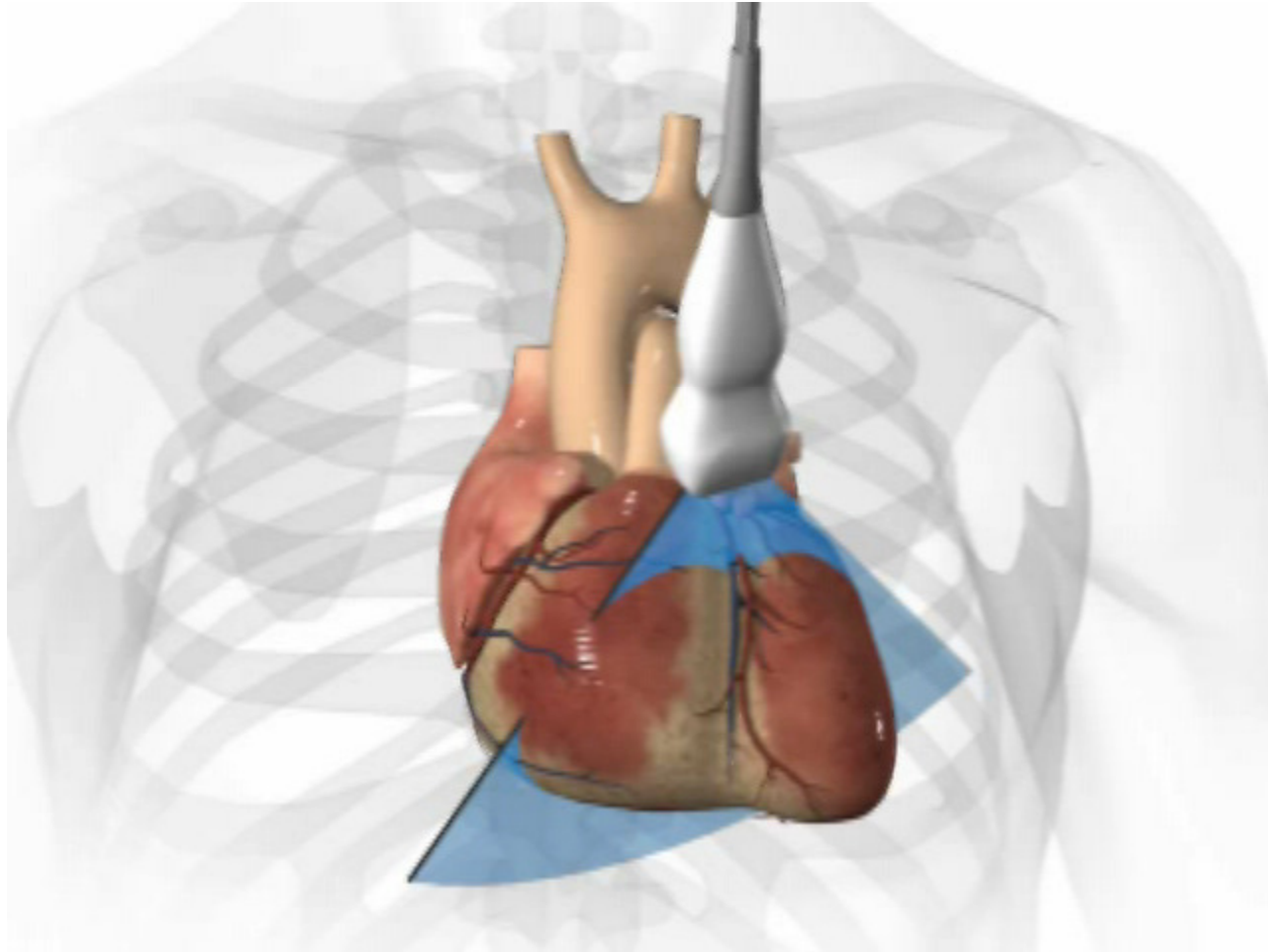
Outflow tract obstruction

Pulmonary emboli

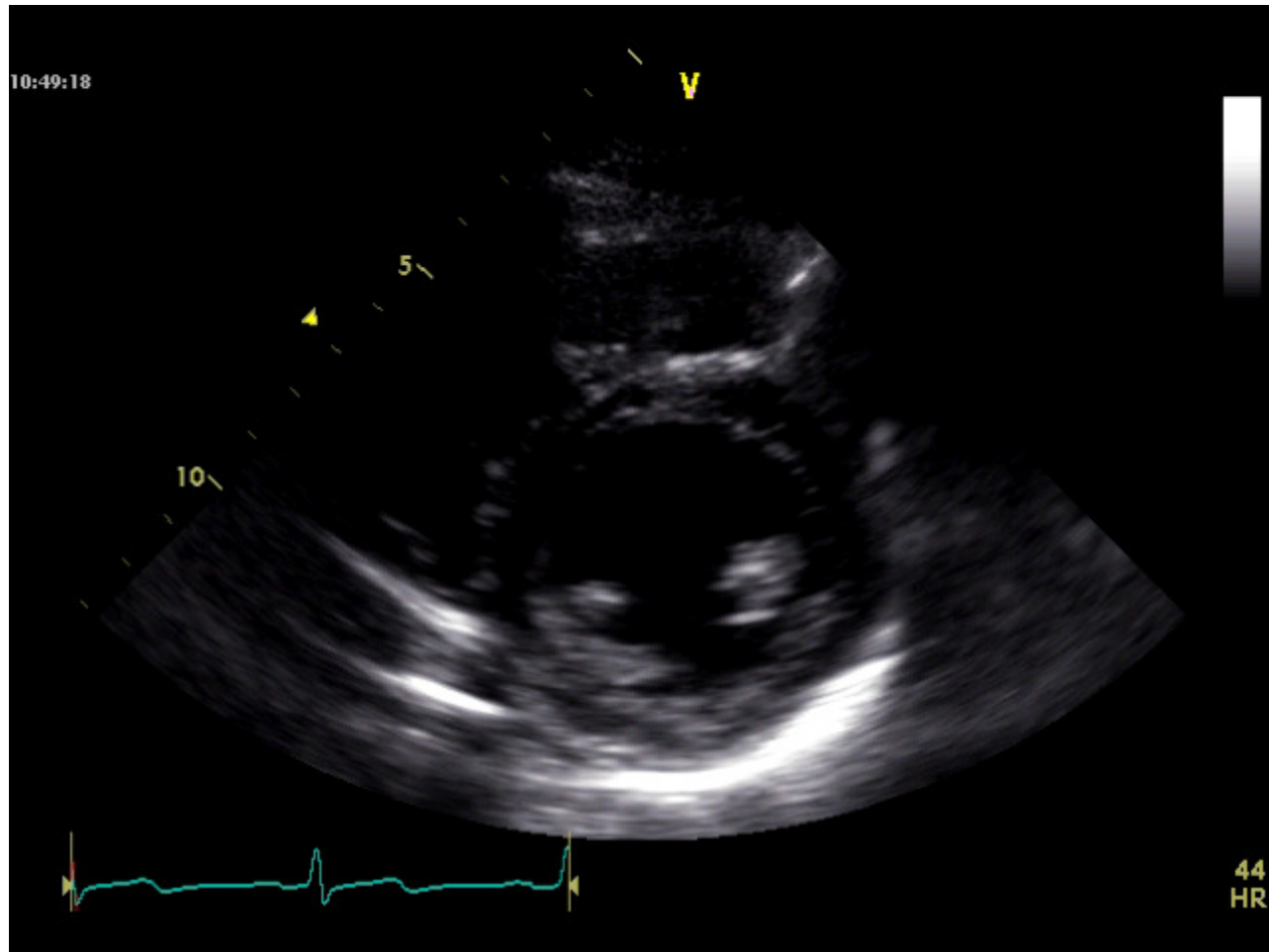
Others:

congenital, tumor, CMP, arrhythmias

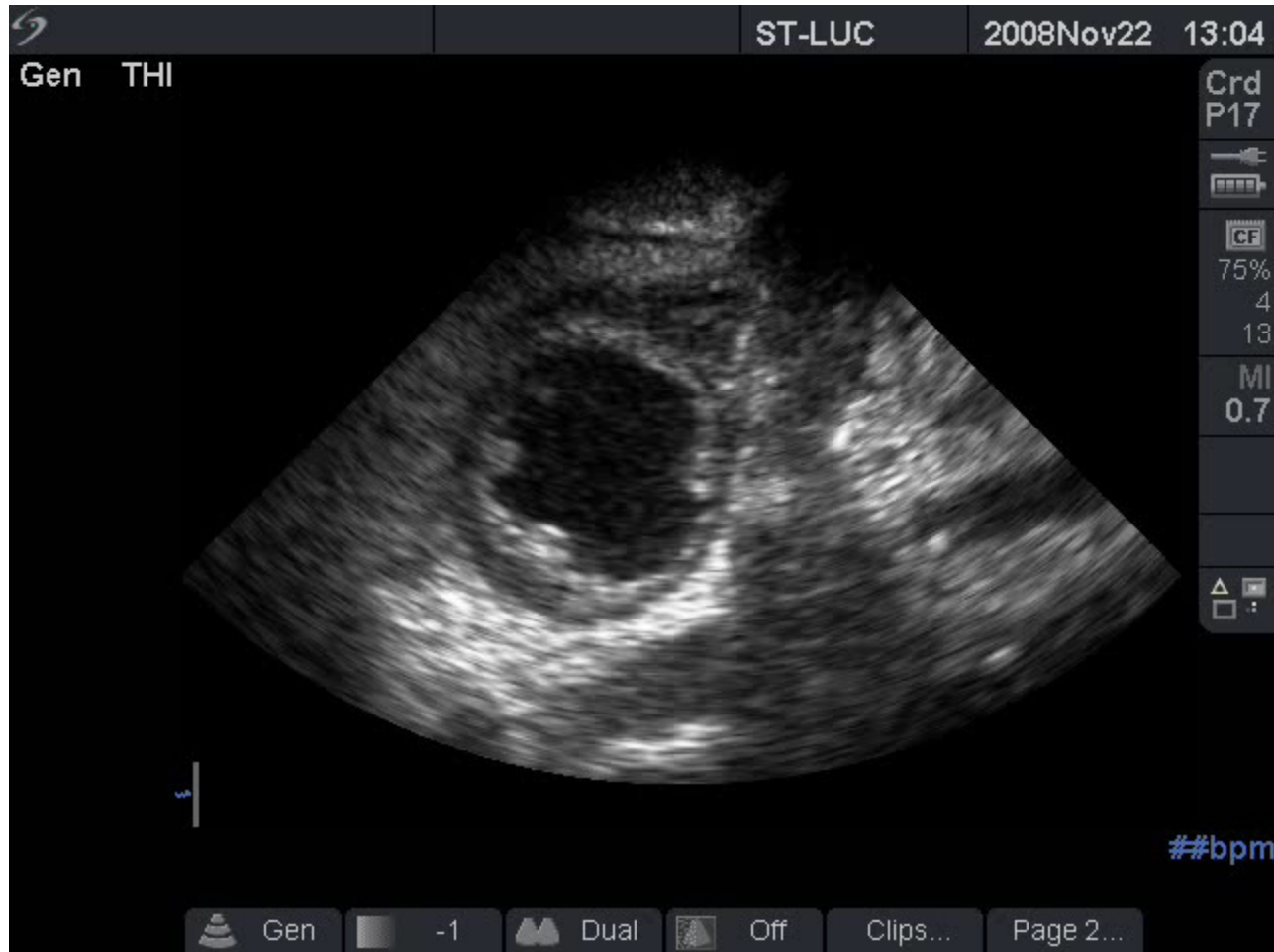
# Parasternal SAX



# Parasternal SAX

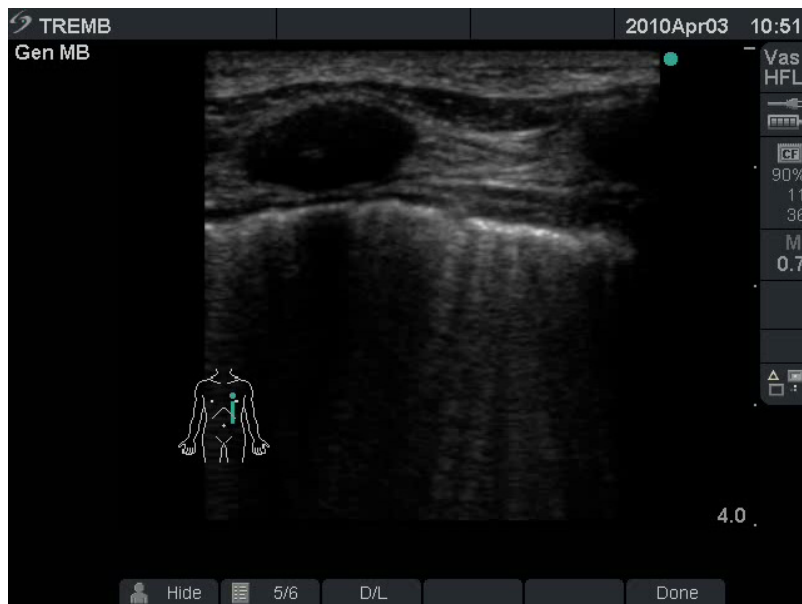


# Unstable patient after urgent laparotomy

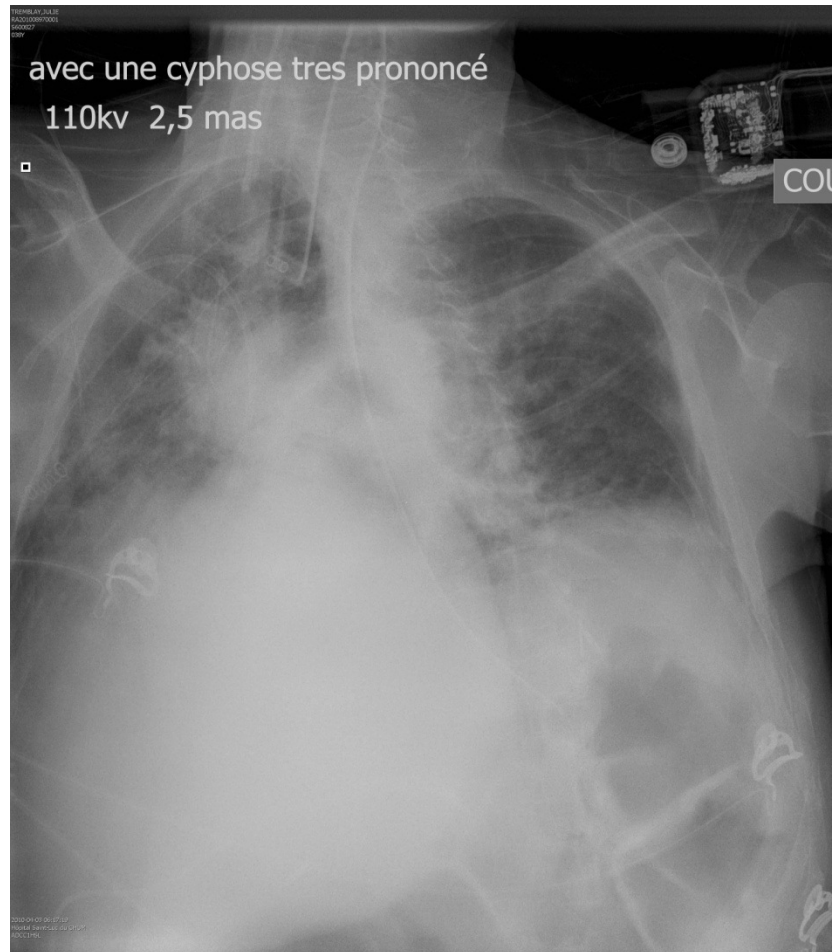




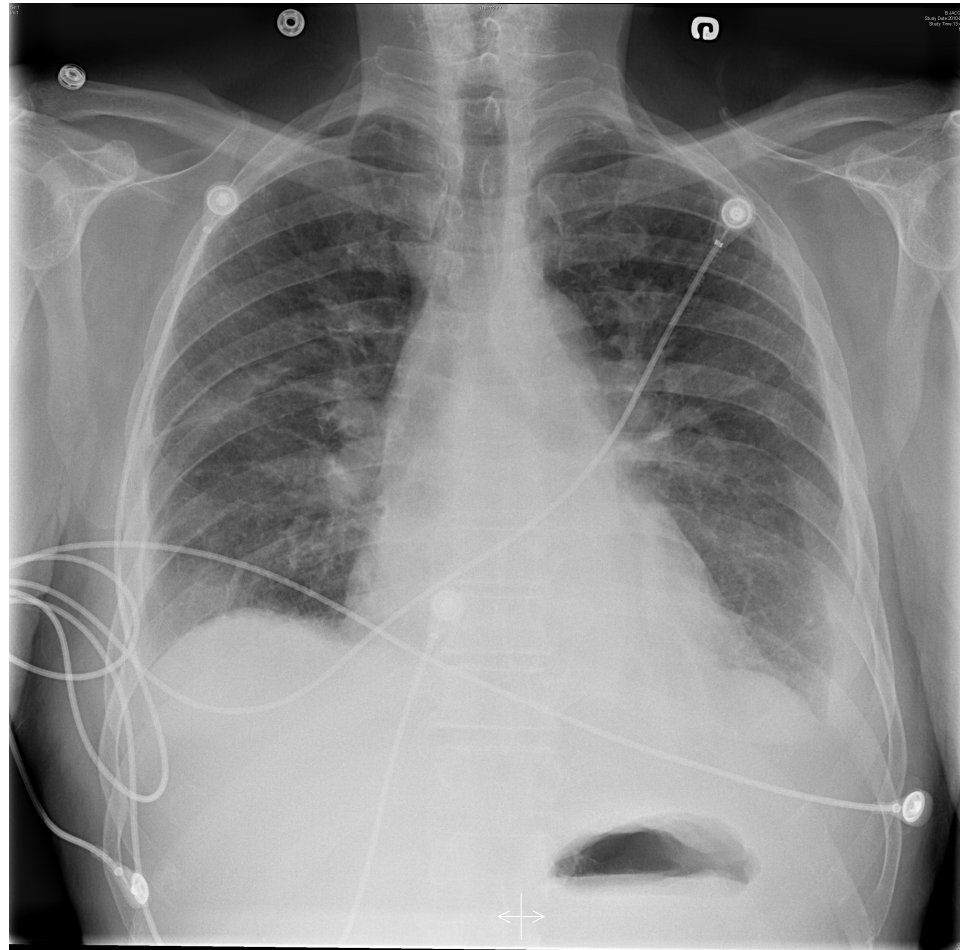
Case last week: 43 yo woman  
acute SOB on the ward:  
diagnosis pulmonary emboli?

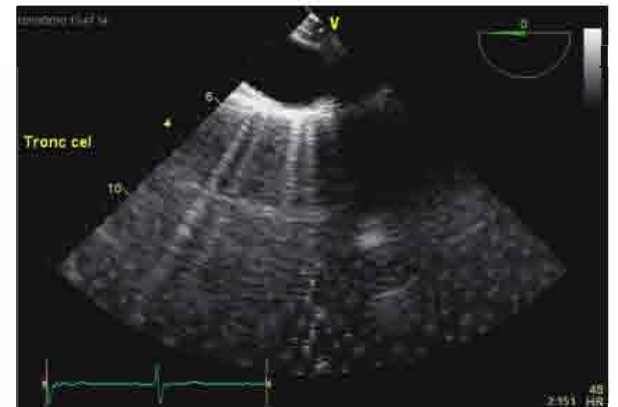
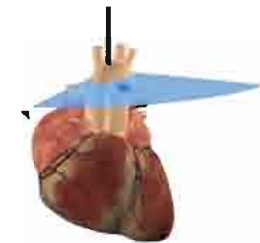
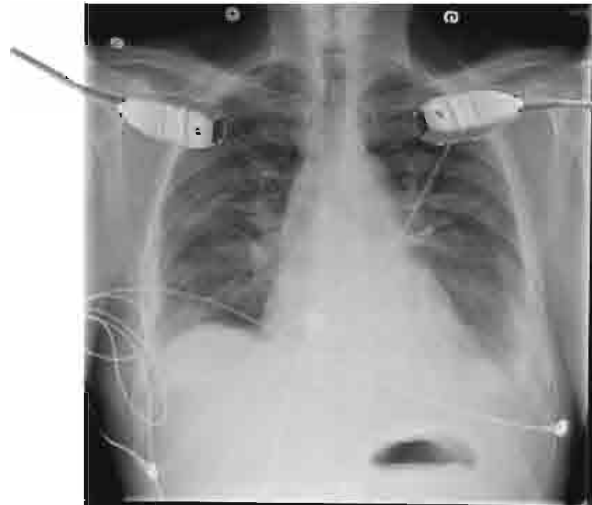


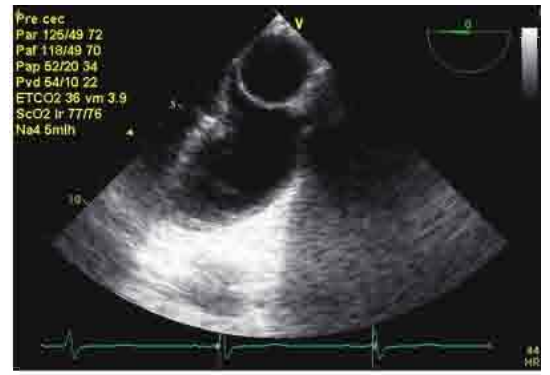
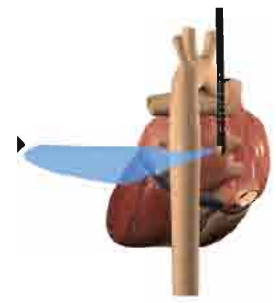
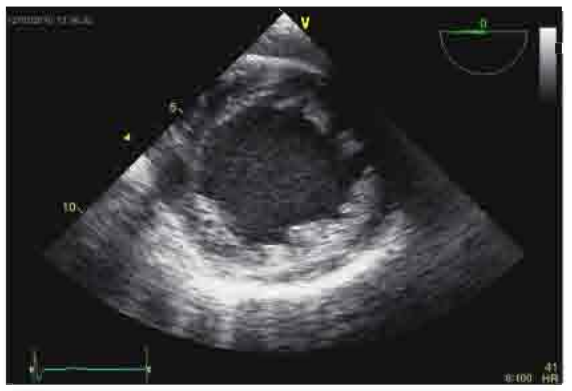
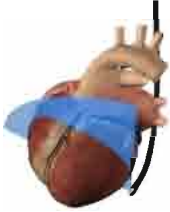
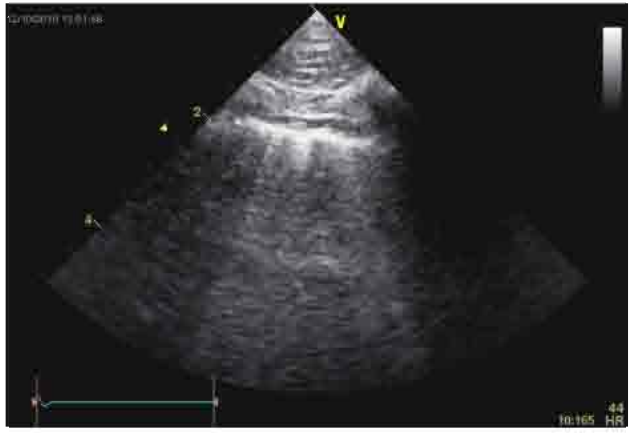
# Case last week: 43 yo woman acute SOB on the ward



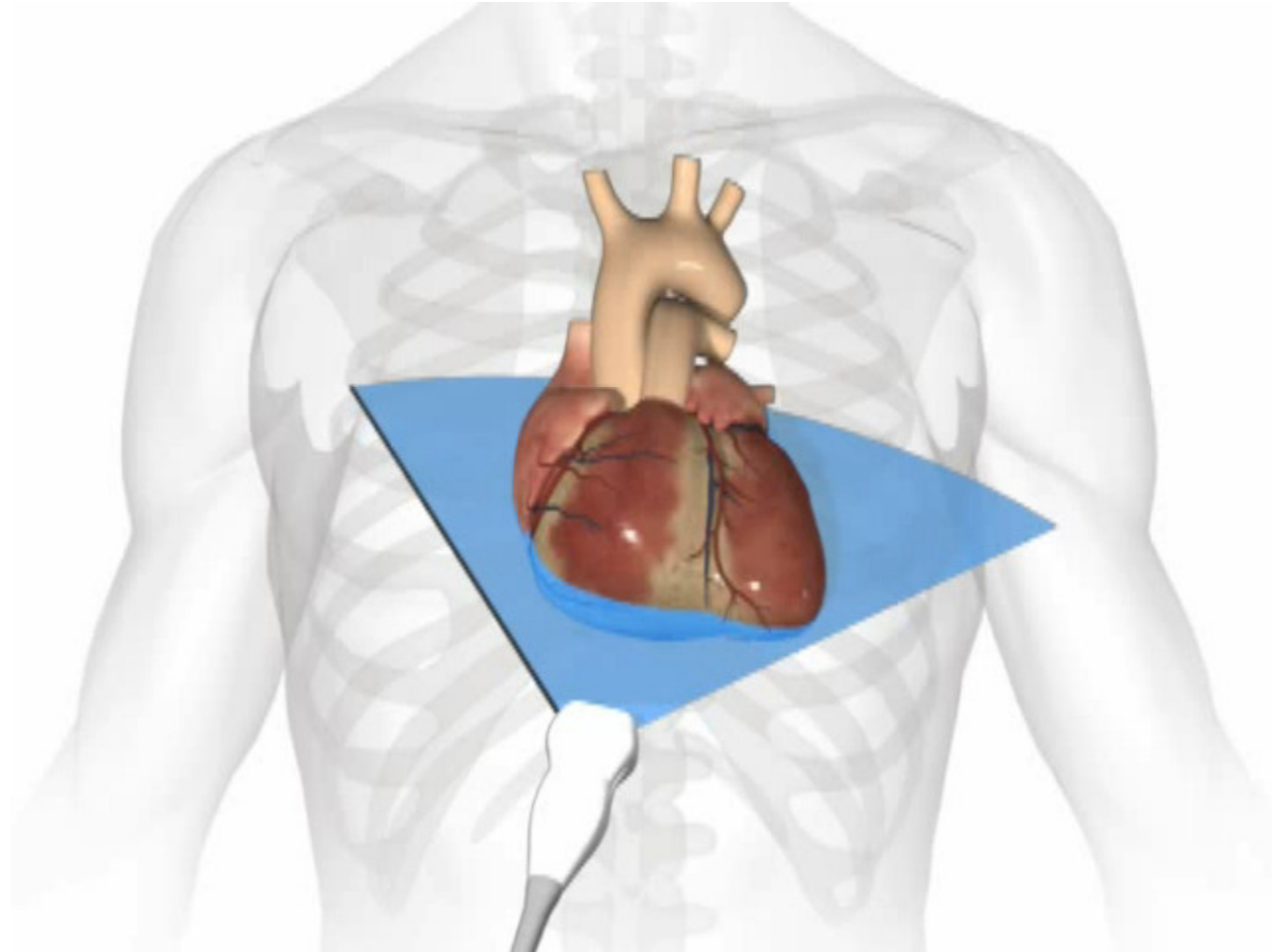
♂ de 86 ans pré-opératoire





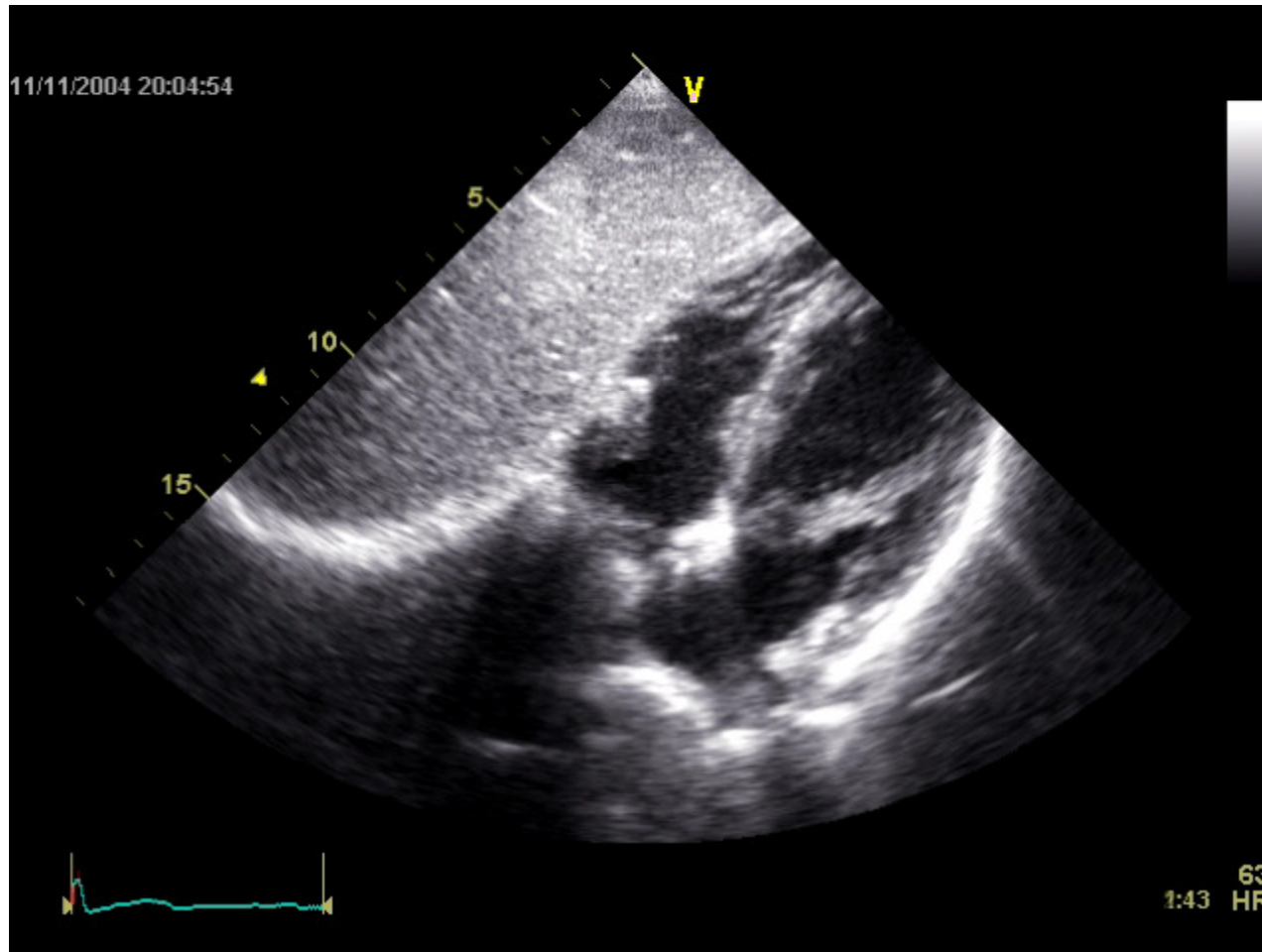


# Sub-costal view 0°

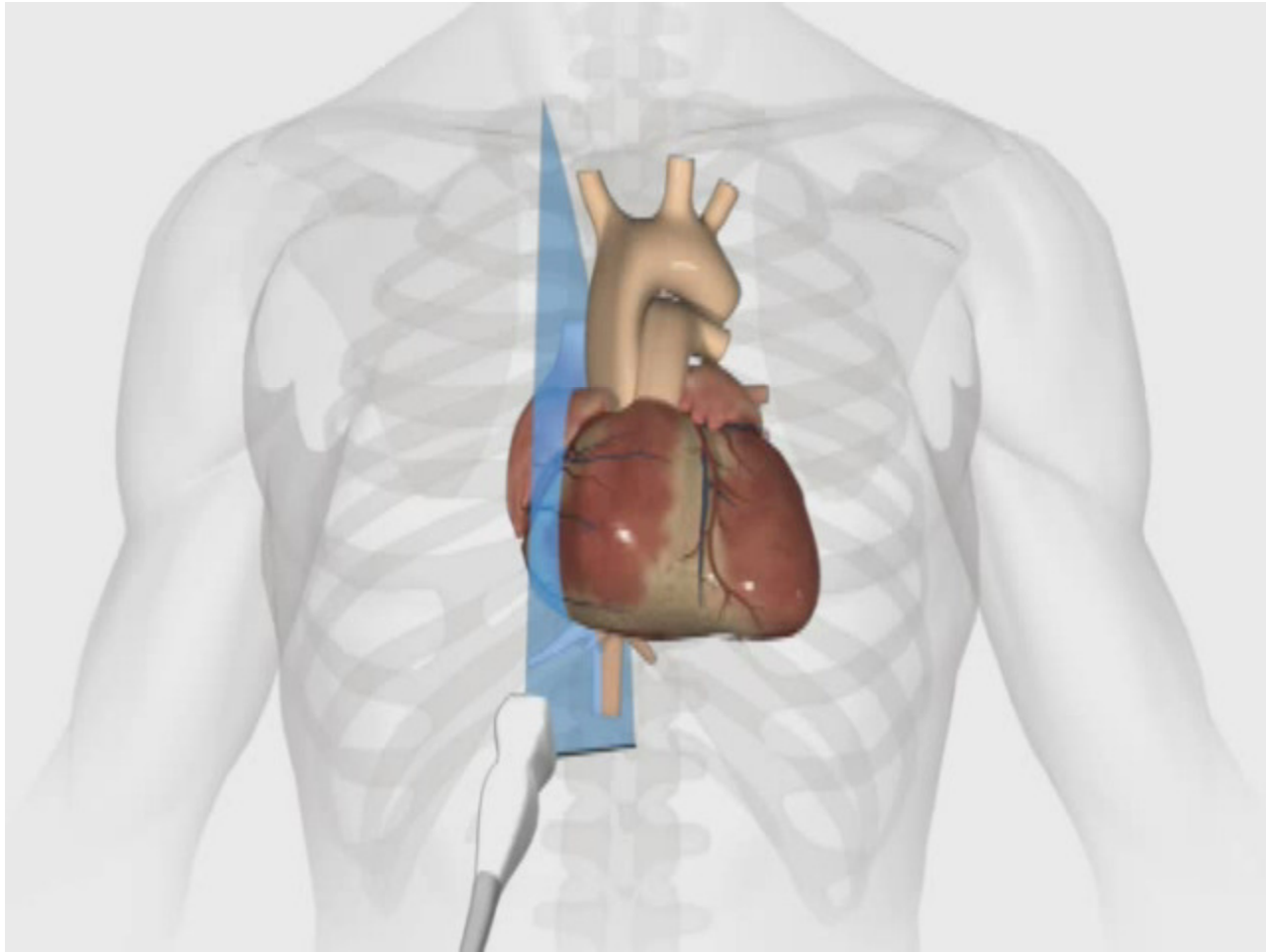




# Sub-costal view 0°

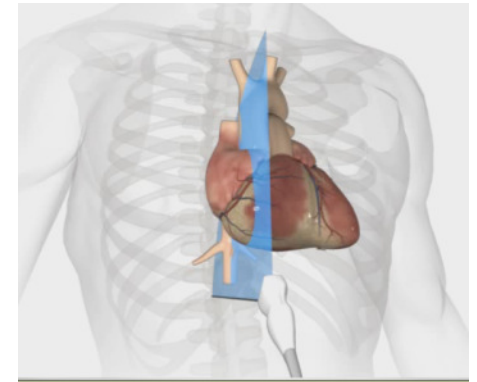
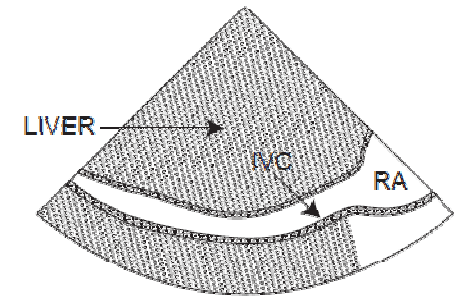
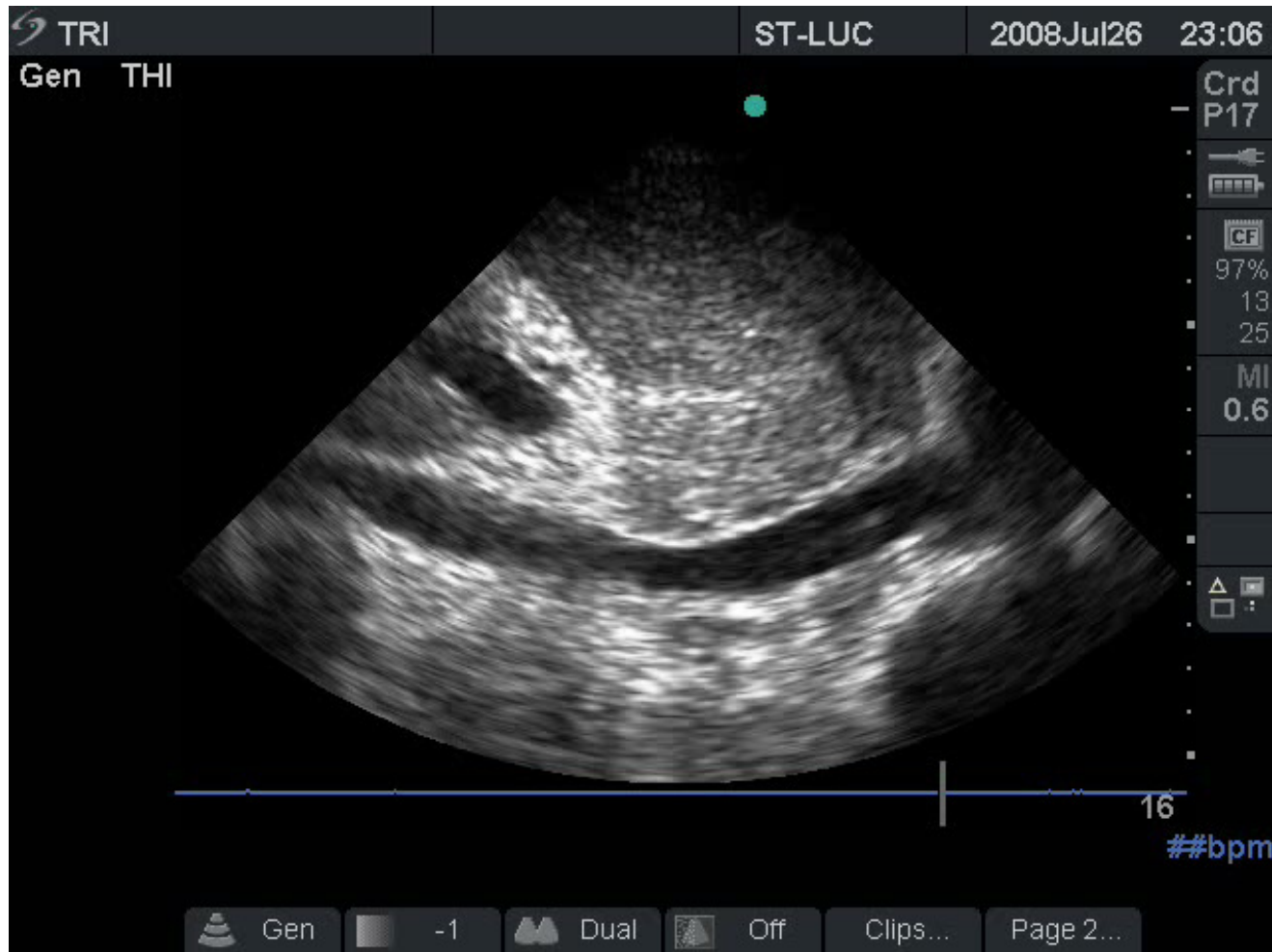


# The 90° subcostal view



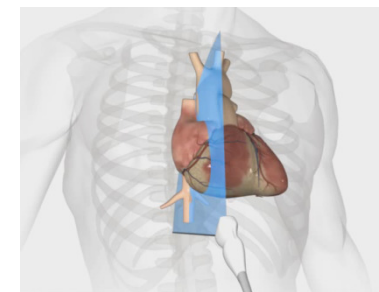
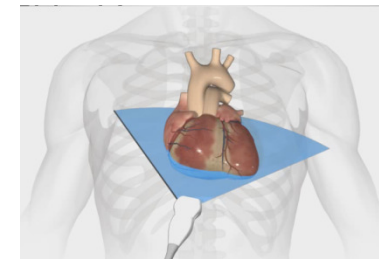
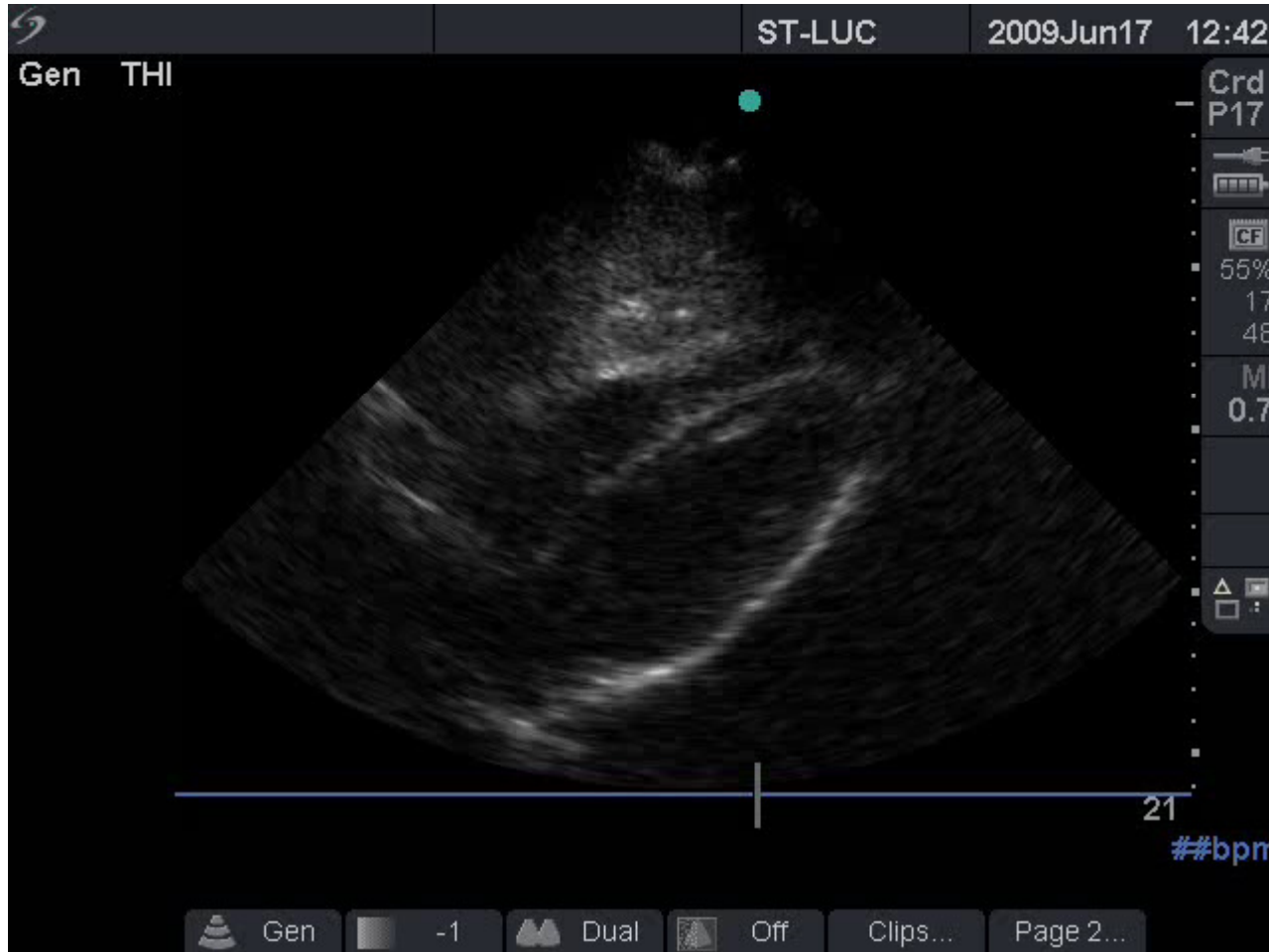


# Normal or ↓ Pms



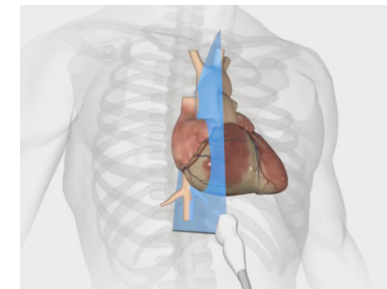
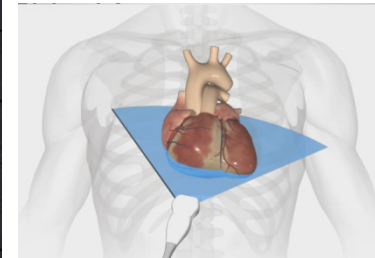
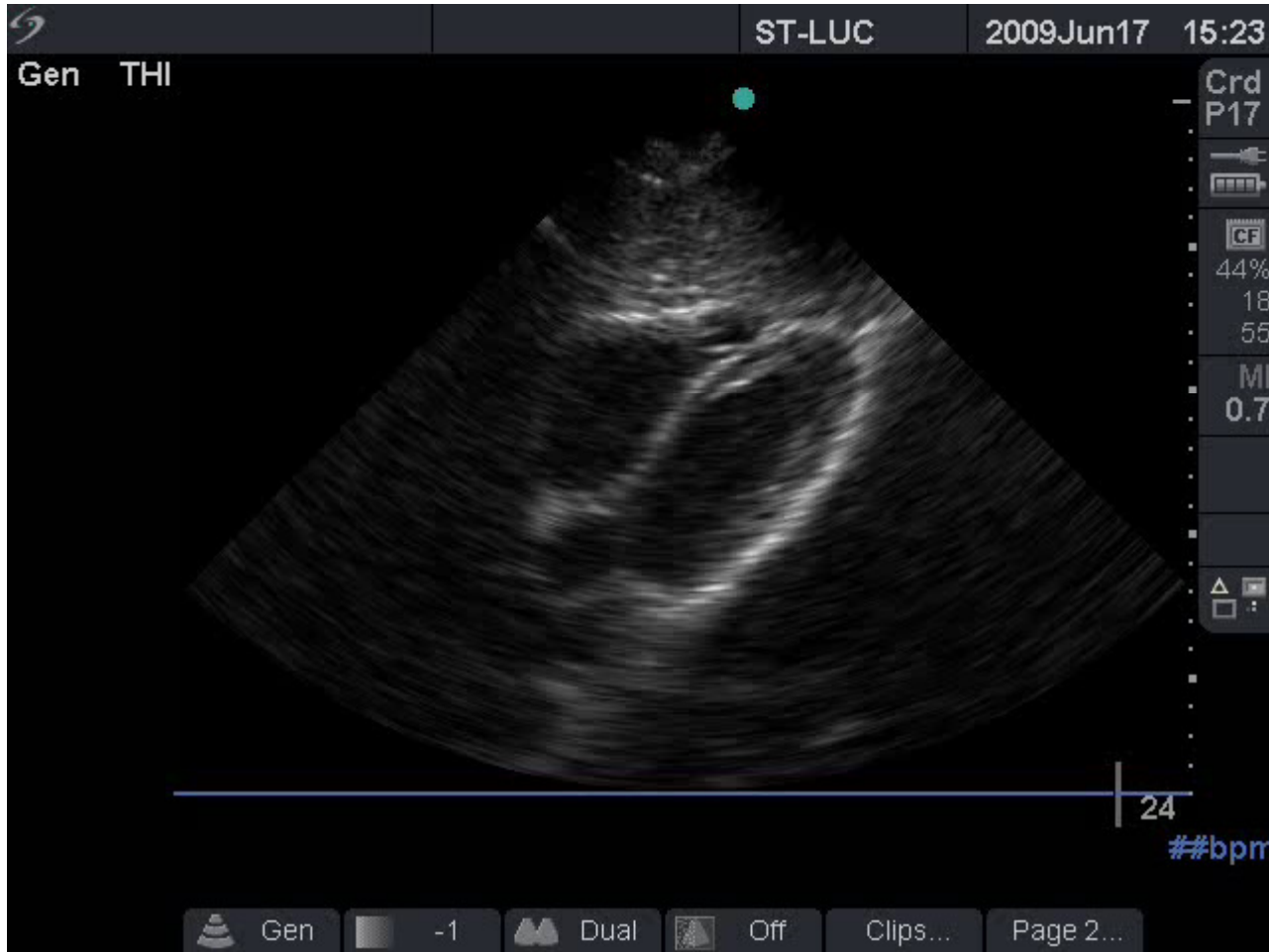
25 yo ♂ post-op laparotomy for abdominal perforation.

On noradrenalin 0.17 ug/kg/m (50ml/h)

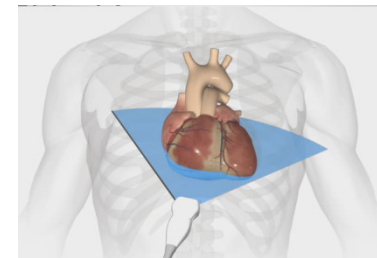
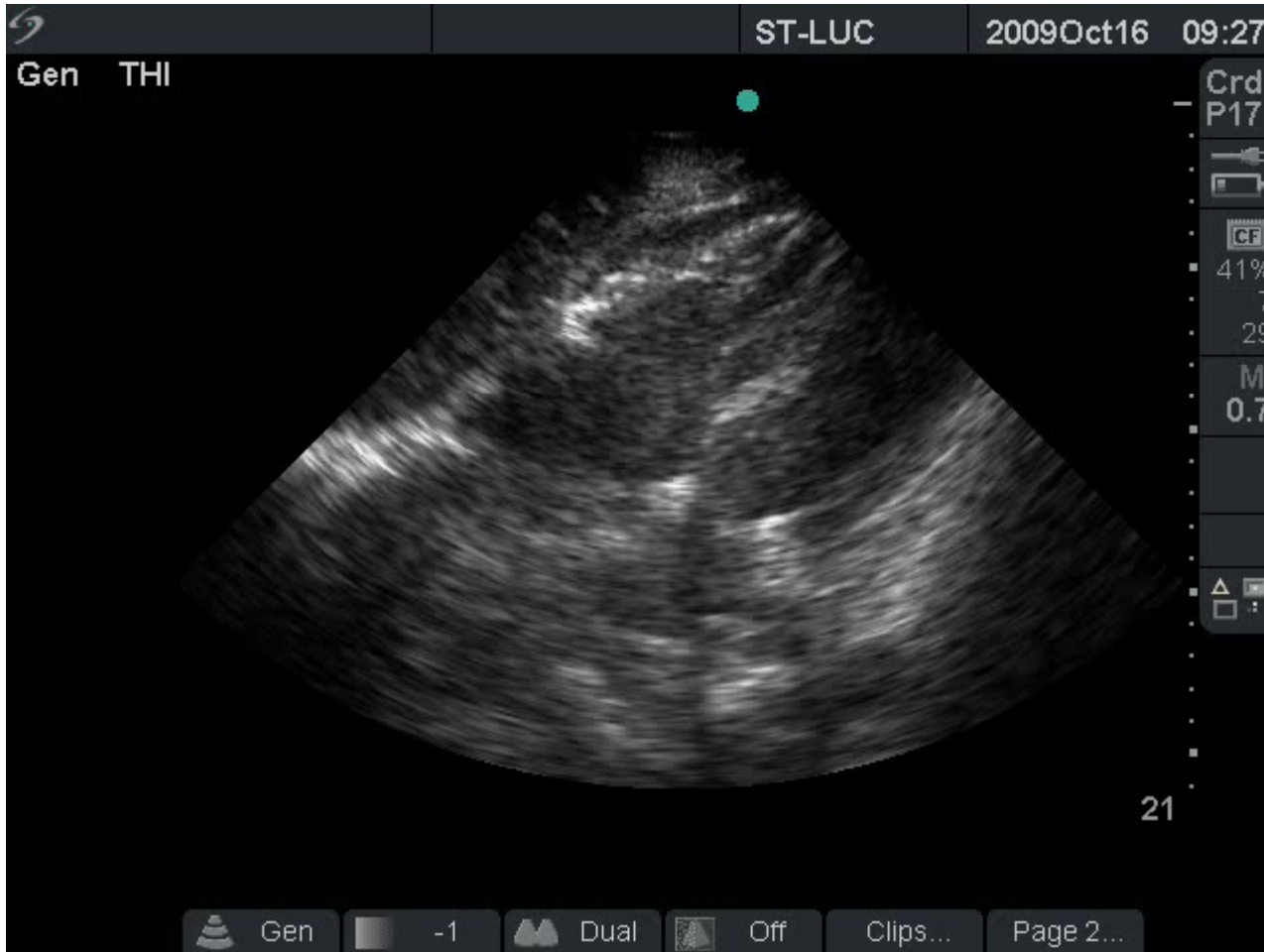


# 25 yo ♂ post-op laparotomy for abdominal perforation

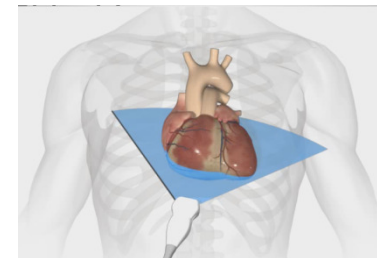
Noradrenalin stopped after 2h of dobutamine



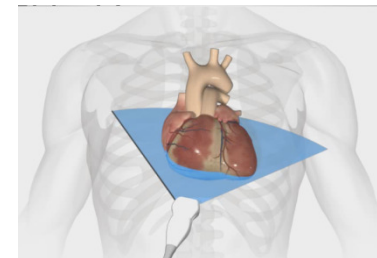
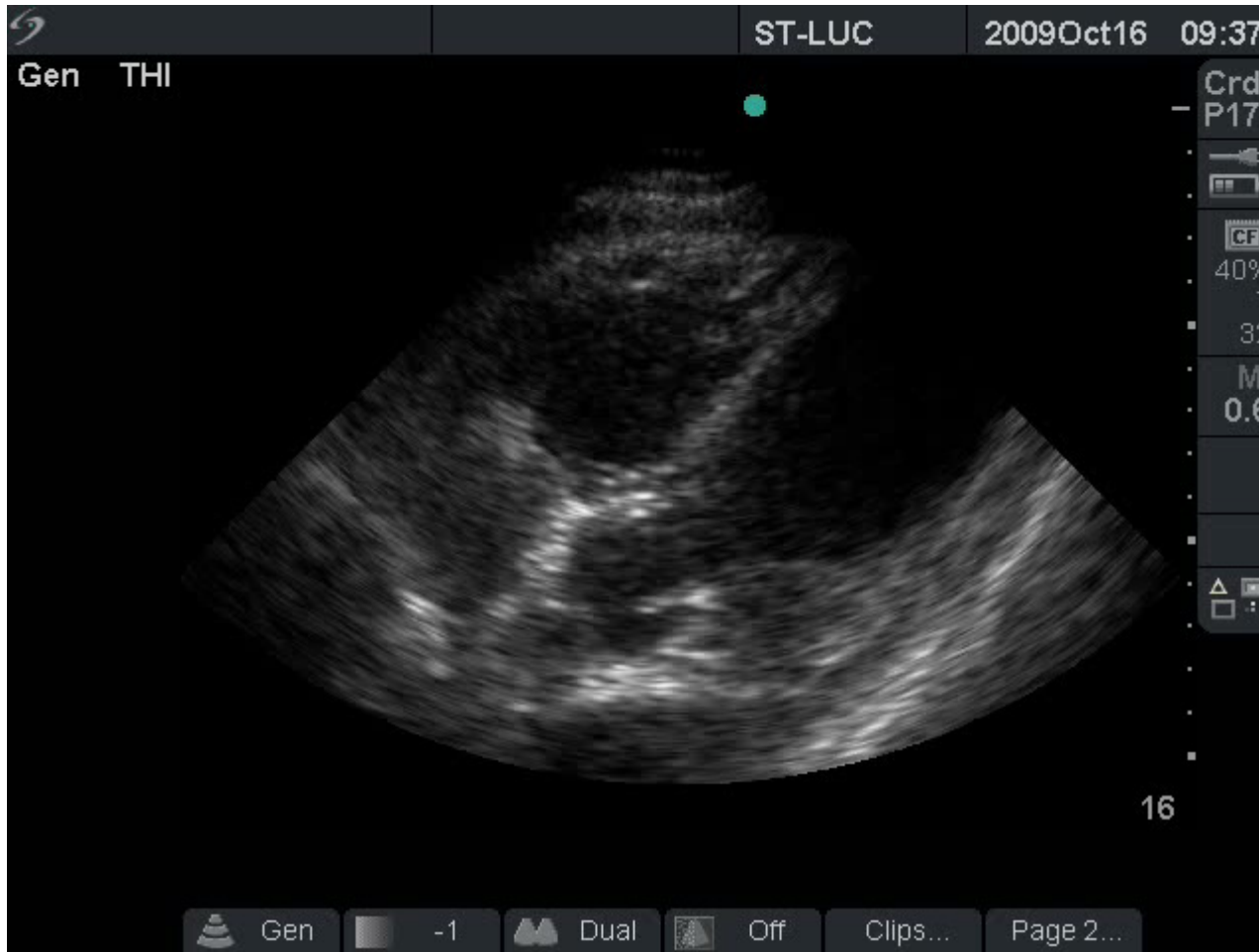
# Blue code :arrival. What do you do?



# Blue code : 5 minutes



# Blue code : 8 minutes





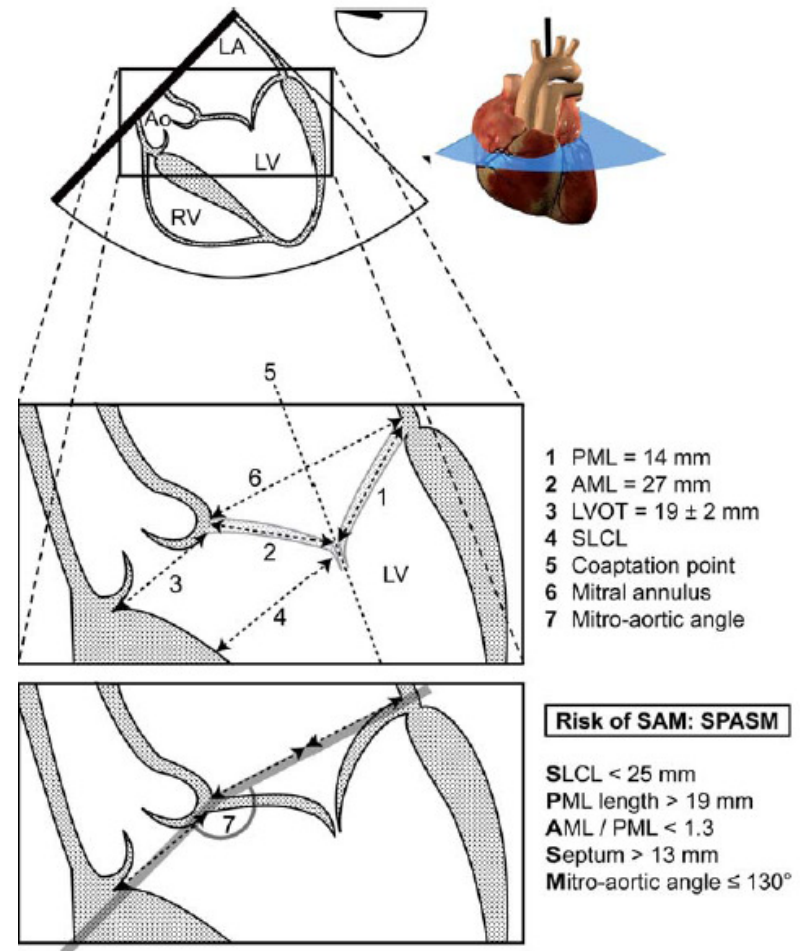
Hypoxia and hypercapnia  
Systolic dysfunction  
Diastolic dysfunction  
Outflow tract obstruction  
Pulmonary emboli

Others:  
congenital, tumor, CMP, arrhythmias



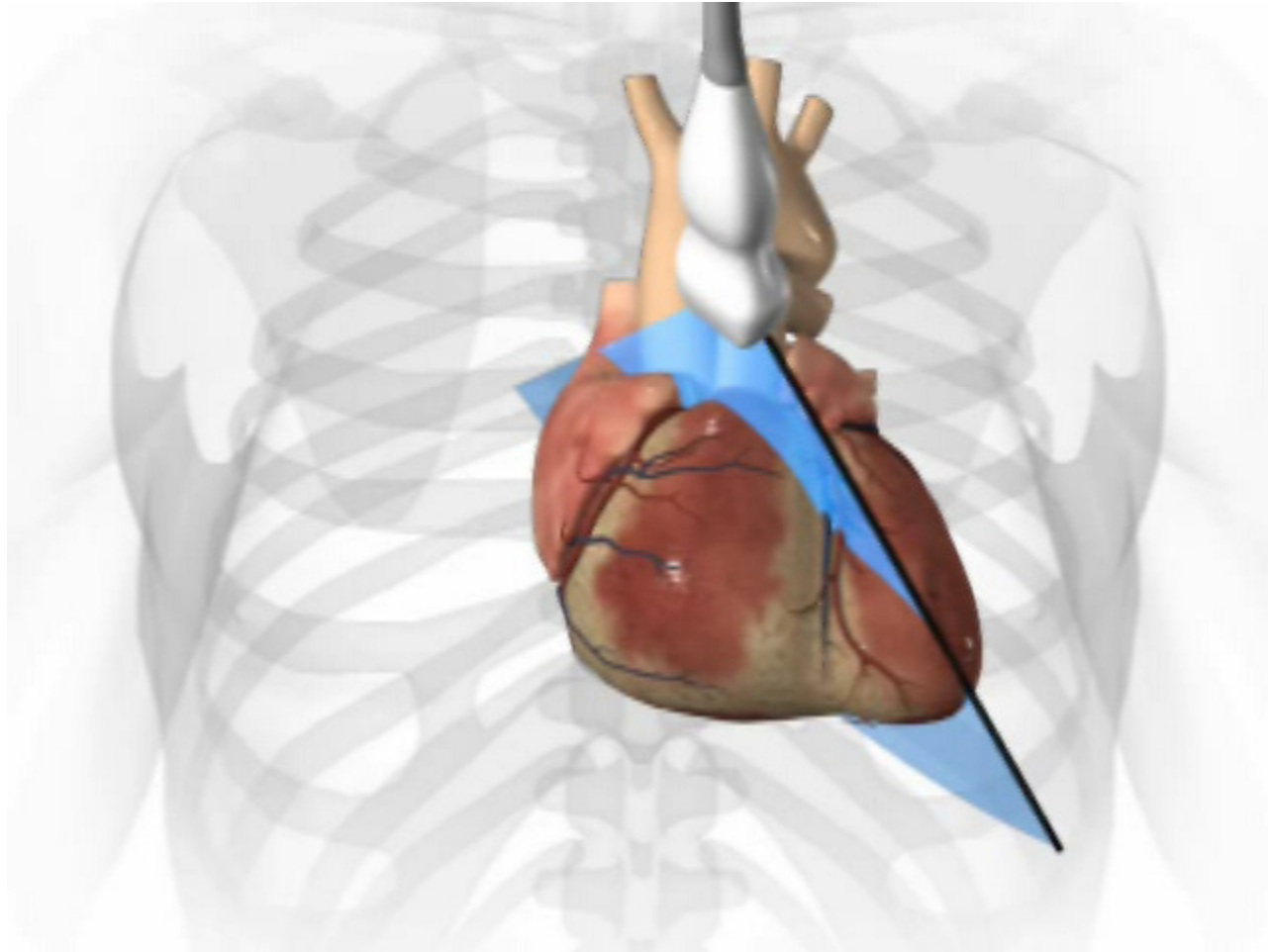
# Always consider left ventricular outflow tract obstruction in hemodynamically unstable patients

Antoine G. Rochon, MD · Philippe L. L'Allier, MD ·  
André Y. Denault, MD

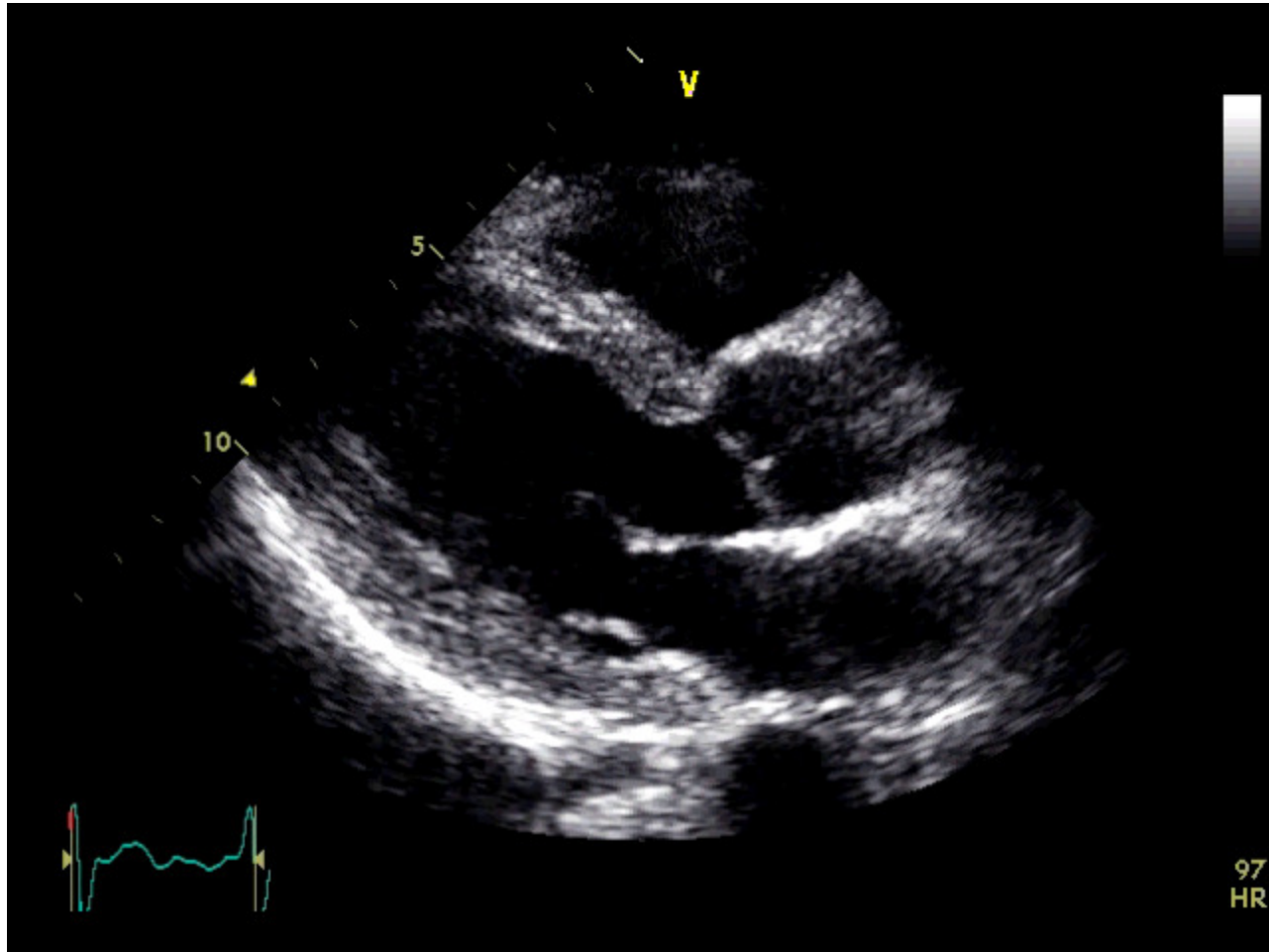




# Parasternal LAX view



# Para-sternal LAX view



# LV outflow tract obstruction

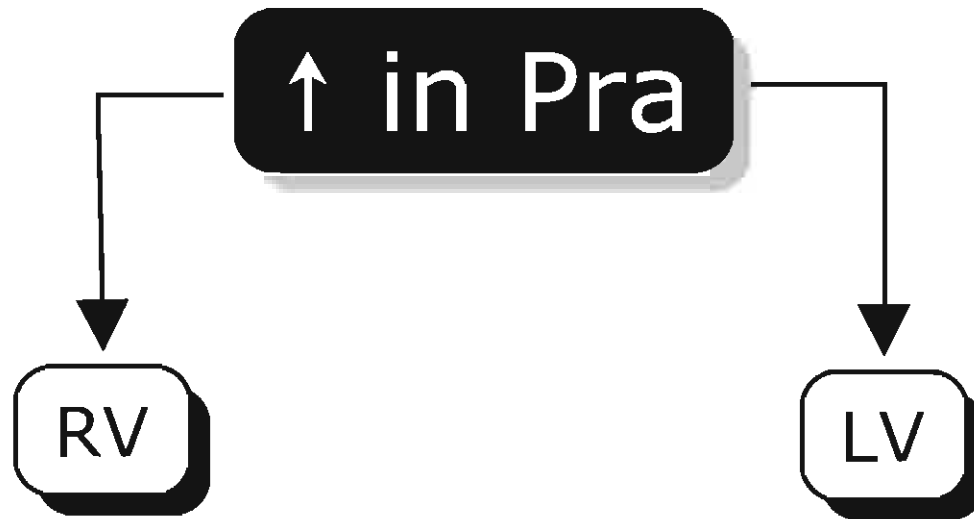


Curtesy of Gaudani

# LV outflow tract obstruction



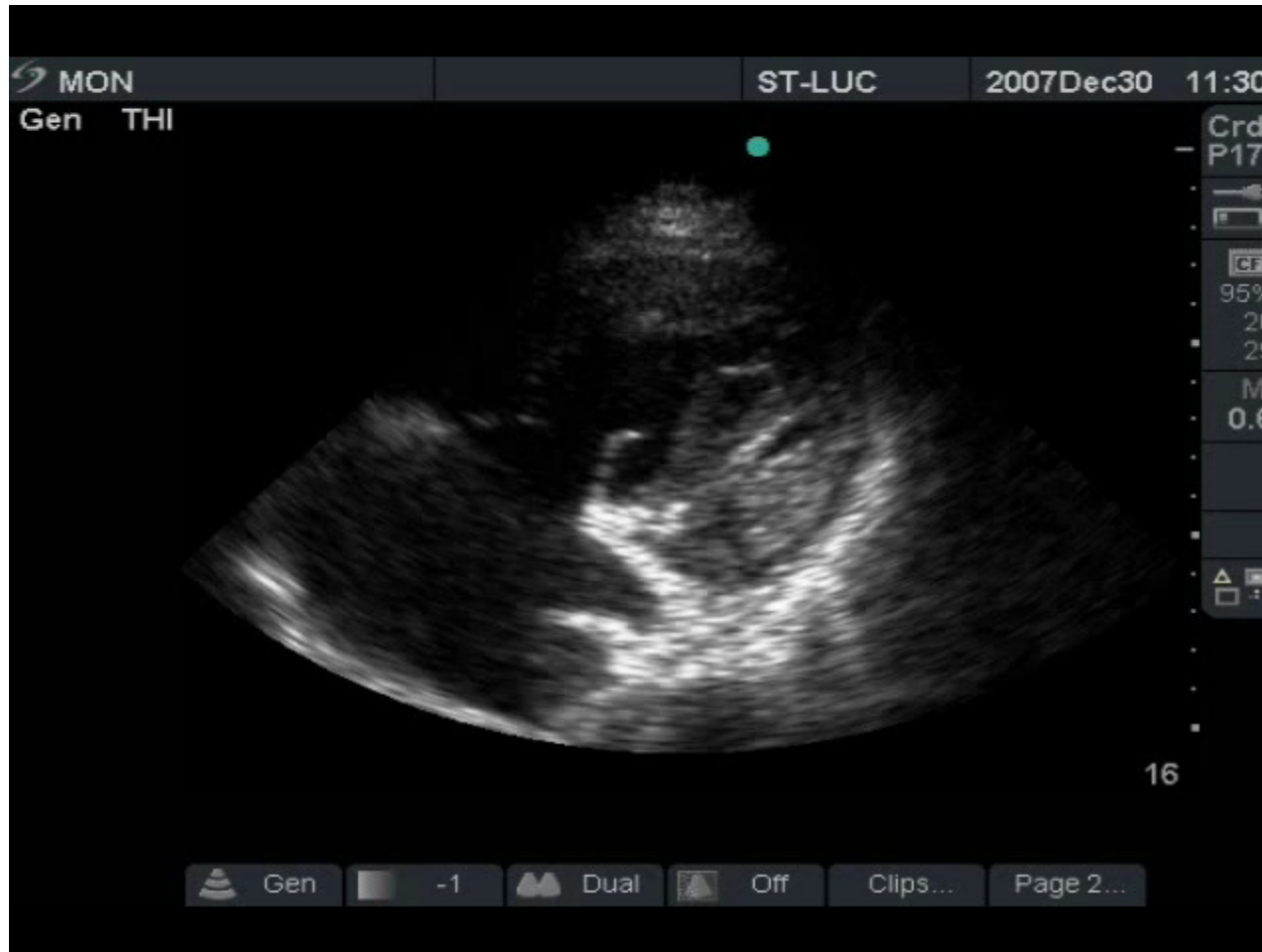
Curtesy of Gaudani



Hypoxia and hypercapnia  
Systolic dysfunction  
Diastolic dysfunction  
Outflow tract obstruction  
Pulmonary emboli

Others:  
congenital, tumor, CMP, arrhythmias

# RV systolic dysfunction





Hypoxia and hypercapnia  
Systolic dysfunction  
Diastolic dysfunction  
Outflow tract obstruction  
Pulmonary emboli

Others:

congenital, tumor, CMP, arrhythmias

# An email from Bangkok.....

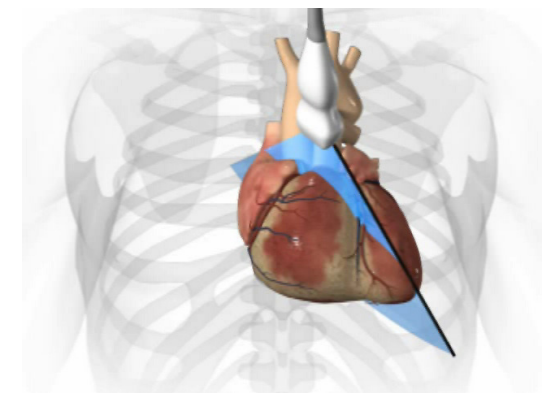
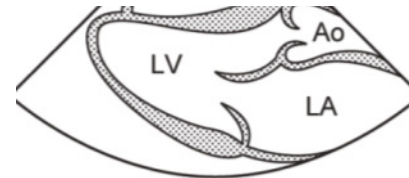
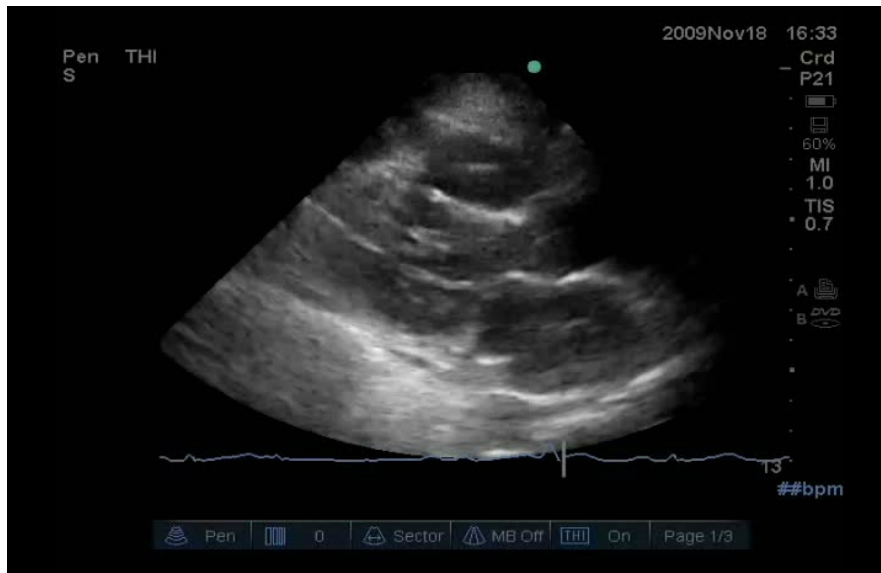
**De:** Pongdhep Theerawit [pongdhep@yahoo.com]  
**Envoyé:** 7 avril 2010 21:49  
**À:** André Denault  
**Objet:** Fw: Apply for short course TEE  
**Pièces jointes:** 16.15.01 hrs \_\_[0000542].mp4; 16.15.01 hrs \_\_[0000543].mp4; 16.15.01 hrs \_\_[0000546].mp4

Dear Dr.Denault,

I would like to apply for short course TEE for hemodynamic monitoring at your institute.  
How to apply.

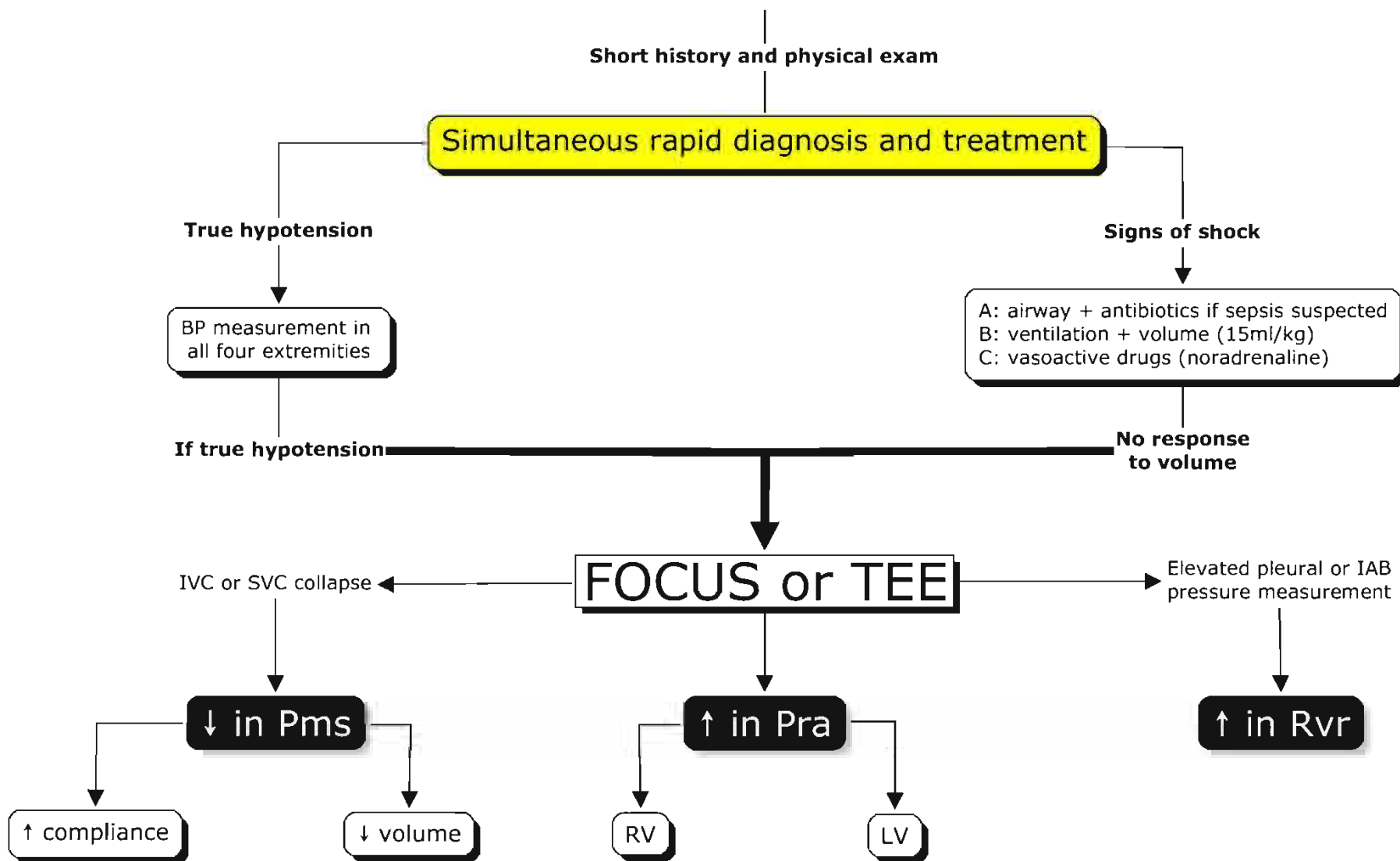
I also sent you an interesting echo finding in a 40 year-old female patient presenting with septic shock. I'm not sure if this finding could contribute to her hypotension and how do we know whether it would be a big problem for hemodynamic management. Can portable echo be helpful in this scenario?.

echo finding in a 40 year-old female patient presenting with septic shock.  
nt. Can portable echo be helpful in this scenario?.

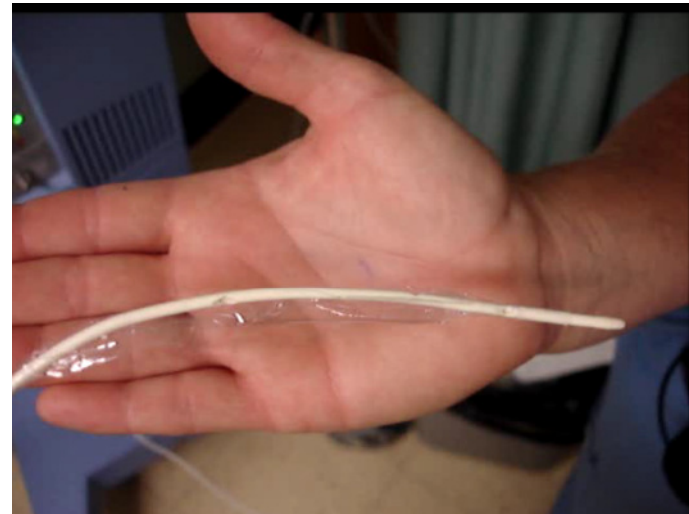




# Hemodynamic instability



# Monitoring of abdominal and transmural pressure



**WORLD SOCIETY OF THE  
ABDOMINAL COMPARTMENT SYNDROME**

[Home](#)

[Education](#)

[Join WSACS](#)

[Discussion](#)

[Research](#)

[For Patients](#)

[Me](#)

# Hemodynamic instability

Short history and physical exam

**Simultaneous rapid diagnosis and treatment**

**True hypotension**

BP measurement in all four extremities

**Signs of shock**

A: airway + antibiotics if sepsis suspected  
B: ventilation + volume (15ml/kg)  
C: vasoactive drugs (noradrenaline)

**If true hypotension**

**No response to volume**

**FOCUS or TEE**

IVC or SVC collapse

Elevated pleural or IAB pressure measurement

**↓ in Pms**

↑ compliance

↓ volume

**↑ in Pra**

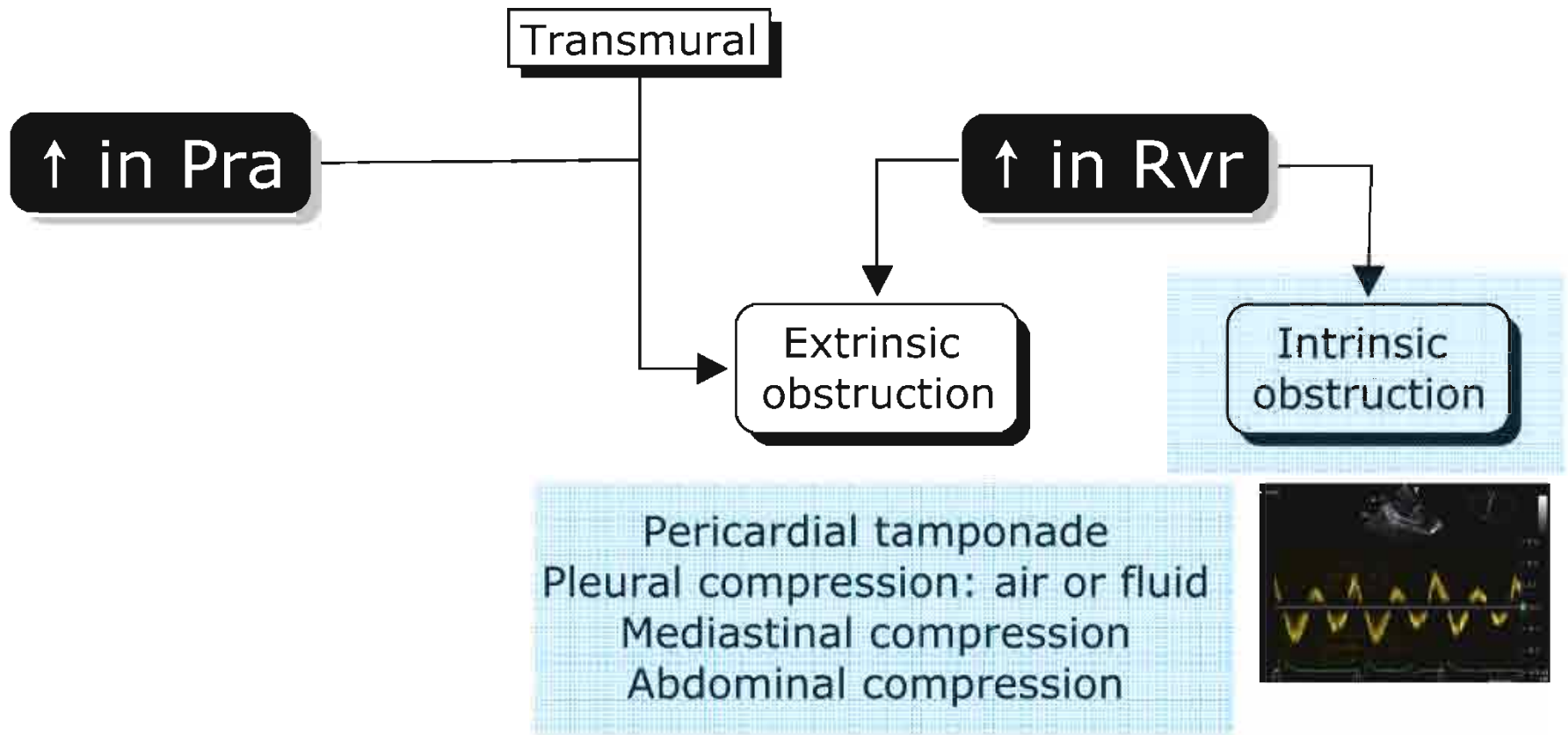
RV

LV

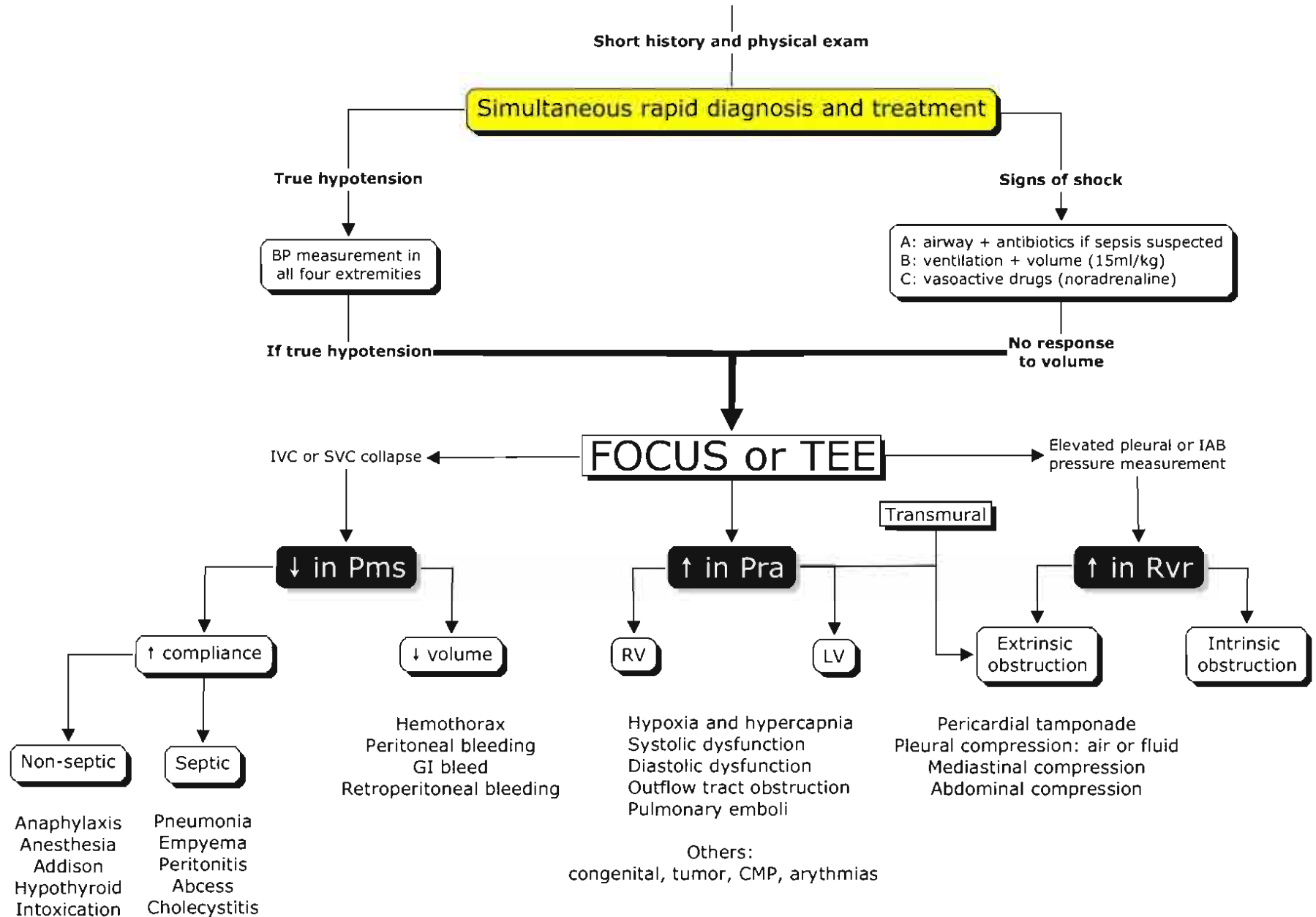
Transmural

**↑ in Rvr**

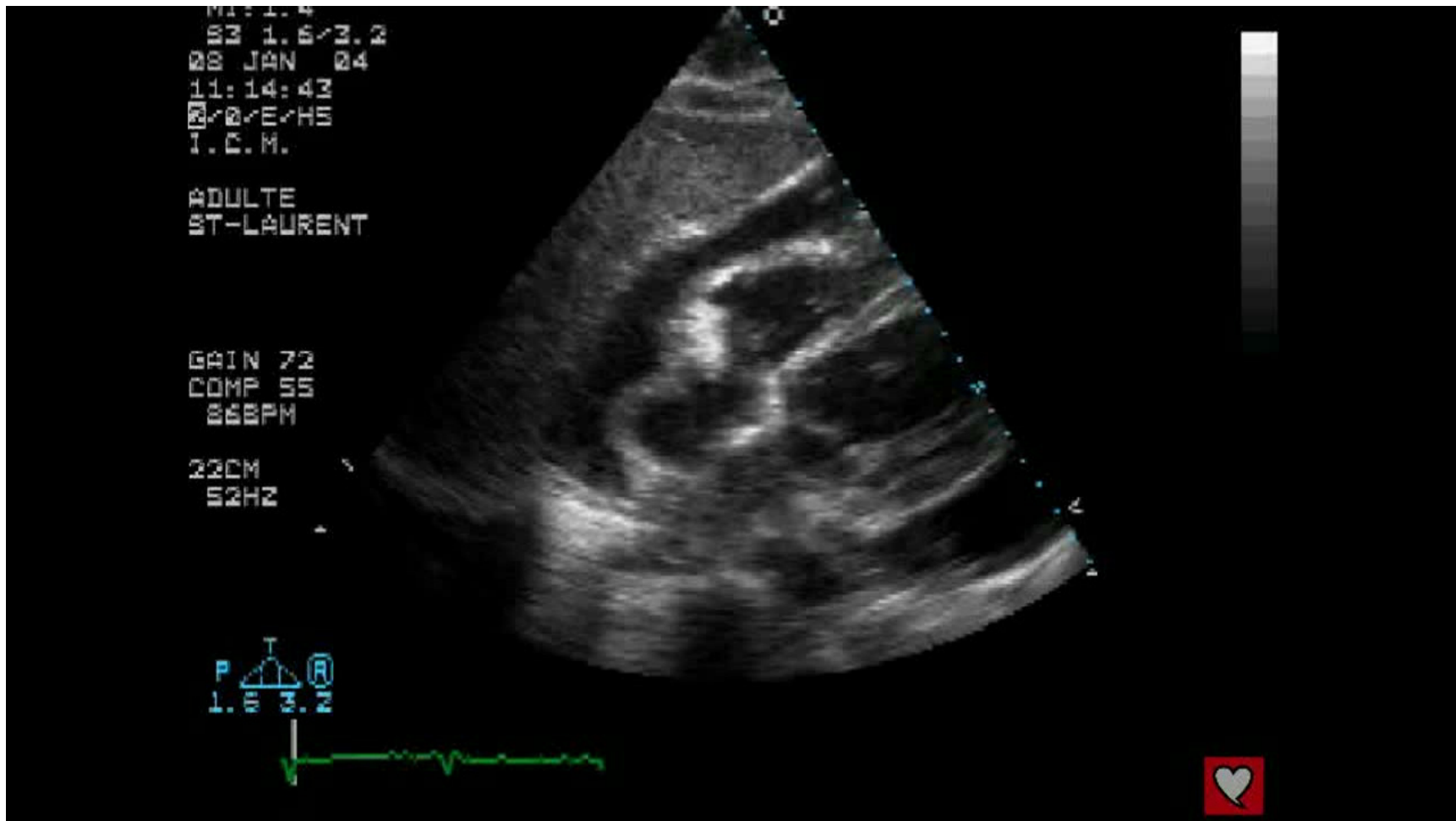
Extrinsic obstruction



# Hemodynamic instability



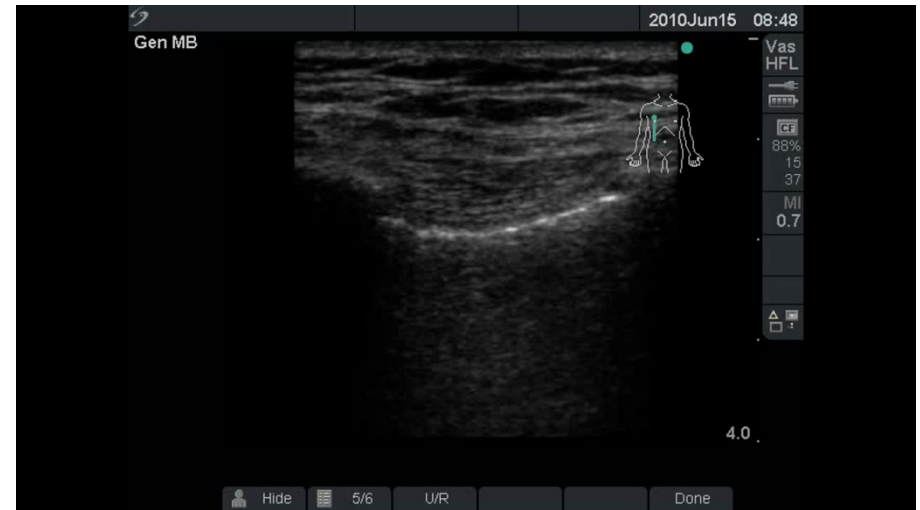
# Tamponade classique



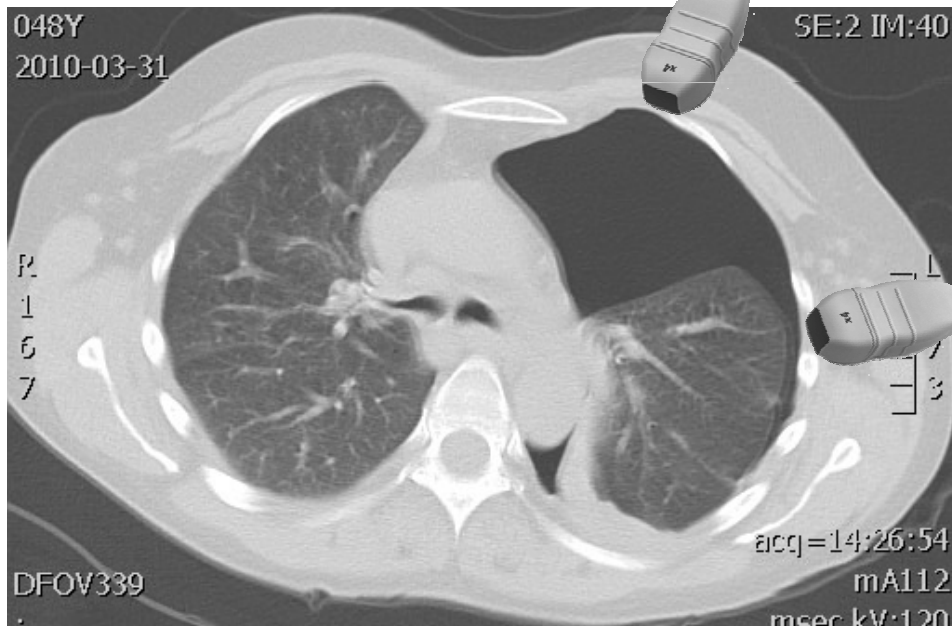
# Pneumothorax

- Critères
  - Lignes A seulement
  - Point pulmonaire
- Exclusion: (\*\*\*) au site de l'examen)
  - Présence d'un glissement pleural
  - Présence d'un pouls pulmonaire
  - Présence de lignes B

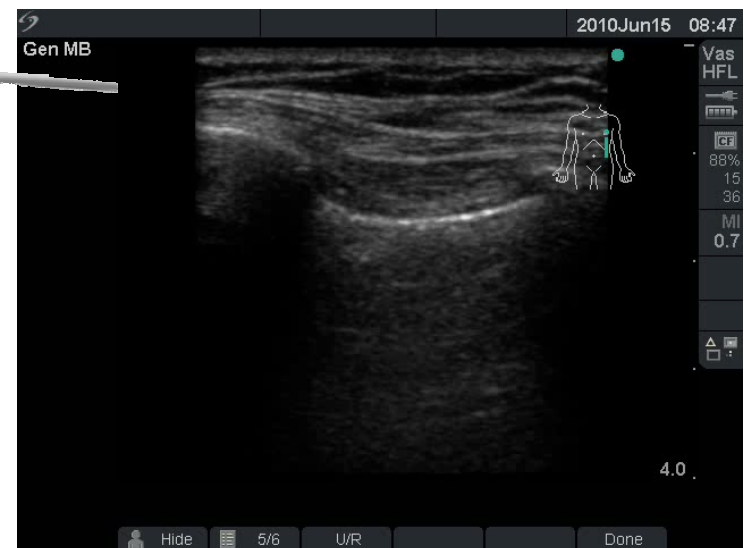
# Point pulmonaire



**Pas de glissement pleural**

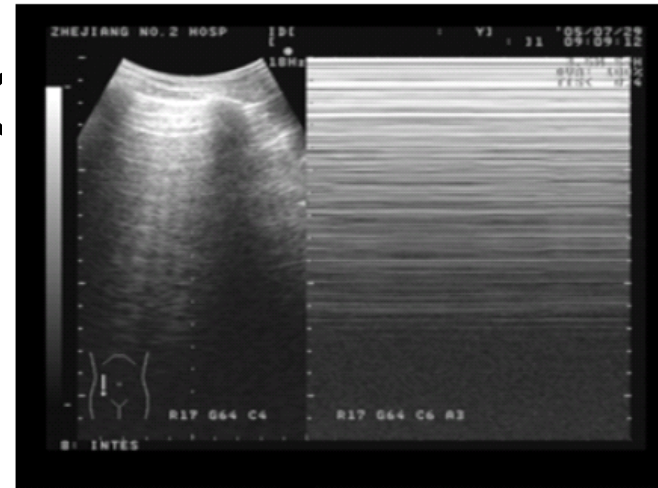


**Glissement pleural**

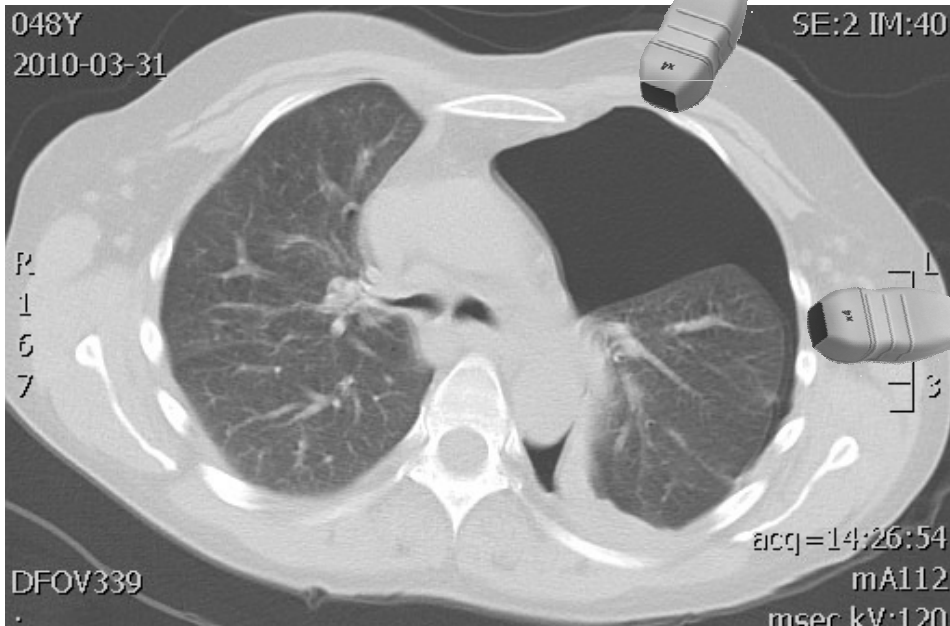




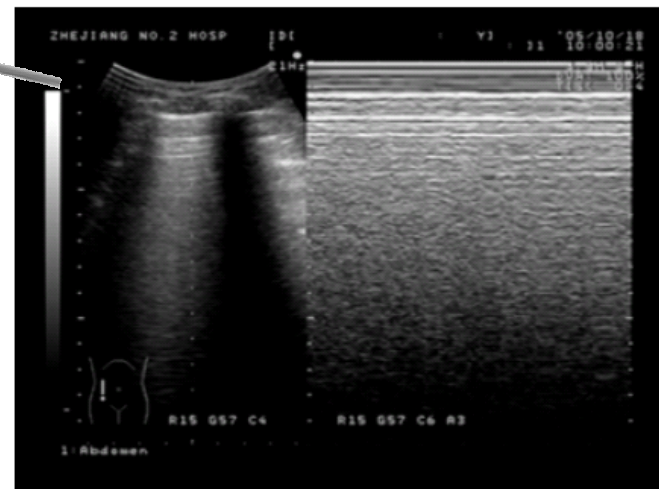
# Point pulmonaire



**Pas de glissement pleural**

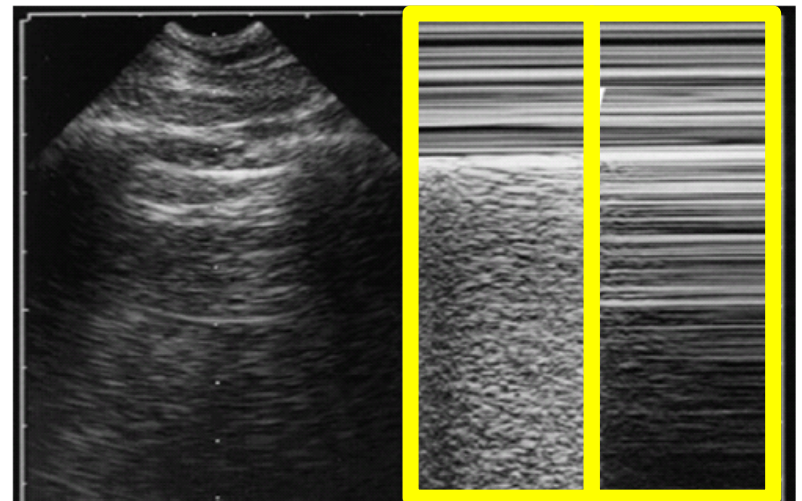
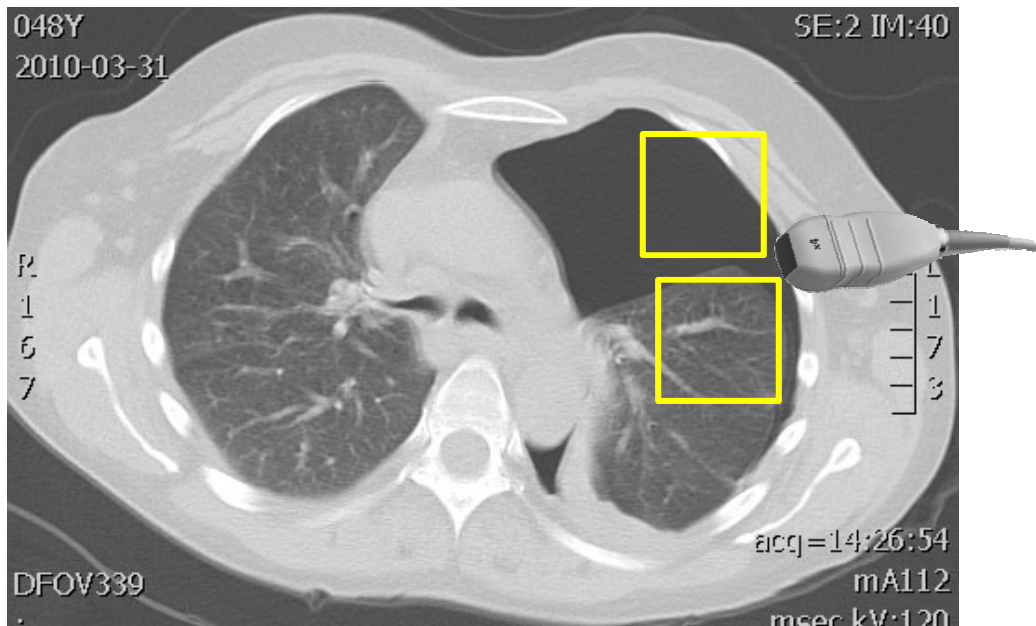


**Glissement pleural**



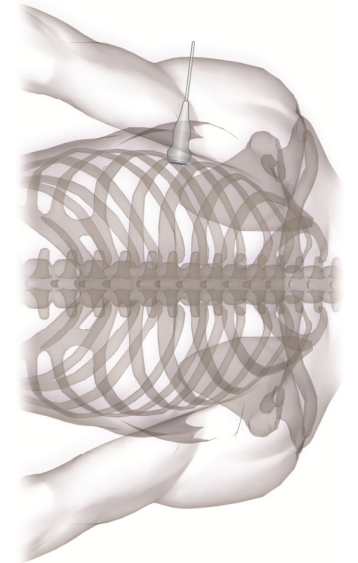
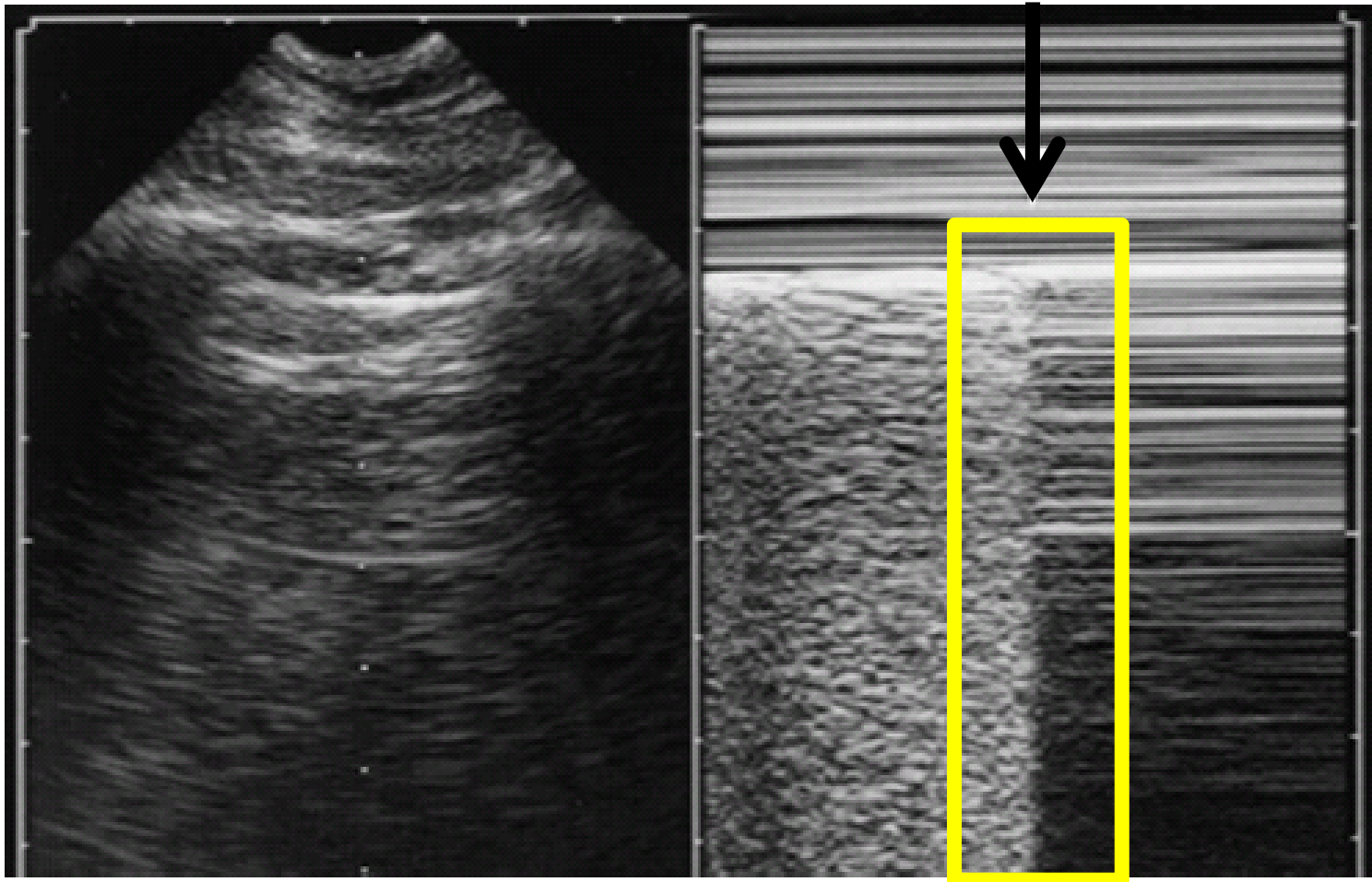
# Point pulmonaire

**Pas de glissement pleural**

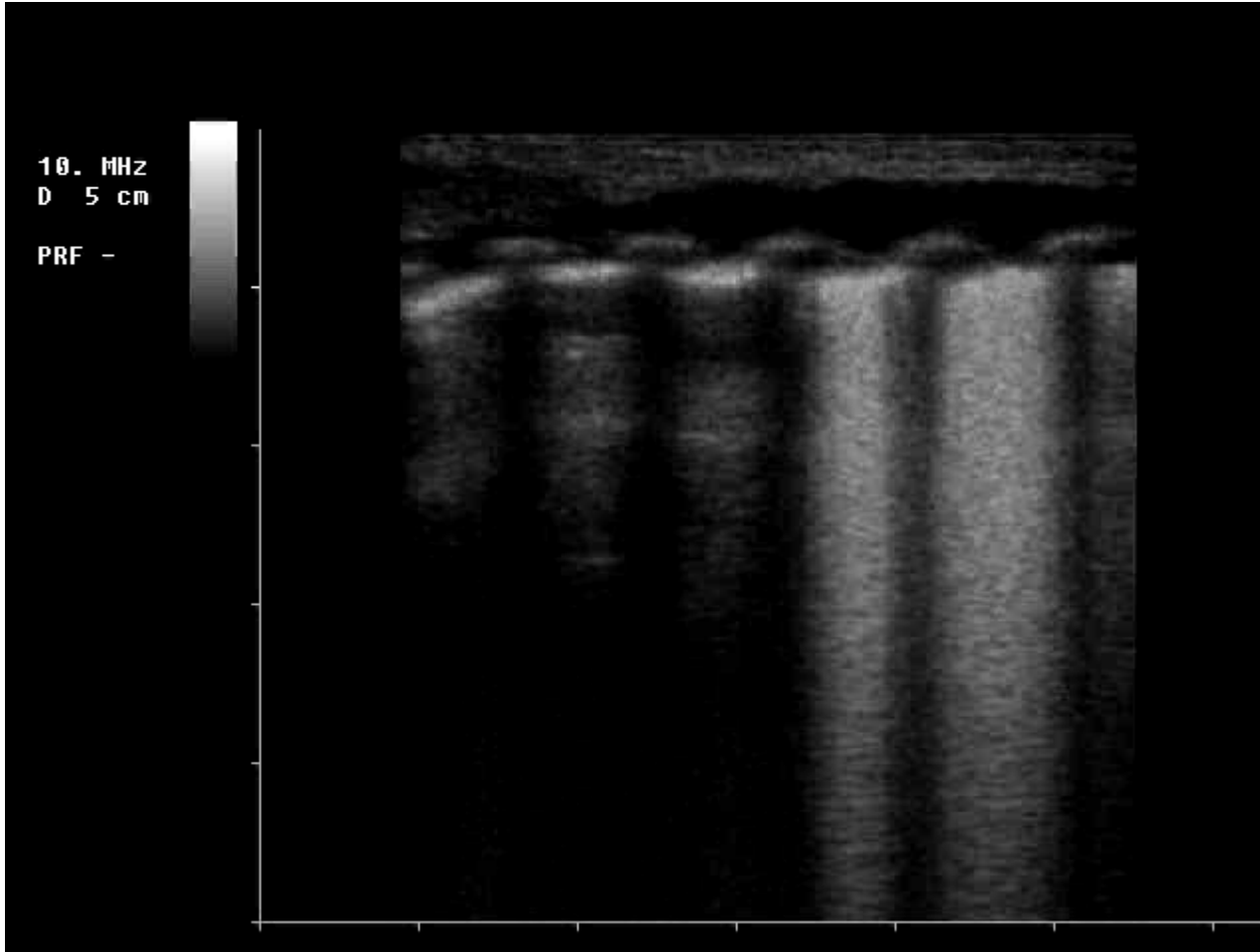


**Glissement pleural**

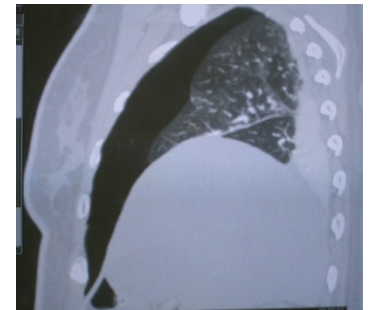
# Point pulmonaire



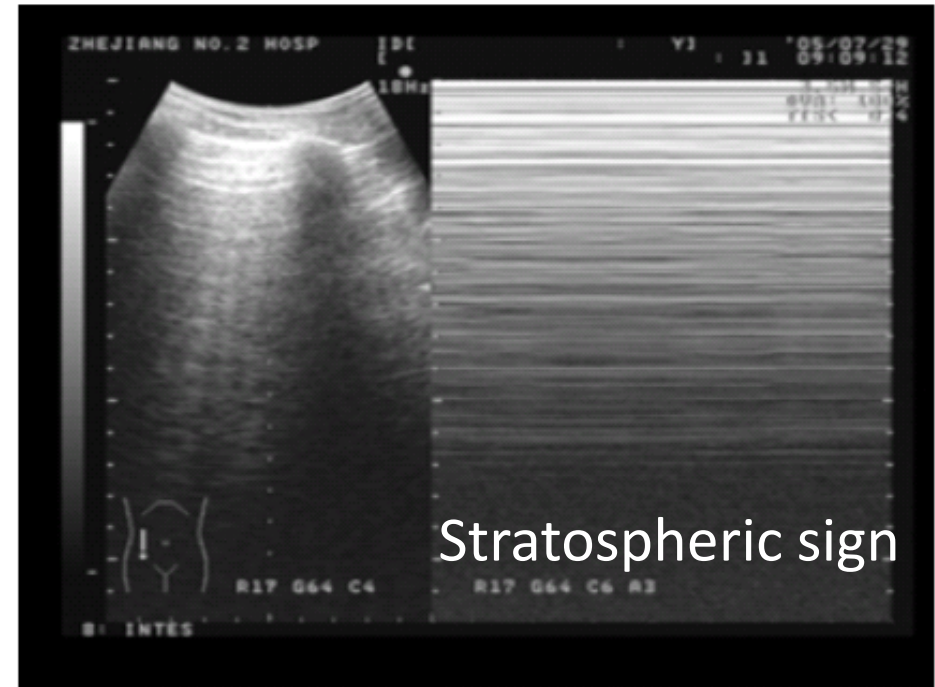
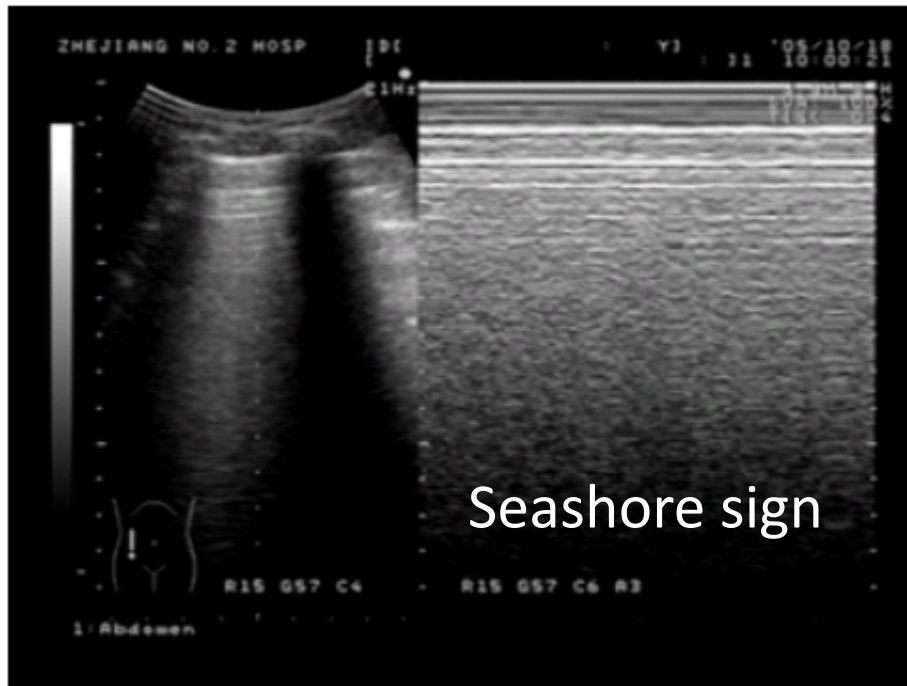
# Point pulmonaire



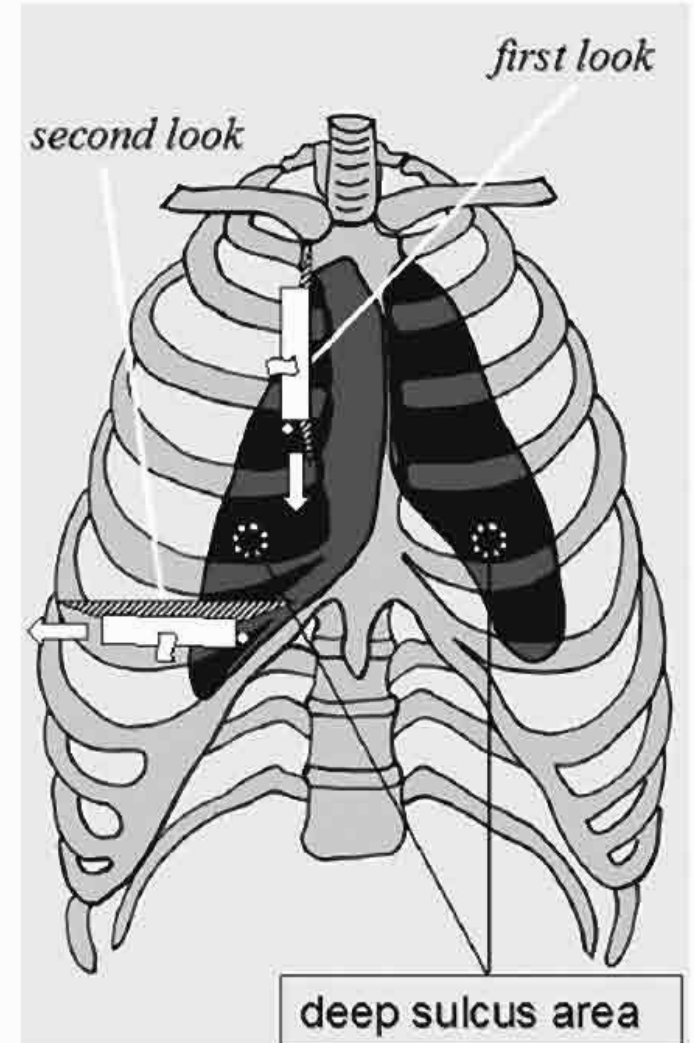
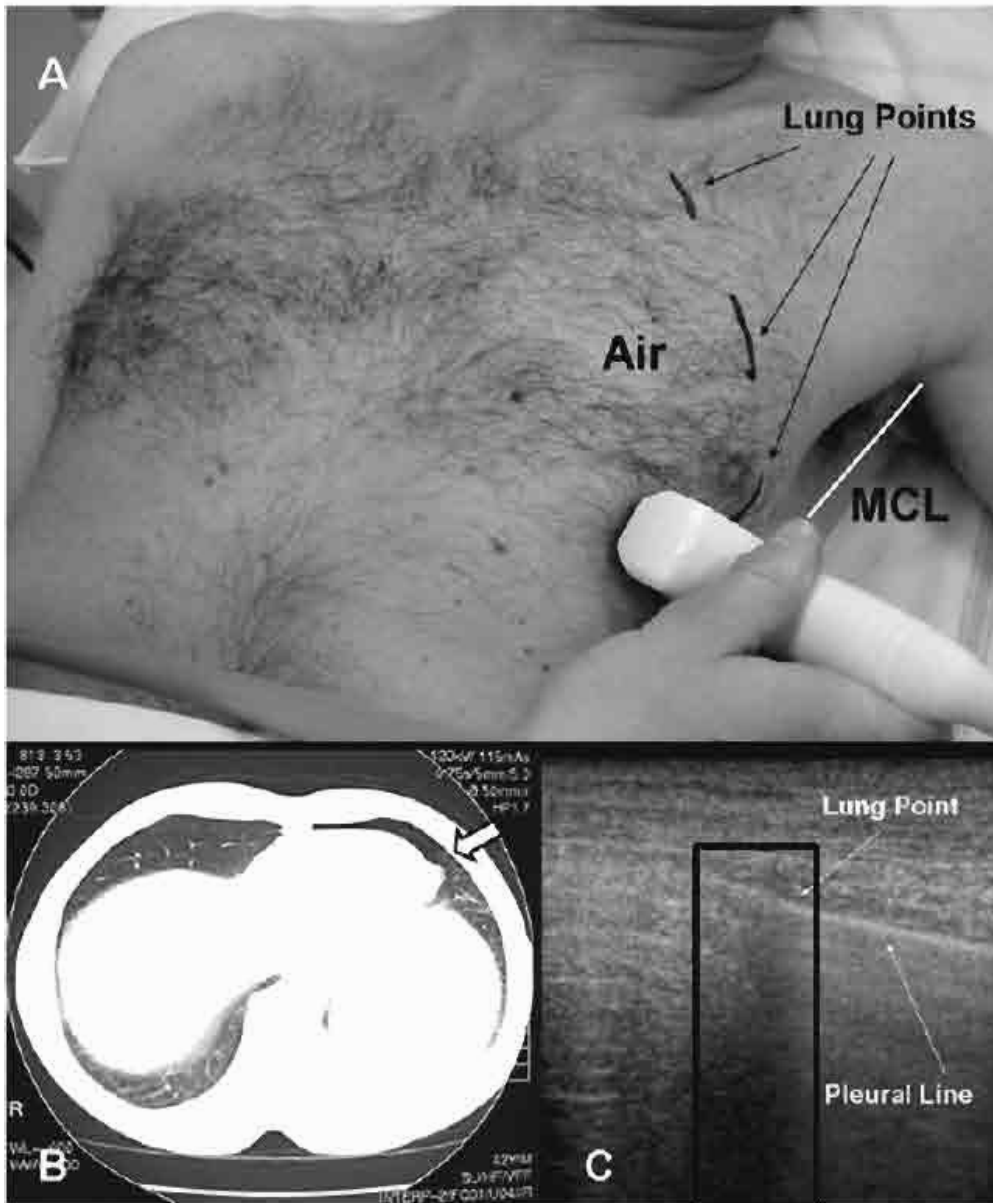
Pneumothorax



# Rapid detection of pneumothorax by ultrasonography in patients with multiple trauma







## Surgeon-Performed Ultrasound for Pneumothorax in the Trauma Suite

Jason L. Knudtson, MD, Jonathan M. Dort, MD, FACS, Stephen D. Helmer, PhD, and R. Stephen Smith, MD, RDMS, FACS

**Background:** Surgeon-performed ultrasound has become ubiquitous in the trauma suite. Initial reports suggest that sonography may be used for the detection of pneumothorax. The purpose of this study was to evaluate the efficacy of sonography to rule out the presence of a pneumothorax in the trauma population.

**Methods:** A prospective analysis of 328 consecutive trauma patients at an

American College of Surgeons-verified Level I trauma center was undertaken. Thoracic ultrasound was performed before chest radiography. The presence or absence of a "sliding-lung" sign or "comet-tail" artifact was recorded.

**Results:** Of 328 evaluations, there were 312 true negatives, 12 true positives, 1 false-negative, 1 false-positive, and 2 exclusions. Specificity, negative predictive

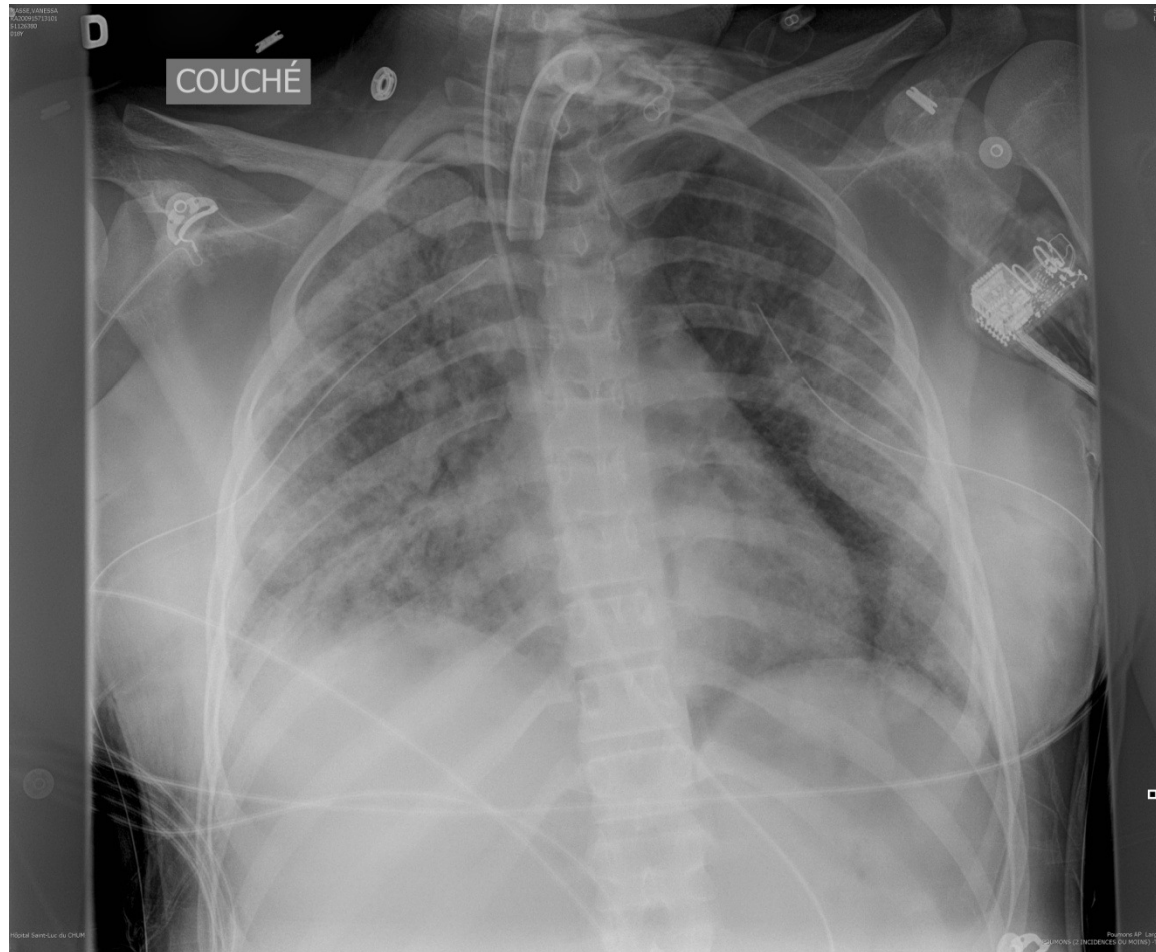
value, and accuracy were 99.7%, 99.7%, and 99.4%, respectively.

**Conclusion:** Ultrasound is a reliable modality for the diagnosis of pneumothorax in the injured patient. This modality may serve as an adjunct or precursor to routine chest radiography in the evaluation of injured patients.

**Key Words:** Ultrasound, Trauma, Pneumothorax, Lung-sliding, Comet-tail.

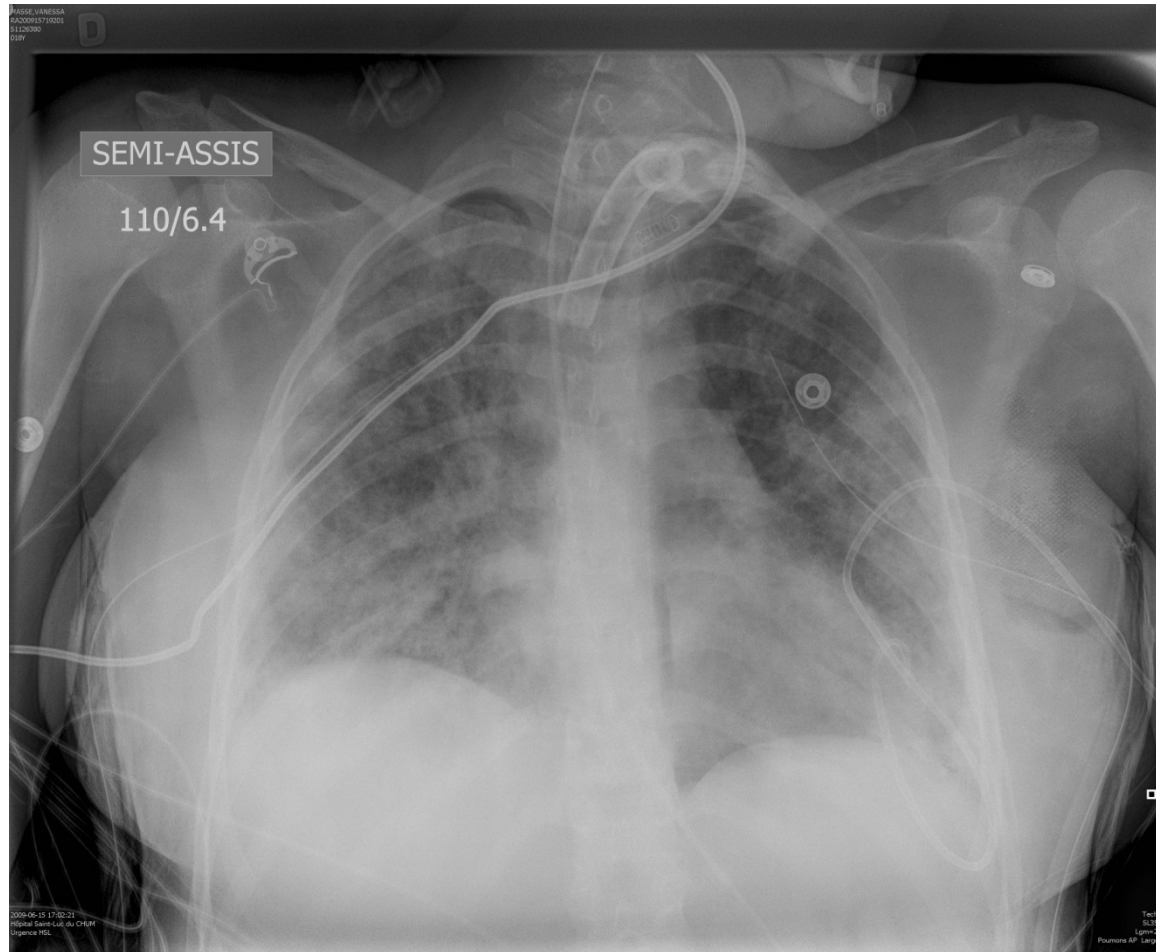
*J Trauma.* 2004;56:527-530.

# ♀ de 28 ans ARDS: désaturation post-trachéostomie

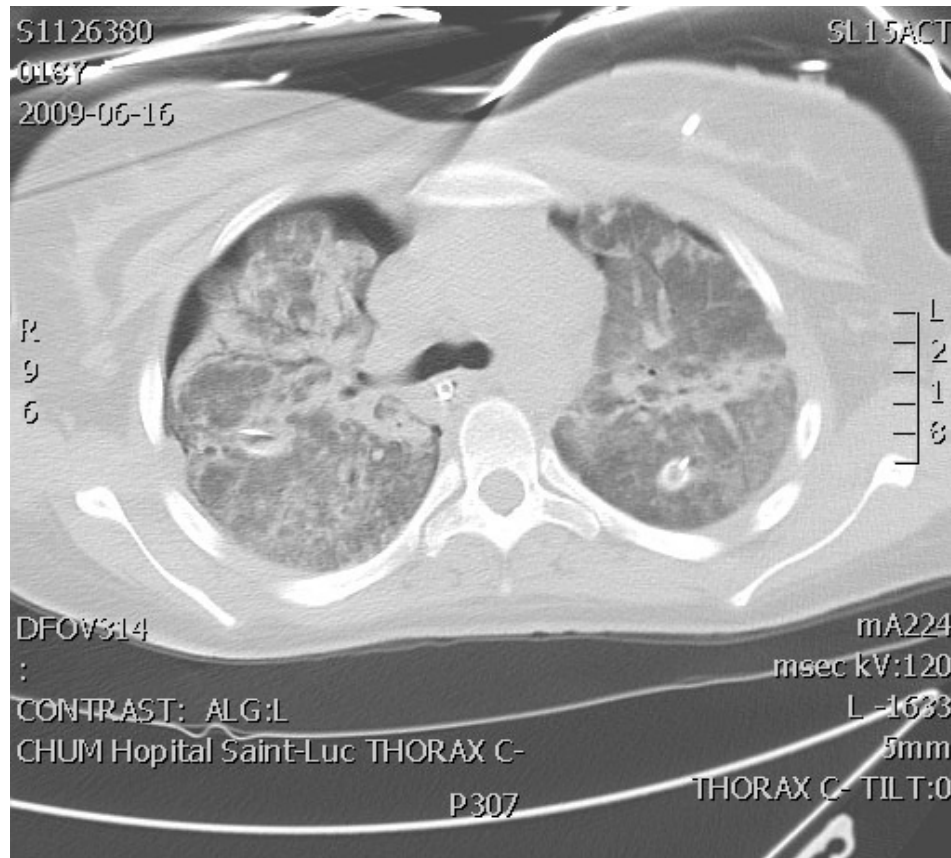




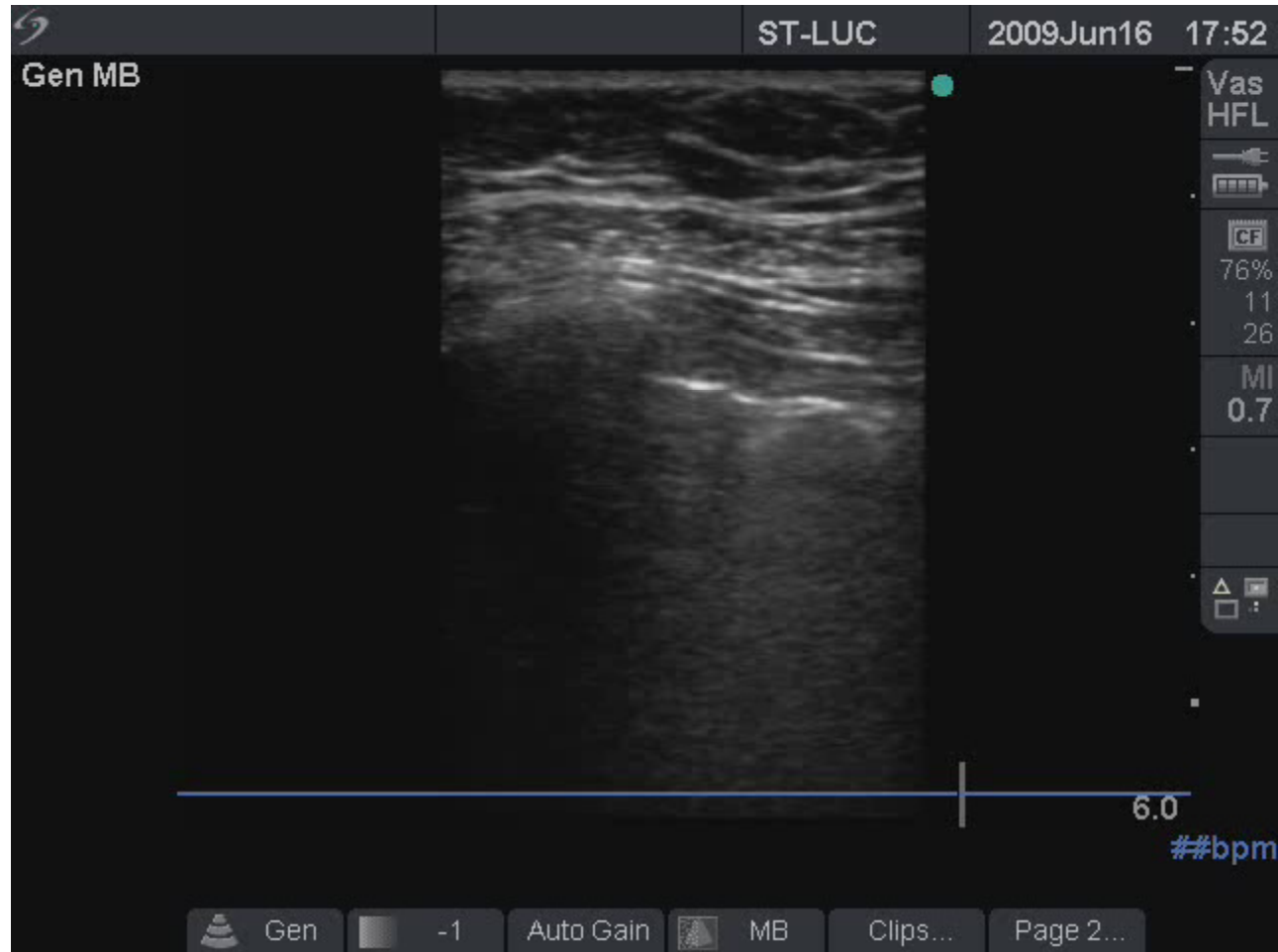
# ♀ de 28 ans ARDS: désaturation post-trachéostomie



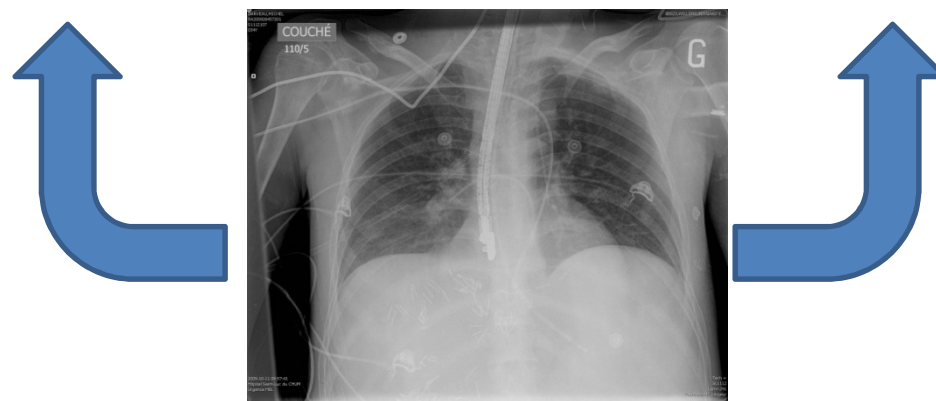
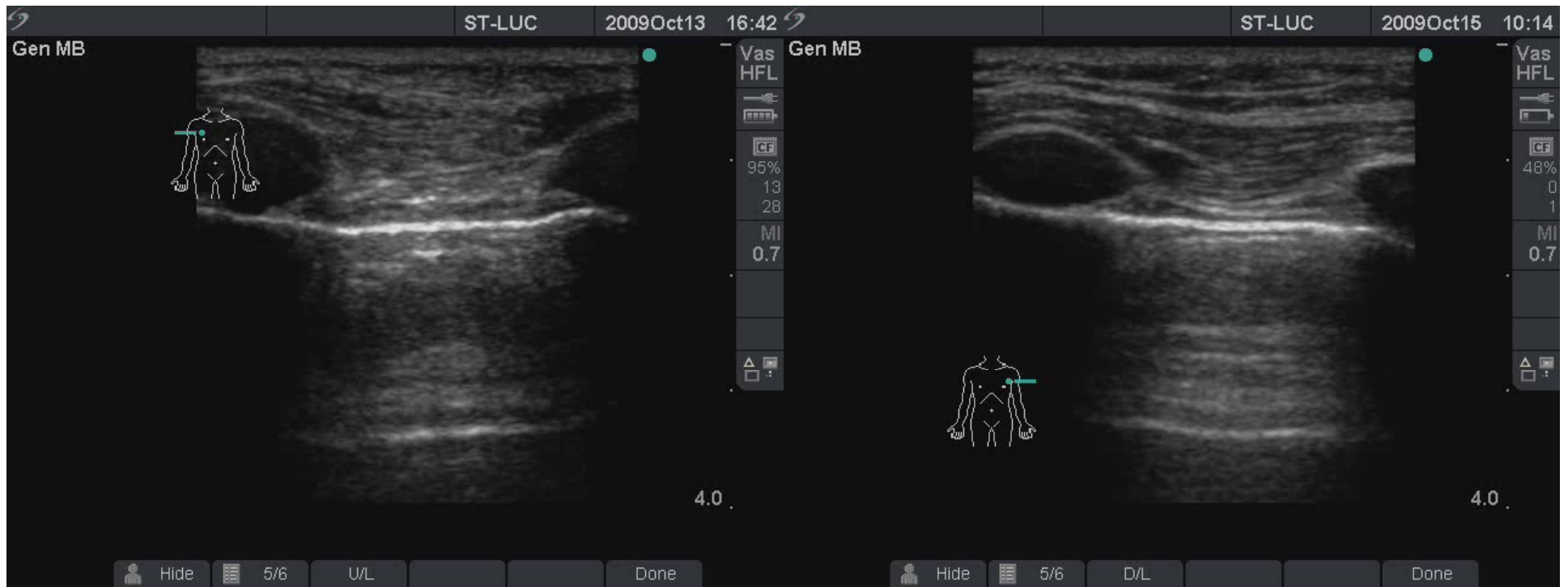
# CTSCAN le lendemain



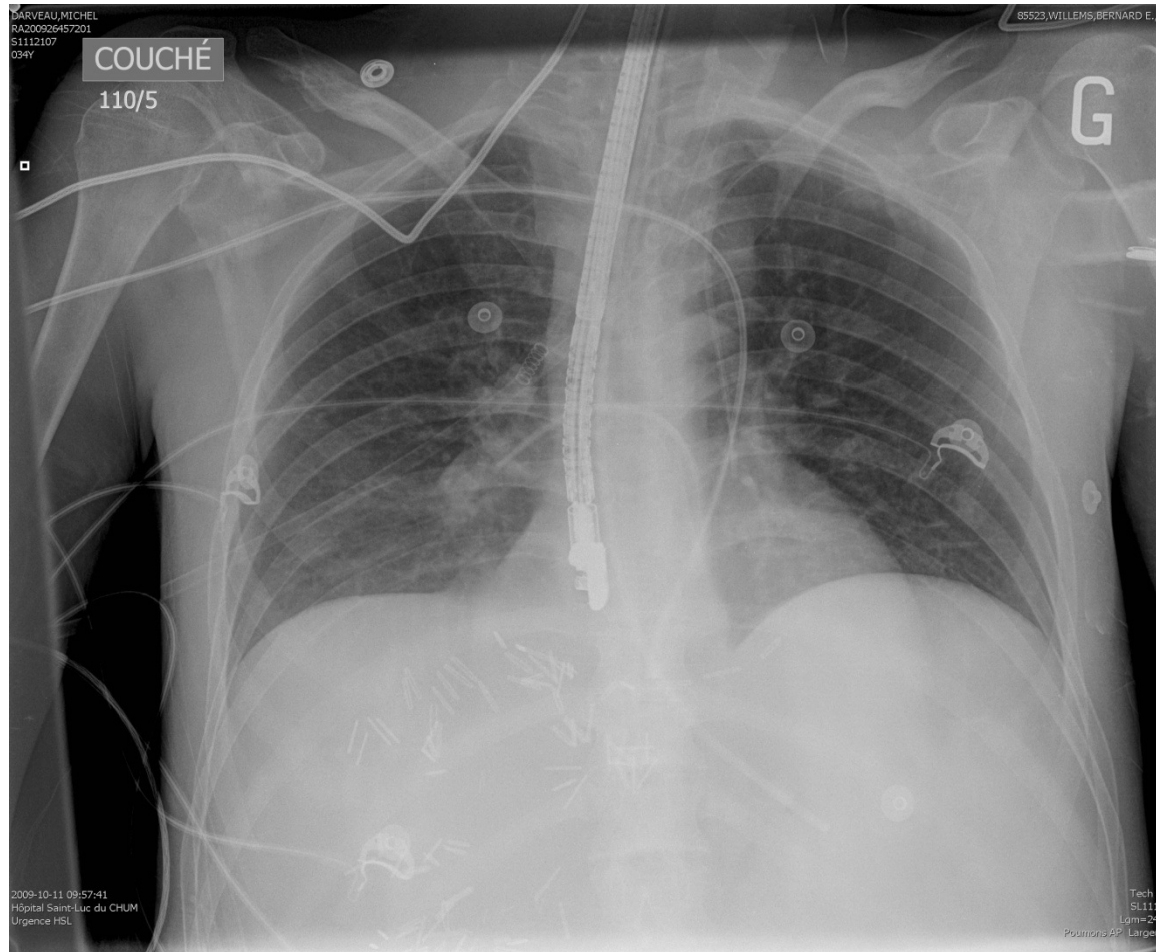
# Échographie pulmonaire



# ♂ de 42 ans post-greffe de foie: désaturation



♂ de 42 ans post-greffe de foie



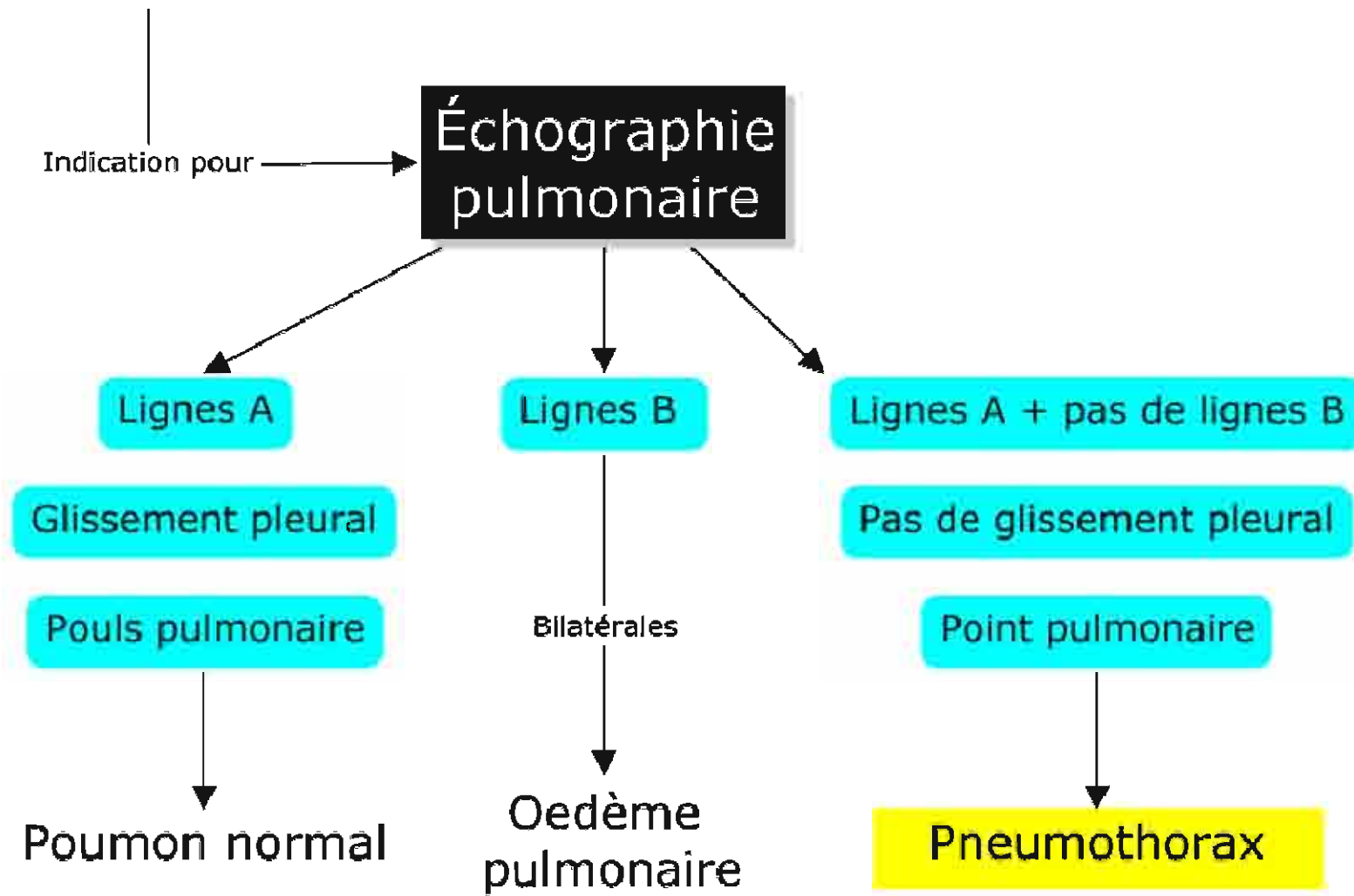
# Poumon droit:



# Absence de glissement pleural ≠ pneumothorax

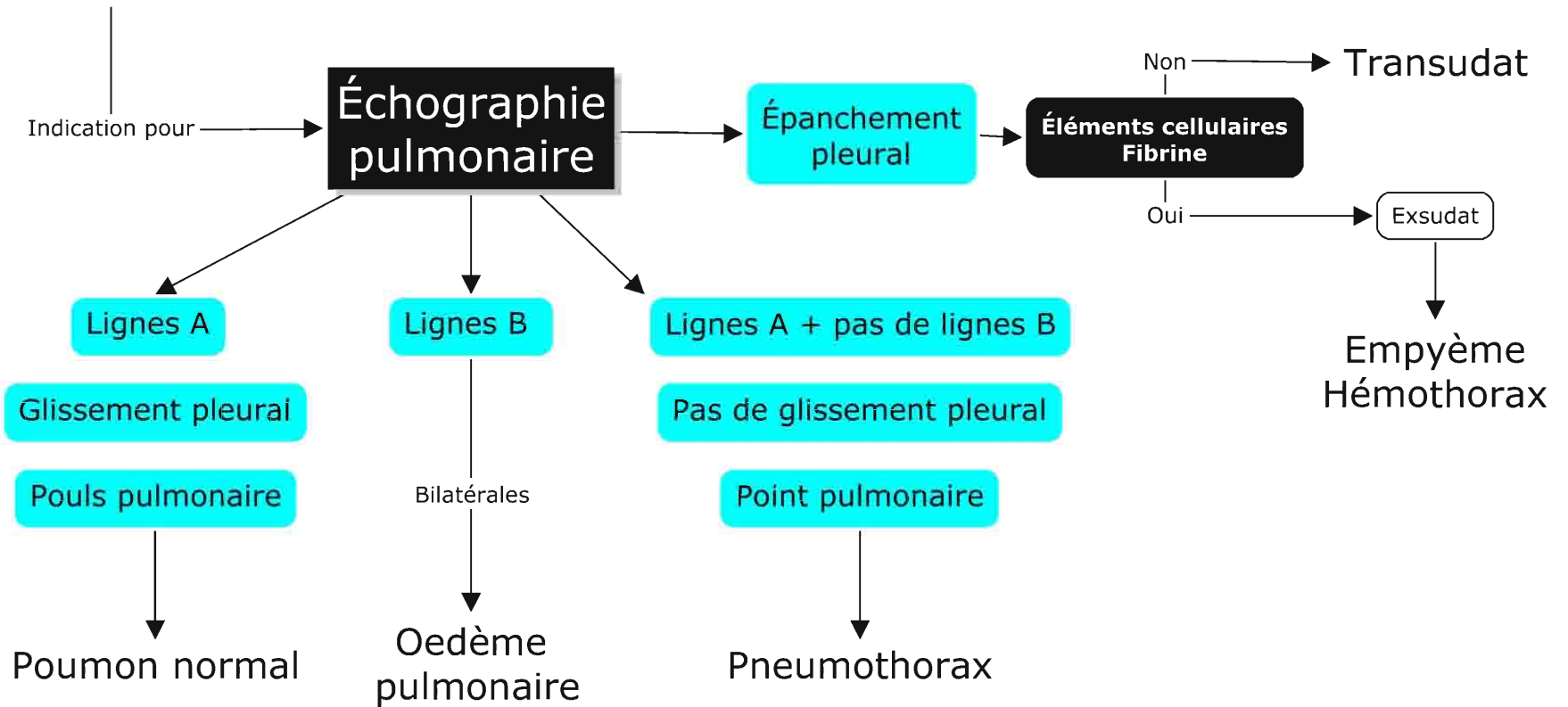
- Poumon immobilisé
  - Intubation endobronchique
  - ARDS sévère
  - Adhésion pleurale
  - Hyperinflation sévère, emphysème bulleux
- Plèvres sont séparées
  - Drain thoracique
  - Atélectasie significative
  - Épanchement

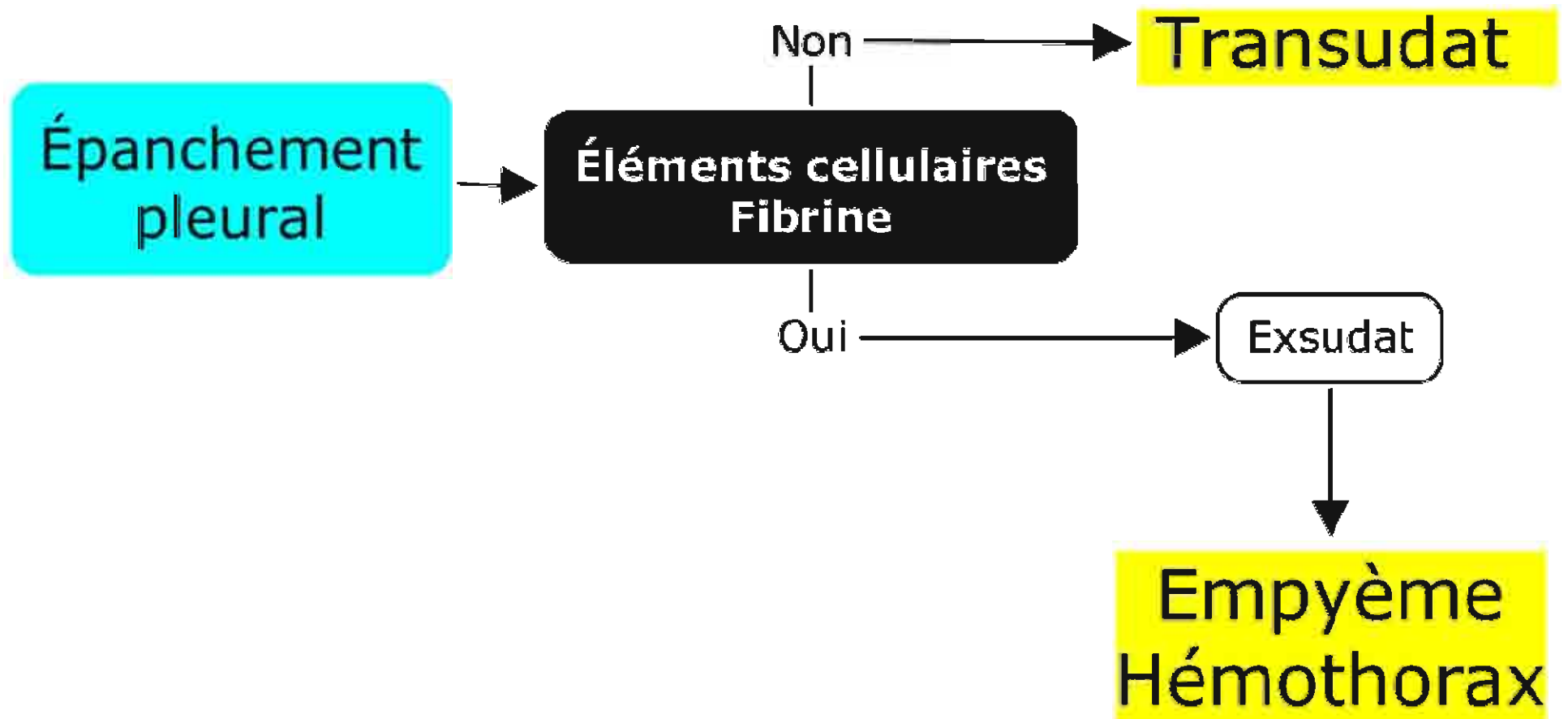
- A: Voies Resp. Sup.
- B: Ventilation
- C: État de choc
- D: Diagnostique



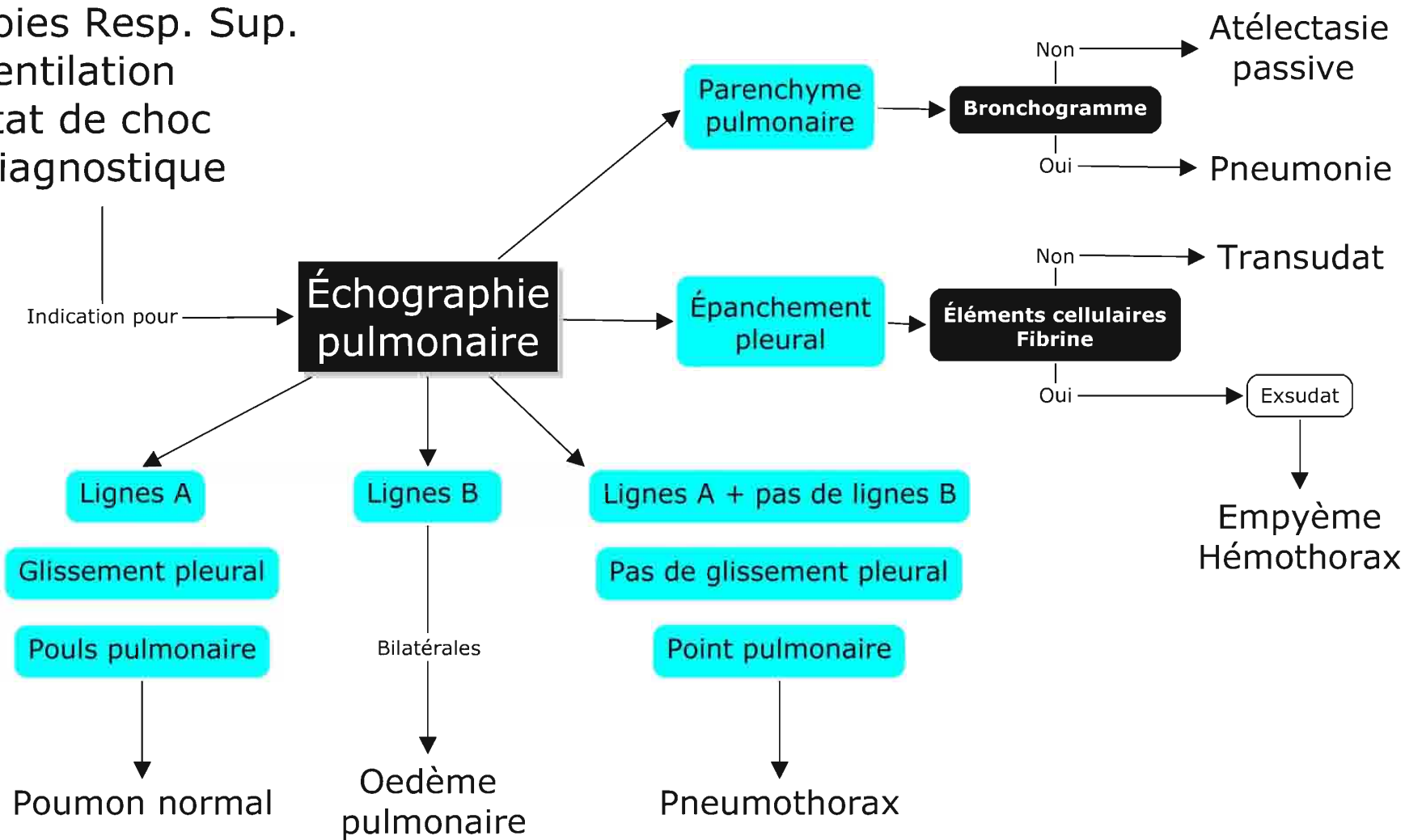


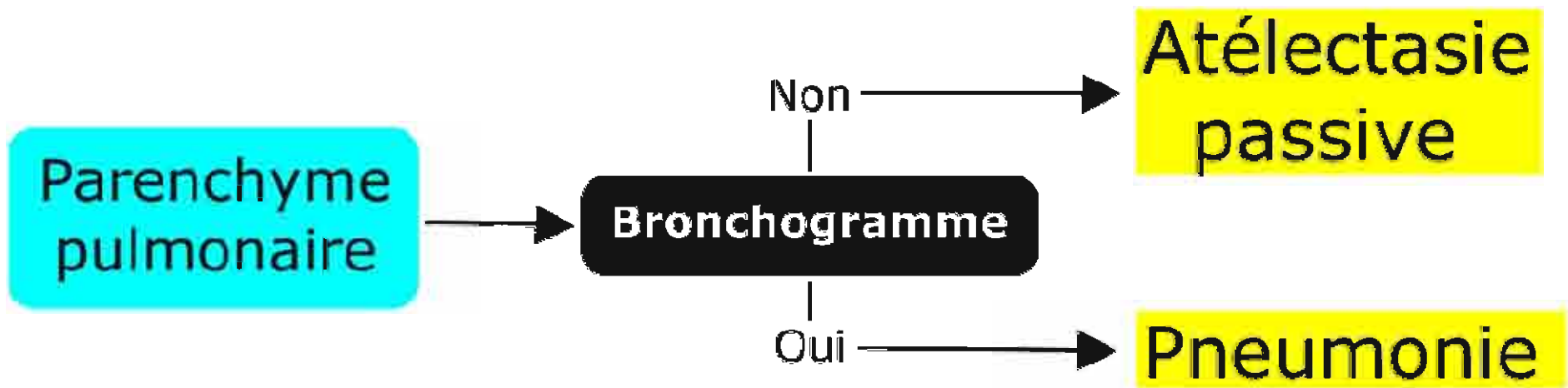
- A: Voies Resp. Sup.
- B: Ventilation
- C: État de choc
- D: Diagnostique





A: Voies Resp. Sup.  
B: Ventilation  
C: État de choc  
D: Diagnostique





# Limitations de l'échographie pulmonaire

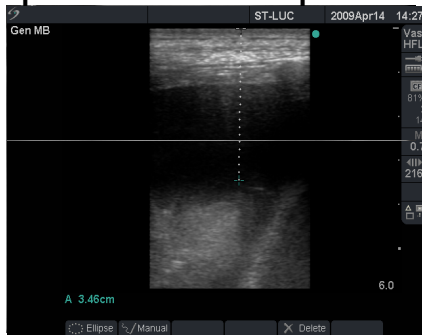
- Nécessite équipement d'ultrason
- Nécessite une fenêtre sur le thorax
  - Pansements
  - Obésité morbide
  - Emphysème sous-cutané
- Structures thoraciques centrales non visualisées
- Examen dépendant de l'opérateur
- Formation nécessaire

# Limitations de l'échographie pulmonaire



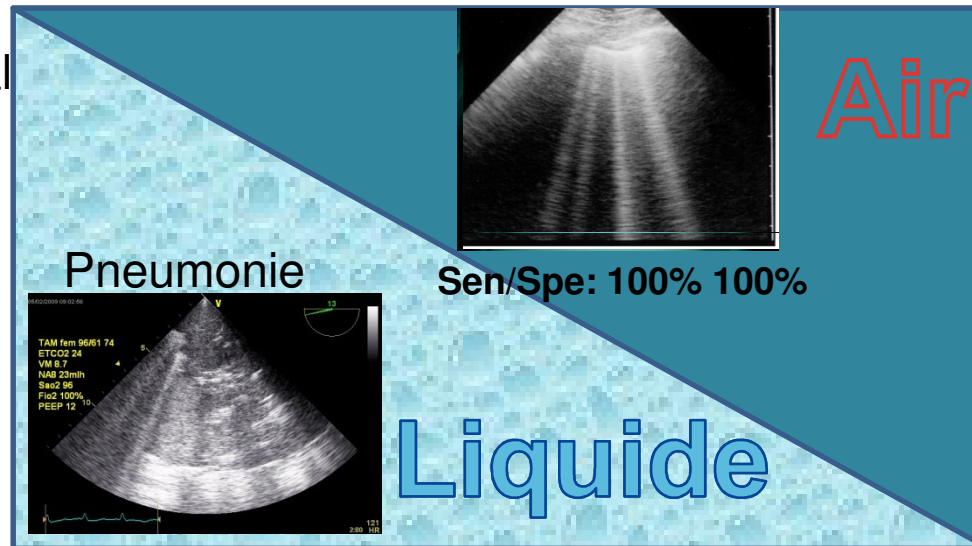
# Contenu pulmonaire

Épanchement pleural



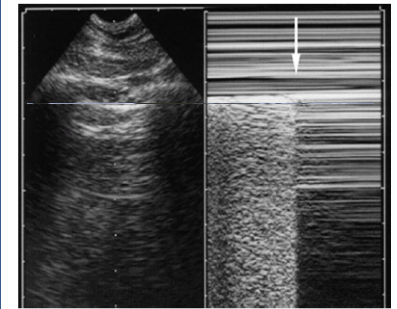
Sen/Spé: 97% 94%

Syndrome interstitiel



Sen/Spé: 90% 98%

Pneumothorax



Sen/Spé: 79% 100%

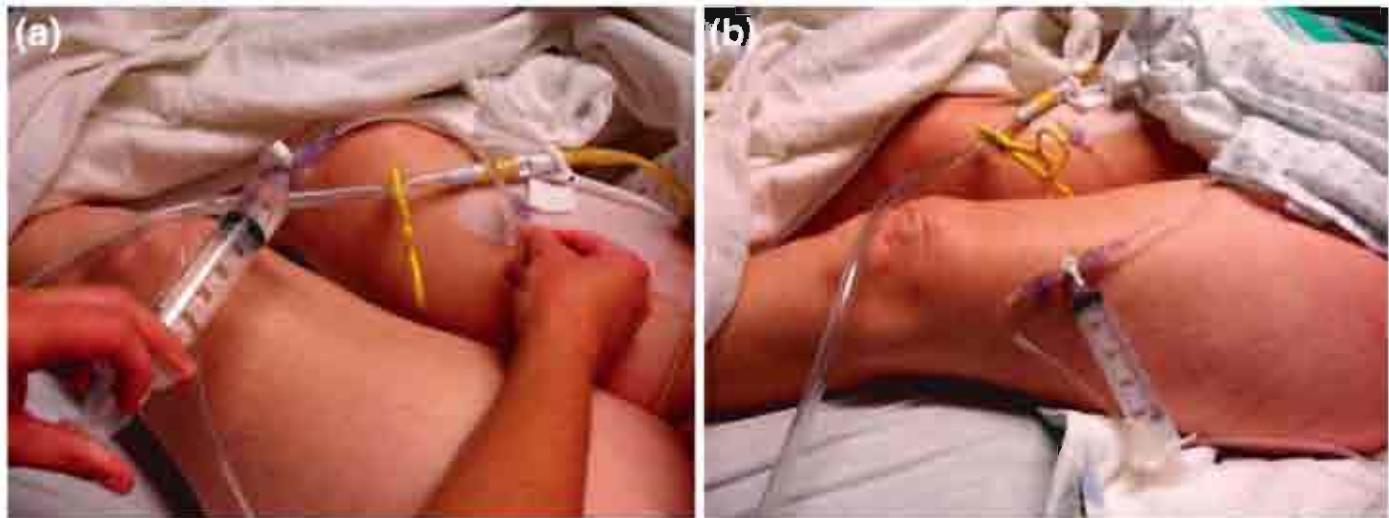
Can J Anesth/J Can Anesth (2009) 56:678–682

DOI 10.1007/s12630-009-9140-8

## PERIOPERATIVE CARDIOVASCULAR ROUNDS

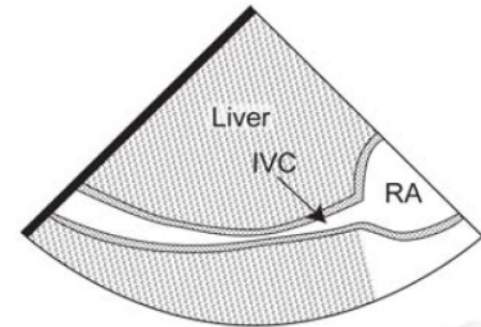
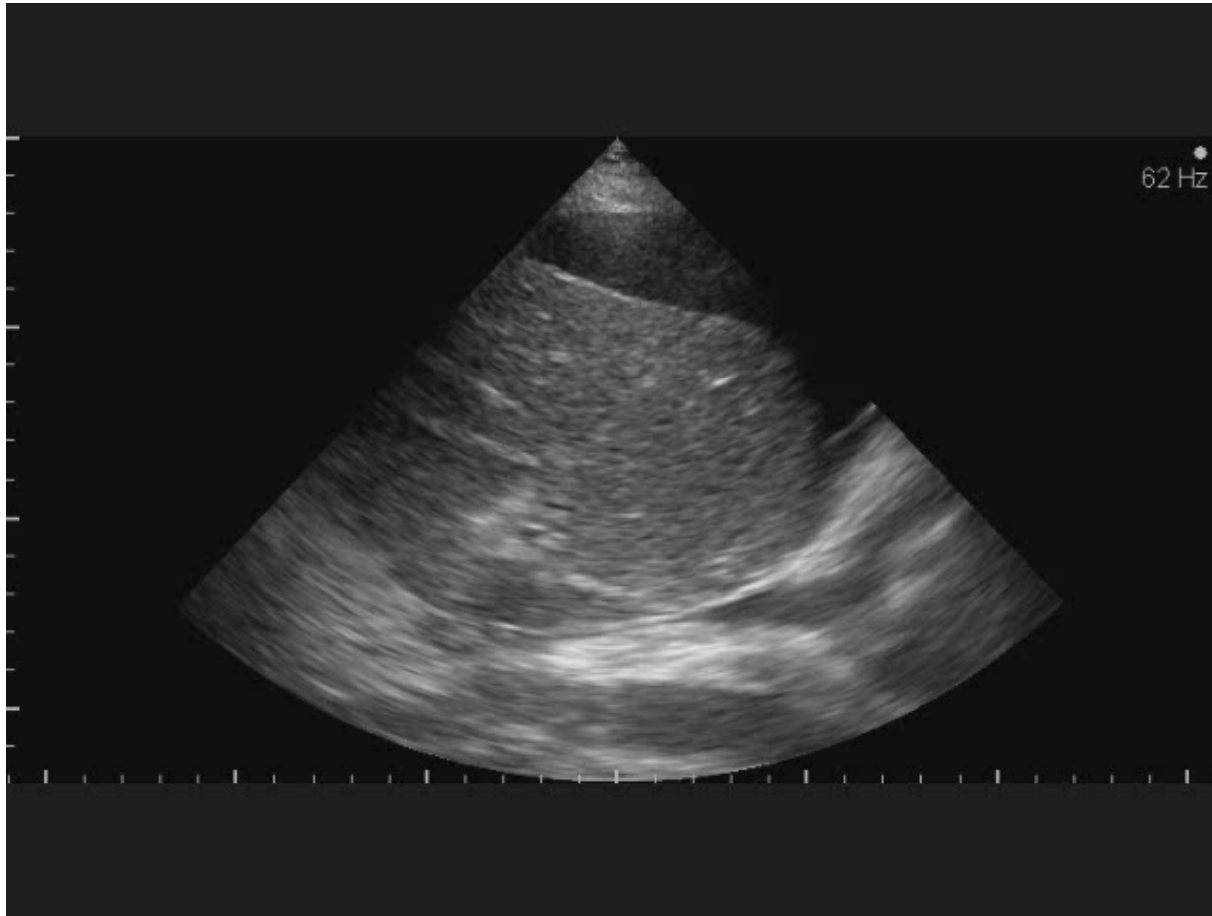
# Acute abdominal compartment syndrome

Nancy Deslauriers, MD · Renée Déry, MD ·  
André Denault, MD





# Mécanismes mixtes

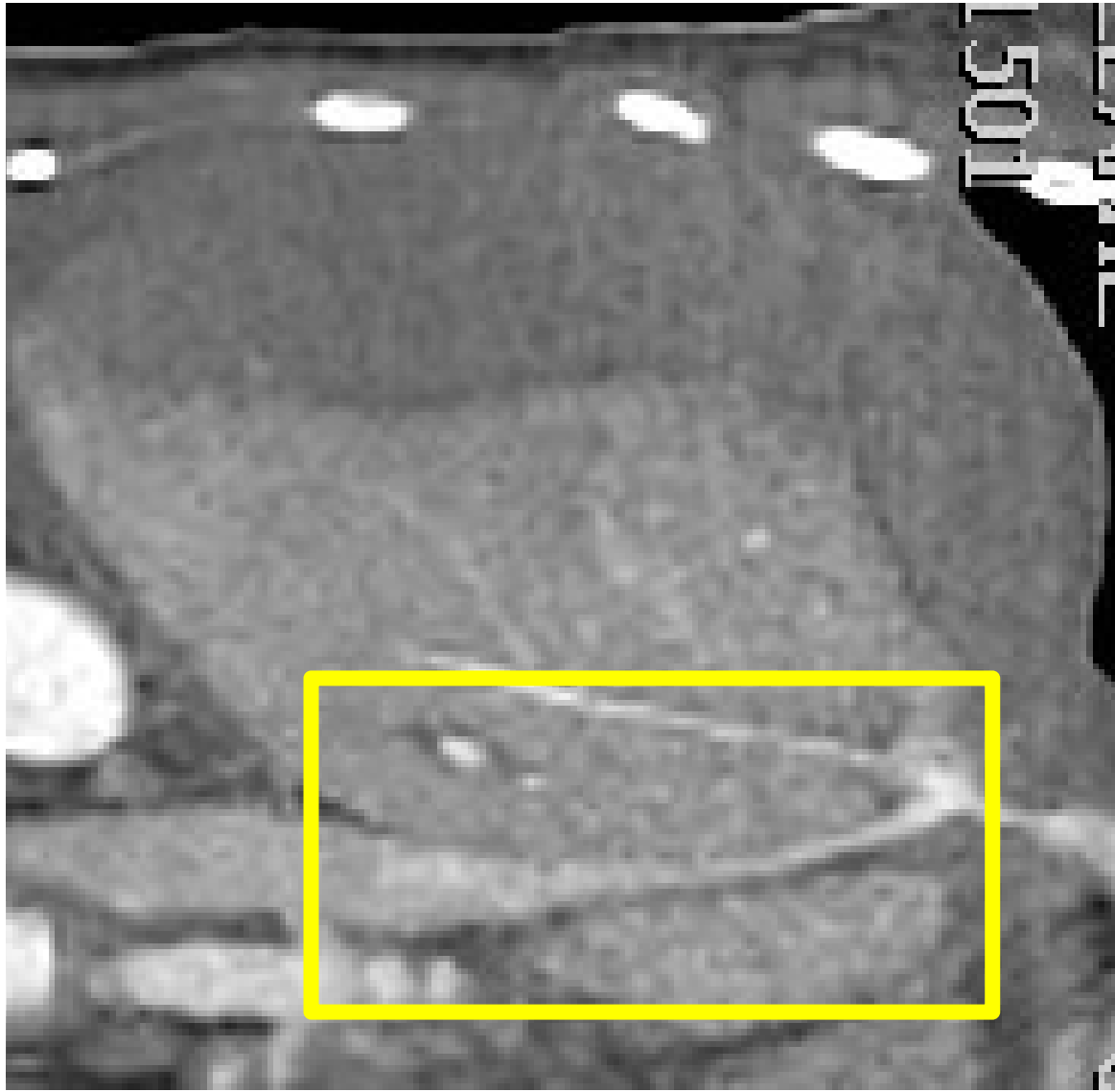


Courtoisie Dr Philippe Rola

# Femme de 20 ans: HELLP



# Femme de 20 ans: HELLP

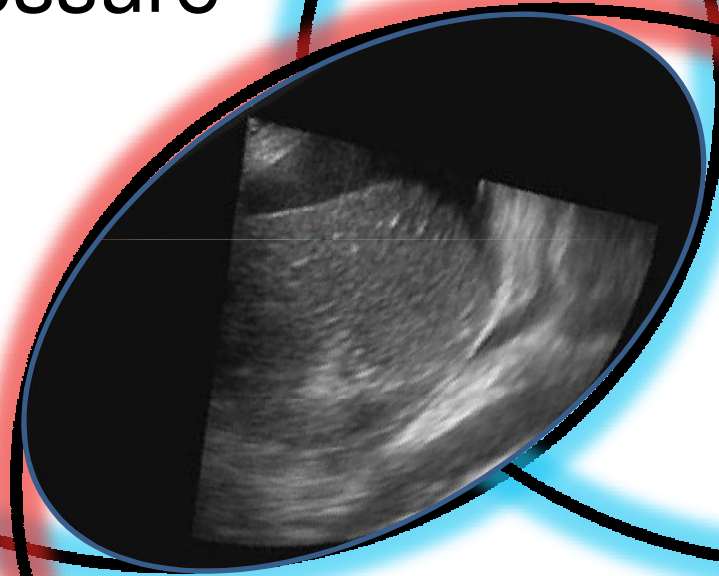


Venous return =

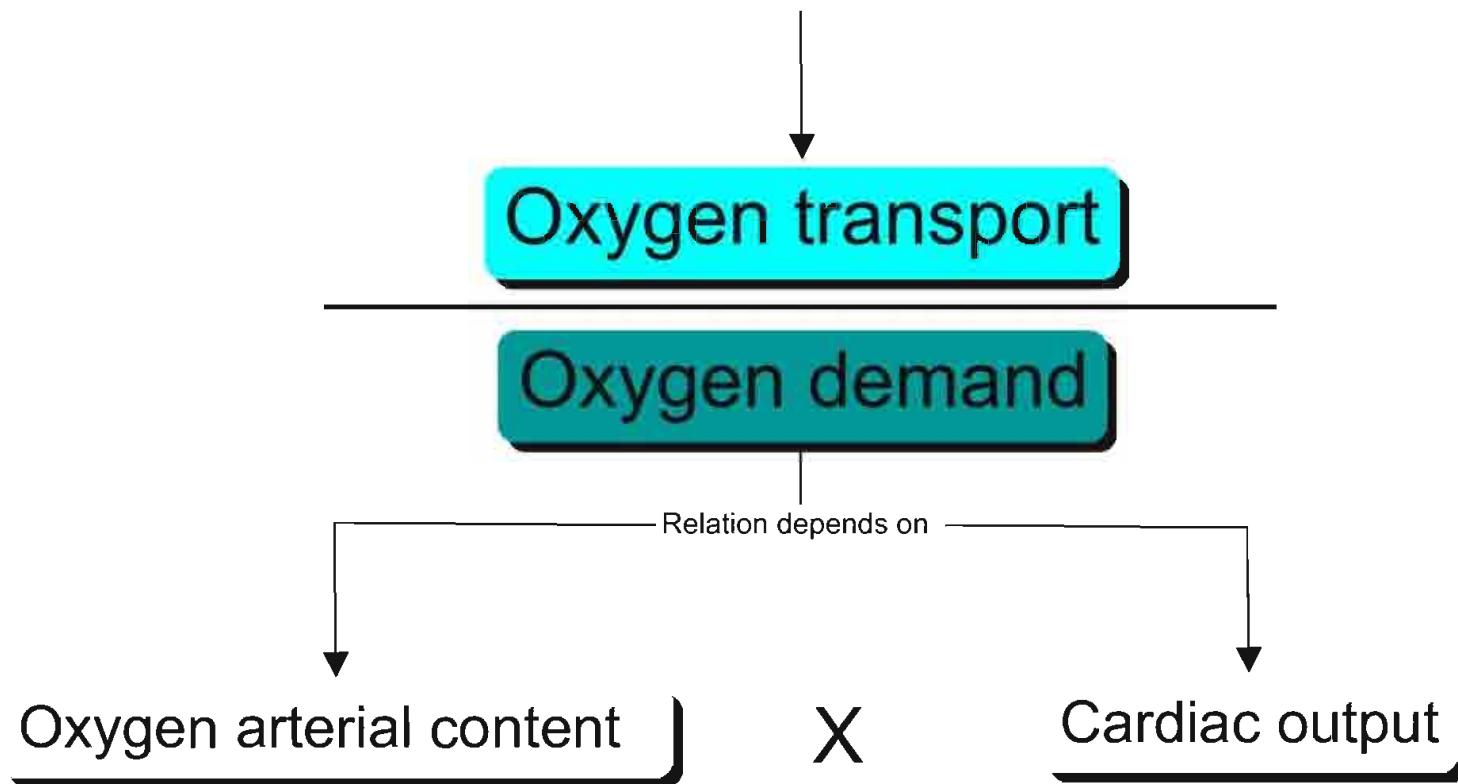
Mean systemic  
pressure

Right atrial  
pressure

Resistance to  
venous return



# Hemodynamic instability



# En résumé



=



# Hemodynamic instability

